

# JEMNÁ MECHANIKA A OPTIKA

1  
1956

VYDÁVÁ MINISTERSTVO PŘESNÉHO STROJÍRENSTVÍ  
VE STÁTNÍM NAKLADATELSTVÍ TECHNICKÉ LITERATURY

6,- Kčs

Redakční rada:

Dr Engelbert Keprt, předseda, prof. Dr Ing. Miroslav Hajn, Ing. Ladislav Hlavatý, Jaroslav Höfer, Zdeněk Kadlec, Tomáš Klauber, Ing. Zdeněk Martínek, Antonín Můravec, Ing. Miroslav Pavlinec, Ing. Jan Stehlík, Otakar Teuchmann, Antonín Vodička.

<b>O B S A H</b>	Do druhé pětiletky . . . . .	1
	Ing. J. Hampl: Kuličkový převod . . . . .	3
	Dr E. Keprt: Konstrukční principy překreslovačů . . . . .	5
	Dr Z. Knittl: K principu interferenční refraktometrie . . . . .	9
	Ing. M. Pavlinec: Polarizátory pro photoelasticimetrii . . . . .	11
	Dr B. Jurek: K nové sférometrické metodě . . . . .	15
	Dr S. Minář: Orosování optických prvků . . . . .	17
	B. Kučera: Použití optiky v nových metodách roentgenové diagnostiky . . . . .	18
	Ing. J. Pajtl-J. Polecha: Fotooptický záznam u elektrobiologických přístrojů . . . . .	21
	Dr J. Ondra: Měření rozlišovací schopnosti fotografických objektivů . . . . .	23
	V. Teršl: Hodinové hnací pružiny . . . . .	27
	F. Janák-M. Vetešník: Pomůcka pro rychlé určování hodinového úhlu . . . . .	30
<b>СОДЕРЖАНИЕ</b>	На рубеже новой пятилетки . . . . .	1
	Гампл И.: Шариковая планетарная передача . . . . .	3
	Кепрт Э.: Принципы конструкции фототрансформаторов . . . . .	5
	Книттель З.: Основные принципы интерференционной рефрактометрии . . . . .	9
	Павлинец М.: Поляризаторы для фотоэластичиметрических измерений . . . . .	11
	Юрек Б.: Новый сферометрический метод . . . . .	15
	Минарж С.: Вуалирование оптических элементов . . . . .	17
	Кучера Б.: Применение оптики при новых методах рентгенодиагностики . . . . .	18
	Пайтл И.-Полеха Я.: Фотооптическая запись у электробиологических аппаратов . . . . .	21
	Ондра И.: Разрешающая сила фотографических объективов . . . . .	23
	Тершл В.: Приводные пружины часов . . . . .	27
	Янак Ф.-Ветешник М.: Приспособление для быстрого определения часового угла . . . . .	30
<b>I N H A L T</b>	Der zweite Fünfjahresplan . . . . .	1
	Ing. J. Hampl: Der Rollentrieb . . . . .	3
	Dr E. Keprt: Konstruktionsgrundlagen der Entzerrungsgeräte . . . . .	5
	Dr Z. Knittl: Eine Bemerkung zum Prinzip der Interferenzrefraktometrie . . . . .	9
	Ing. M. Pavlinec: Polarisatoren für die Photoelastizimetrie . . . . .	11
	Dr B. Jurek: Zur neuen sphärometrischen Methode . . . . .	15
	Dr S. Minář: Verschlechterung der optischen Oberflächen . . . . .	17
	B. Kučera: Verwendung der Optik in neuen Methoden der Roentgen — Diagnostik . . . . .	18
	Ing. J. Pajtl-J. Polecha: Photooptische Registration bei elektrobiologischen Geräten . . . . .	21
	Dr J. Ondra: Messung der Auflösungsvermögens der photographischen Objektive . . . . .	23
	V. Teršl: Die Uhrentreibfedern . . . . .	27
	F. Janák-M. Vetešník: Hilfsmittel für eine schnelle Bestimmung des Stundenwinkels . . . . .	30

JEMNÁ MECHANIKA  
A OPTIKA

TECHNICKÝ ČTVRTLETNÍK MINISTERSTVA PŘESNÉHO STROJIRENSTVÍ

ROČNÍK I • ČÍSLO 1 • PRAHA 29. 3. 1956

Do druhé pětiletky

Na úspěchy, jichž jsme dosáhli splněním úkolů Gottwaldovy pětiletky, můžeme být právem hrdi. Vytvořili jsme první předpoklady k plnění ještě větších, smělejších úkolů naší druhé pětiletky. Aby pro jejich splnění byly vytvořeny všechny reálné možnosti, dala strana a vláda na podzim minulého roku jasnou směrnici — these o dalším rozvoji našeho průmyslu. Hlavní referát s. Karla Poláčka na konferenci pracovníků strojírenství zpřesnil úkoly našeho strojírenství a kriticky ukázal nedostatky a chyby, jichž jsme se dopustili. Celostátní sektorové konference byly i tribunou pracovníků našich závodů, ústavů a ministerstev, z nichž se s nebývalou upřímností a otevřenosťí hovořilo o všem, co nás brzdí a co je třeba odstranit s cestou.

O poměrech v našem průmyslu jemné mechaniky a v průmyslu optickém bylo na konferenci hovořeno jen málo. Kromě zmínky v hlavním referátu, že bylo dosaženo určitých úspěchů ve výrobě optických přístrojů, snad již vůbec ne. Je proto žádoucí, zmínit se o dosavadním vývoji tohoto z nejmladších odvětví československého průmyslu. Jaká byla situace před druhou světovou válkou?

Počátky optické výroby spadají u nás do roku 1923. Šlo o výrobu živnostenskou fy Srb a Štys v Praze a fy Goerz v Bratislavě. V roce 1933 byla založena Optikotechna v Přerově. V této závodě byly vyráběny mikroskopy, jednodušší geodetické stroje, zvětšovací a fotografické přístroje, puškové dalekohledy, triedry a některé další přístroje.

Za druhé světové války byly okupanty na území ČSR vybudovány ještě dva závody a výroba ve všech závodech byla zaměřena na vojenskou válečnou výrobu. Strojní park byl v důsledku „celostátního nasazení“ neodborných pracovníků ve velmi neutěšeném stavu. Proto po skončení války byla technická i výrobní situace ve všech závodech velmi špatná: nebyl dostatek podkladů pro civilní výrobu; nebyl vhodný strojní park, nebyl vhodný materiál, chybělo optické sklo a mohlo se pracovat

pouze ze zásob, které zůstaly na našem území. Organisace jednotlivých závodů byla velmi odlišná a ve většině případů na velmi nízké úrovni. V některých závodech nebyla vývojová oddělení a chyběly optické konstrukce. Také provozní prostory byly ve většině závodů naprostě nevyhovující a nedostačující. Přesto bylo třeba co nejrychleji zajistit zaměstnanost těchto závodů, t. j. připravit civilní výrobu, bylo třeba přeorganizovat a specialisovat jednotlivé závody, vybudovat vývojová oddělení a optické konstrukce a odstranit závislost domácího optického průmyslu na dovozu optického skla z kapitalistických států.

Za této neutěšených poměrů začali jsme budovat náš mladý průmysl jemné mechaniky a optiky. Iniciativa vědeckých, technických i manažérských pracovníků překonávala překážky. Soutěžné výroby v závodech pomáhalo rok co rok postupně zvyšovat produktivitu práce, takže v roce 1955 byla v průměru o 70 % vyšší než v roce 1948. Byly vyvinuty polarizační mikroskopy pro geologický průzkum, optické tvrdoměry a dílenské stereoskopické mikroskopy. Byla zavedena výroba nejpřesnějších analytických vah, které byly až do r. 1946 dováženy. Nyní jsou našimi exportními výrobky. V krátké době byl ukončen vývoj 16 a 35 mm profesionálních promítacích kinematografických přístrojů a byla zavedena jejich běžná výroba.

Velkých úspěchů bylo dosaženo ve vývoji speciálních lékařských přístrojů — bronchoskopů, nasofaringoskopů, tříkomorových interferometrů a dalších přístrojů, rychle byla vyvinuta řada laboratorních a měřicích přístrojů — refraktometrů, photoelasticimetrů, dálních interferometrů a polarizačních prostředků pro potravinářský, chemický, strojírenský a stavební průmysl. Důbrých úspěchů bylo dosaženo ve výrobě zvětšovacích a fotografických přístrojů, jejichž výroba byla podstatně zvýšena. Zvlášť významných úspěchů bylo dosaženo ve vývoji a zavádění zcela nové speciální výroby pro zvýšení obranyschopnosti našeho státu.

Nás optický průmysl je již ve velké míře nezávislý na dovozu optického, filtrovém a speciálního borosilikátového skla zásluhou pracovníků lehkého průmyslu, kteří již vyvinuli řadu různých druhů optických skel a zavedli jejich výrobu. Bylo vytvořeno mnoho nových metod, zejména v opracování skla. To byly naše úspěchy.

Musíme si však otevřeně říci, že jsme zůstali i hodně dlužni. Někdy to způsobily skutečné objektivní potíže, jindy my sami. Tak na př. nebyla dosud dostatečně zajištěna výroba brusiv pro jemné broušení skla a výroba velmi účinných leštících prostředků, na jejichž dovozu jsme proto stále ještě závislí. Technologie jemné mechaniky a povrchové úpravy neučinila žádoucí pokroky a zaostala. Přes stoupající produktivitu naší výroby nemohou naše výrobky cenově dosti úspěšně konkurovat na zahraničním trhu výrobkům ostatních průmyslových států. Je to způsobeno zejména tím, že přípravě a organizaci výroby je věnována naopak nedostatečná péče. Naše výroba musí být zvlášť dokonale připravena, neboť u poměrně malých serií s velmi malými průběžnými dobami, na př. u laboratorních přístrojů, speciálních měřicích přístrojů a pod., není již možno provádět podstatné změny v průběhu jejich výroby. Postup při vývoji některých nových přístrojů byl nespárný: předběžná kalkulace výrobních nákladů, které mají vliv na cenu výrobku, nebyla provedena před započetím konstrukčních prací, takže konečná cena výrobku vyšla příliš vysoká. Bude třeba, aby u každé nové konstrukce byla pro dané parametry před zahájením vývoje stanovena maximální cena. Proto budou vývojoví pracovníci a konstruktéři v závodech ve spolupráci s pracovníky z ÚVOJM, s mistry a předními dělníky podrobovat každou novou konstrukci pečlivým rozborům, aby dosáhli nejvyšší technologičnosti, dědičnosti a hospodárnosti konstrukce.

V řadě případů je velkým nedostatkem zastarály, opotřebovaný a nevhodný strojní park, malý počet automatů, moderních rychloběžných a jednoúčelových obráběcích strojů, které se u nás nevyrobují. Nedostatek strojů se pak projevuje nutností seřizovat denně nejméně jednu většinu strojů pro novou operaci. To zvyšuje náklady, snižuje produktivitu a omezuje možnost mechanisace a automatisace. Velmi široký sortiment výrobků, který musí být podle požadavků distribuce dodáván rovnoměrně v průběhu celého roku, způsobuje, že výrobu nelze organovat v hospodárných seriích, nýbrž jen v menších dávkách. Výrobu tak širokého sortimentu nelze pak již operativně ovládat.

Velmi tízivý je nedostatek prostorů, jichž by bylo možno využít k prostorovému rozplánování výroby. V některých závodech je výroba rozmištěna do velkého počtu provozoven dislokovaných do několika ulic i měst. Ve vlastních optických výrobnách neodpovídají podmínky optické výrobě. Ve většině závodů chybí potřebné klimatizační zařízení.

Našim velkým nedostatkem je, že poměrně velmi vyspělá výroba fotografických přístrojů je ještě stále závislá na dovozu závěrek z kapitalistických států, které mohou tuto naši výrobu kdykoliv narušit.

Abychom odstranili všechny tyto nedostatky, je třeba zvětšit počet odborných pracovníků a podstatně zvýšit jejich technickou úroveň. V celém našem oboru pracuje nyní v konstrukcích, ve vývoji a výzkumu jen asi 150 pracovníků. To je naopak nedostačující, uvědomíme-li si, že před druhou světovou válkou pracovalo jen v přerovském závodě ve vývoji asi 90 zaměstnanců. Na jednu výrobu dneho v rámci připadá dnes 10 až 12 výrobků, které musí udržovat ve výrobě a zajišťovat jejich další vývoj, zatím co na př. v NDR připadá několik konstruktérů na jeden výrobek. Ještě horší situace je u technologů.

Protože máme naprostý nedostatek norem pro obor jemné mechaniky, budou u všech závodů a v ÚVOJM zřízeny pomocné archivy výkresů, uspořádaných podle tvarového třídění, aby bylo získáno co nejvíce podkladů pro normalizační a typisační činnost.

Pro splnění velkých úkolů, které nás čekají v druhé pětiletce, bude dále třeba zúžit sortiment a výrobu převést na velkoseriovou s nutnou automatickou výrobou v linkách. Aby to bylo možné, bude třeba zajistit dovoz některých speciálních optických přístrojů, jejichž nehospodárnou kusovou výrobou je odčerpávána konstrukční kapacita. Dovoz moderních strojů, automatů a jednoúčelových strojů je stejně nezbytný jako dovoz elektrických automatických počítacích strojů pro naléhavou potřebu optických konstrukcí.

Nelze se obejít bez výstavby závodu Meopta Bratislava a Meopta Košice a bez technického dobudování Meopty Přerov, Meopty Modřany, ÚVOJM a závodu pro výrobu závěrek k fotografickým přístrojům, v němž bude zajištěn jejich stálý další vývoj.

Naše hutní závody nám musí zajistit dodávku speciálních profilů, které nás obor potřebuje v malých množstvích a slévárně přesné odlitky, zhotovené litím pod tlakem. Plechy a tyčový materiál pro automaty musí mít menší přípustné rozměrové úchytky, aby vyhovoval požadavkům přesnosti naší výroby.

Lze říci, že pro průmysl jemné mechaniky a optiky máme zajištěn dostatečný počet mladých pracovníků v učilištích SPZ. Horší situace je na odborných průmyslových a vysokých školách. Nás mladý a stále se rozvíjející průmysl bude potřebovat více pracovníků, než nám tyto školy mohou dát. Znamená to, že musíme nedostatečný počet techniků vyrovnat růstem kvalifikace každého pracovníka, neustálým zvyšováním jeho technické úrovně. Toho dosáhneme jen intensivním a soustavným studiem odborné domácí i zahraniční literatury, knih a časopisů.

Nás nový časopis „JEMNÁ MECHANIKA A OPTIKA“ chce být všem upřímným rádcem a pomocníkem. Jeho posláním bude přinášet zkušenosti a poznatky z nové, nejpokrokovější konstrukce a výrobní technologie i zprávy o výsledcích výzkumných a vývojových prací domácích i zahraničních. Jeho úroveň bude zrcadlem odborné výstřednosti všech pracovníků průmyslu a výzkumu jemné mechaniky a optiky. A na této výstřednosti bude také záležet dobré splnění velkých a odpovědných úkolů, které jsou před námi.

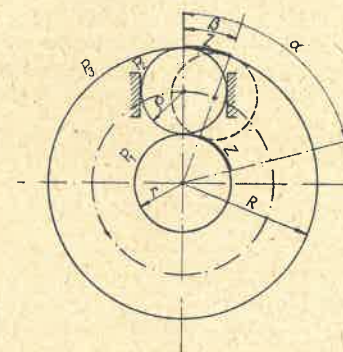
Lektor: Dr Z. Knittl

Kuličkový planetový převod a jeho použití. Výpočet převodových poměrů. Kriterium pro přenesení stejných momentů a stejných výkonů. Výpočet přítlačné pružiny.

621.8-58  
621.83.062.1

Toto uspořádání dává tři možnosti převodů:

- I mezi členy  $P_1$  a  $P_2$ ,
- II mezi členy  $P_1$  a  $P_3$ ,
- III mezi členy  $P_2$  a  $P_3$ .



Obr. 3 — Řez převodem konstrukce MEOPTA Přerov

#### Odvození jednotlivých převodových stupňů

Převod I:

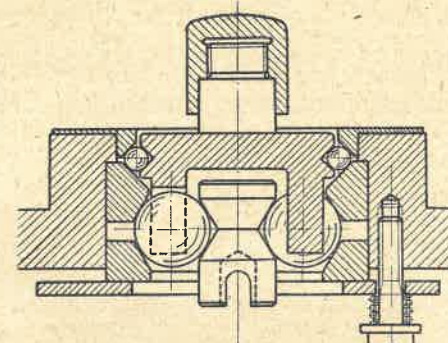
$$P_1 - P_2 \quad (P_3 \text{ pevné}).$$

Jestliže se plocha  $P_2$  odvalí po  $P_3$  o oblouk  $Z$ , pak střed kuličky se posune o úhel  $\beta$ . Vnitřní válcová plocha  $P_1$  se otočí o týž úhel  $\beta$  zvětšený o rotaci danou stykem s odvalovanou plochou  $P_2$ , t. j. obloukem  $Z$  vztázeným na poloměr  $r$ .

$$\alpha = \beta + \frac{Z}{r} = \frac{Z}{R} + \frac{Z}{r} .$$

Převodový poměr:

$$i_I = \frac{\beta}{\alpha} = \frac{\frac{Z}{R}}{\frac{Z}{R} + \frac{Z}{r}} = \frac{r}{r+R} . \quad (1)$$



Obr. 2 — Převod pro odvijení magnetického pásku konstrukce MEOPTA Přerov (kuličky jsou uloženy v kuželových drážkách, vytvořených prstenci A, B a středním vřetenem C)

#### Převodové poměry

Na obr. 3 je řez tímto převodem. Pro odvození rovnic pro převodový poměr můžeme předpokládat, že jde o odvalení válcových ploch  $P_1$ ,  $P_2$ ,  $P_3$ , jejichž poloměry jsou dány efektivními poloměry odvalování koulí. Velikost těchto poloměrů je závislá na hloubce uložení v kuželových nebo torusových drážkách (označení je zřejmé z obrázku).

\*) ÚVOJM — ústav pro výzkum optiky a jemné mechaniky

Tento případ se vyskytuje v praxi nejčastěji. Poháněcí částí je vnitřní vřetenko (plocha  $P_1$ ) a převod do pomala je odvozen od pohybu klece kuliček, které bývají obyčejně tři. Smysl otáčení je u obou prvků souhlasný.

Převod II:

$$P_1 - P_3 \quad (P_2 \text{ pevné}) .$$

U tohoto převodu jde o rovnost odvalených oblouků na  $P_1$  a  $P_3$ , ovšem v opačném smyslu otáčení.

$$\alpha r = \beta R = \varphi, \rho,$$

kde  $\varphi$  je úhel, o který by se otočil válec  $P_2$  (kulička).

Převodový poměr:

$$i_{II} = \frac{\beta}{\alpha} = \frac{r}{R} . \quad (2)$$

Smysl otáčení je opačný.

Převod III:

$$P_2 - P_3 \quad (P_1 \text{ pevné})$$

Tento převod je podobný převodu I s tím rozdílem, že úloha vnější a vnitřní plochy je vyměněna. Jsou tudíž i ve vzorci pro převodový poměr  $i$  zaměněna písmena  $r$  za  $R$  a naopak:

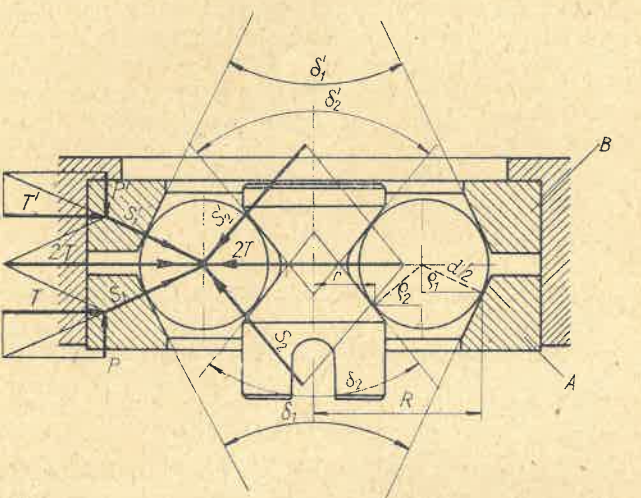
$$i_{III} = \frac{\beta}{\alpha} = \frac{R}{r+R} = 1 - i_I. \quad (3)$$

Smysl otáčení je souhlasný.

Platí tedy vztah

$$i_I = i_{II} \cdot i_{III}. \quad (4)$$

V žádném ze vzorců se explicitně nevyskytuje poloměr kuličky  $\rho$ , která je jen pomocným prvkem



Obr. 4 — Výpočet převodu

pro odvalování. Je ovšem nutno, aby byla splněna rovnice dotyku

$$r + 2\rho = R. \quad (5)$$

Pro případ, že středové úhly  $\delta$  vnějšího a vnitřního věnce nejsou stejné, platí tato rovnice podle obr. 4:

$$r + \rho_1 + \rho_2 = R. \quad (6)$$

kde

$$\rho_1 = \frac{d}{2} \cdot \cos \frac{\delta_1}{2}. \quad (7)$$

$$\rho_2 = \frac{d}{2} \cdot \cos \frac{\delta_2}{2}. \quad (8)$$

Aby se kuličky převodu kotály bez skuzu, je třeba dostatečným tlakem ve styčných plochách zabránit jejich proklouzavání.

Axiálním tlakem  $P$  na věnec  $A$  společně s reakcí  $T$  vzniká síla  $S$ , mířící do středu kuličky, t. j. normální k dotykové ploše.

Síla  $S$  záleží na síle  $P$  vztahem

$$S = \frac{P}{\sin \frac{\delta_1}{2}}. \quad (9)$$

Pro správné odvalování je nutné, aby dotykové plochy obou součástí  $A$  a  $B$  měly shodný sklon  $\delta_1 = \delta'_1$ , t. j. středový úhel vnitřních kuželů. Tato podmínka platí rovněž pro vrcholové úhly  $\delta_2 = \delta'_2$  kuželů vřetena  $C$ . Proto adhesní síla  $S$  vyvodi

prostřednictvím kuliček tutéž reakční sílu  $S$  na věnci  $B$ . Tyto dvě síly dávají v horizontálním řezu výslednici:  $2S \cdot \cos \frac{\delta_1}{2}$ , jež je rušena od vřetena  $C$  reakcí danou výrazem

$$2S' \cdot \cos \frac{\delta_2}{2},$$

kde  $S'$  je normální síla ve stykových bodech vřetena a kuliček (obr. 4).

Statická rovnováha vyžaduje, aby

$$S \cdot \cos \frac{\delta_1}{2} = S' \cdot \cos \frac{\delta_2}{2}. \quad (10)$$

Rovnost statických momentů sil, vyvozených třením na příslušných efektivních poloměrech  $r$ ,  $R$  vyjadřuje vztah:

$$M_1 = 2RSf = 2rSf = M_2, \quad (11)$$

kde  $f$  = koeficient tření (předpokládá se, že je u součástí  $ABC$  ve styku s kalenou kuličkou stejný).

Dosadíme-li za  $S$  výraz z rovnice (10), dostaneme po úpravě

$$\cos \frac{\delta_2}{2} = \frac{r}{R} \cdot \cos \frac{\delta_1}{2}. \quad (12)$$

Z toho vyplývá, že  $\delta_2 > \delta_1$ .

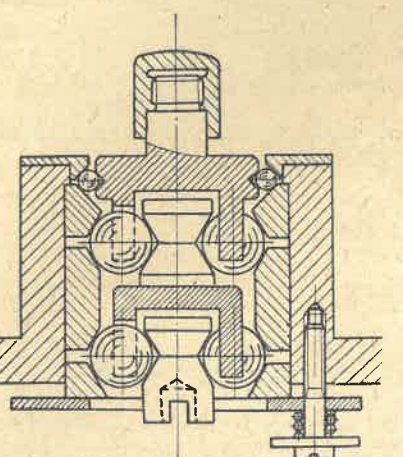
Máme-li tedy přenést převodem stejné momenty s vřetena na kuličky a věnec, musí mít podle vztahu (12) střední vřeteno  $C$  větší úkos  $\delta_2$ . V praxi většinou však jde o přenesení stejných výkonů. Tu platí za ustáleného stavu rovnice energie

$$N = M_1 \cdot \omega_1 = M_2 \cdot \omega_2 = M_2 \cdot \omega_1 \cdot \frac{R}{r},$$

což je splněno, když  $\delta_1 = \delta_2$ . Má-li se tedy přenést převodem výkon  $N$  kgcm/vt, je nutno pro dosažení neklouzavého chodu vyvinout na věnci  $A$  axiální sílu

$$P = \frac{N}{2 \cdot f \cdot R \cdot \omega_1} \cdot \sin \frac{\delta_1}{2} \text{ kg}. \quad (13)$$

Pro zajištění neklouzavého rozbočení (větší záběrový moment) nutno bud' zmenšit  $\delta_1$  a zvětšit  $\delta_2$



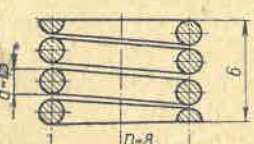
Obr. 5 — Dva kuličkové převody zařazené osově za sebou

nebo zvětšit přítlačnou sílu  $P$ . Aby při opotřebování styčných ploch nezanikla přítlačná síla  $P$ , vyvinuje ji jedna nebo několik pružin.

Aby se získaly větší převodové poměry, lze užít několika kuličkových převodů osově zařazených za sebou (obr. 5). Kuličkový převod je vhodný i pro rychlostní skříně s malým radiálním rozměrem.

#### Praktické použití

Pro odvíjení magnetofonového pásku se musí odvíjet kladka  $K$  otáčet synchronní rychlostí 750 ot/min. Pro pohon je určen synchronní motor 3000 ot/min s výkonom  $N = 60$  W, t. j. 612 kgcm/vt. Je tedy třeba převodu 1:4.



Obr. 6 — Tlačná pružina

Volíme kuličkový převod typu I (obr. 2). Průměr kuliček volíme 15 mm.

$$\delta_1 = \delta_2 = 60^\circ.$$

Podle rovnice (7)

$$\rho_1 = \rho_2 = \frac{d}{2} \cdot \cos \frac{\delta_1}{2} = 6,5 \text{ mm}.$$

Převod je dán rovnicí (1)

$$i = \frac{1}{4} = \frac{r}{r+R}.$$

Dosadíme-li do rovnice dotyku (5)  $r + 2\rho = R$ , dostaneme  $r = \rho = 6,5$  mm;  $R = 19,5$  mm.

Gamil I.: Шариковая планетарная передача.

Автор в настоящей статье описывает шариковую планетарную передачу, показывает область её применения, объясняет расчёт передаточных чисел и даёт критерий для передачи одинаковых моментов и работы.

Dr E. KEPRT, ÚVOJM, Přerov

#### Konstrukční principy překreslovačů

*Vysvětlení optických základů konstrukce překreslovačů. Srovnávání předností a nedostatků jednotlivých typů.*

V kartografické praxi se často setkáváme s úkolem sestavit z leteckých snímků fotografickou cestou mapu (fotoplán) v určitém měřítku. Kdyby byly všechny snímky, z nichž má být mapa sestavena, svislé, t. j. kdyby optická osa fotografické komory byla v okamžiku snímání u všech snímků přesně svislá, bylo by zhotovení fotoplánu poměrně jednoduché: stačilo by fotografickou cestou zvětšit nebo zmenšit všechny snímky tak, aby měřítko jejich obrazů bylo vzhledem k terénu stejné, a usporádat je vedle sebe tak, aby na sebe správně navazovaly.

Ve skutečnosti je však většina leteckých snímků šikmá, t. j. optická osa fotografické komory je v okamžiku snímání u většiny snímků odchýlena od svislice, takže rovina filmu je skloněna k fotografovanému terénu o určitý úhel. Proto se rovnoběžné směry v terénu zobrazují na snímku jako sbíhavé. Je to zřejmé z obr. 1, kde je fotografická komora znázorněna tak, že rovina filmu

Nyní vypočteme přítlačnou sílu  $P$ :

$$N = 612 \text{ kgcm/vt}; n = 3000 \text{ ot/min} \\ \omega = 314,16.$$

Podle vztahu (13)

$$P = \frac{N}{2 \cdot f \cdot R \cdot \omega_1} \cdot \sin \frac{\delta_1}{2} \quad f = 0,08$$

$$P = \frac{612}{2 \cdot 0,08 \cdot 1,95 \cdot 314,16} = 6,24 \text{ kg}.$$

K vyvození síly  $P$  použijeme tří tlačných pružin. Síla na jednu pružinu je tedy  $P' = 2,08$  kg, pro bezpečnost provozu volíme  $P' = 3$  kg. Dále volíme  $D = 8$  mm,  $z = 2,5$  (počet závitů). Pro výpočet pružiny použijeme známých vzorců z pružnosti a pevnosti:<sup>\*</sup>

$$d = \sqrt[3]{\frac{P \cdot 8 \cdot D}{\pi \tau_{dov}}} = \sqrt[3]{\frac{3 \cdot 8 \cdot 8}{\pi \cdot 40}} = 1,5 \text{ mm}.$$

Provozní délka pružiny  $L_o = 1,5 \times 2,5 + 1,5 = 3,75$  mm. Volná délka pružiny  $L_v = L_o + f_1$ .

$$f = 8 \cdot Z \cdot \frac{D^3 \cdot P}{d^4 \cdot G} = 8 \cdot 2,5 \cdot \frac{8^3 \cdot 3}{1,5^4 \cdot 800} = 0,75.$$

$$L_v = 6,00 \text{ mm}.$$

Jako materiálu bylo použito ocelového drátu ČSN 12090 II. třídy vhodného pro vinutí pružin za studena, t. j. bez dalšího tepelného zpracování s výjimkou mírného popuštění pro odstranění pružního vinutí pružiny.

<sup>\*</sup> Richter — v. Voss: Bauelemente der Feinmechanik, str. 348, 1952.

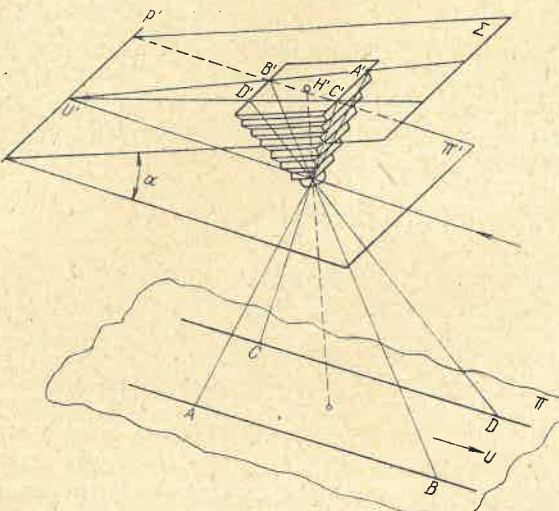
Ing. J. Hampl: Der Rollentrieb.

Der Artikel behandelt den Rollenplanetentrieb, seine Anwendung und Berechnung der Übersetzungsverhältnisse und gibt das Kriterium für Übertragung gleicher Momente und gleicher Leistungen an. Ein Beispiel der Berechnung der Druckfeder ist beigegeben.

## Teorie konstrukce překreslovače

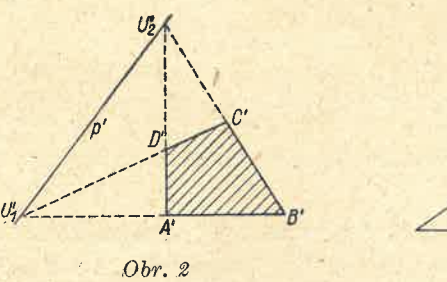
Snímek lze překreslit dvojím způsobem:

1. Snímek se promítne tak, aby příslušné paprskové svazky byly shodné s paprskovými svazky probíhajícími objektivem fotografické komory v okamžiku snímání. Ohnisková vzdálenost promítacího objektivu musí být pak shodná s ohniskovou vzdáleností objektivu fotografické komory a vzdálenost snímku od předmětového hlavního

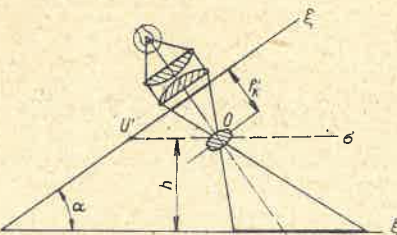


Obr. 1

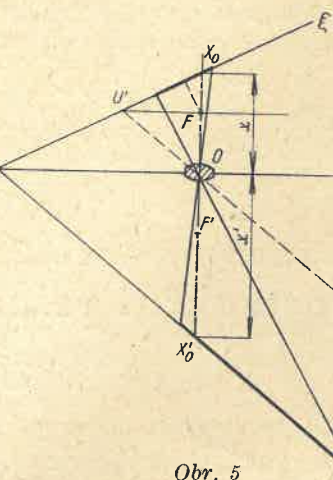
bodu promítacího objektivu musí být stejná jako vzdálenost  $f'_k$  filmu od obrazového hlavního bodu snímacího objektivu v okamžiku snímání. Mimo to promítací plocha  $\xi'$  musí být rovnoběžná s rovinou  $\sigma$  obsahující horizont snímku  $p'$  a procházející obrazovým hlavním bodem objektivu (obr. 4).



Obr. 2



Obr. 4

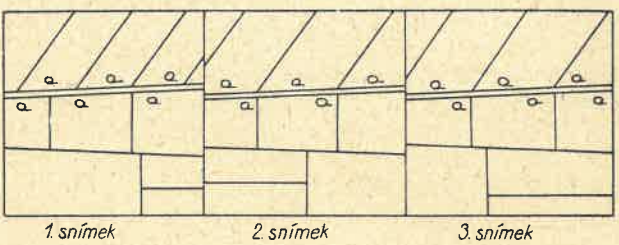


Obr. 5

Za těchto podmínek dostaneme v promítací rovině geometricky správný obraz zbavený perspektivního skreslení. Obraz však bude neostrý, neboť promítací rovina  $\xi'$  je v konečné vzdálenosti  $h$  (ve skutečnosti by měla být v přibližně stejné vzdálenosti jako výška letadla v okamžiku snímání).

2. Snímek se promítne libovolnými svazky, takže vzdálenost  $x$  snímku od předmětového hlavního bodu promítacího objektivu se liší od vzdálenosti  $f'_k$ . Přitom musí horizont snímku  $p'$  ležet v ohniskové rovině promítacího objektivu a promítací rovina  $\xi'$  musí být rovnoběžná s rovinou  $\sigma$  proloženou horizontem snímku  $p'$  a procházející obrazovým hlavním bodem promítacího objektivu (obr. 5). Rovina snímku  $\xi$  musí být skloněna k optické ose a musí splňovat t. zv. Scheimpflugovu podmínu. Za těchto podmínek bude obraz

snímku bez perspektivního skreslení a jeho měřítko bude záviset jedině na vzdálenosti  $x$ . Proto se tohoto způsobu promítání využívá v konstrukci překreslovačů.



Obr. 3

Určeme nejdříve vztahy, kterými jsou vázány vzdálenosti  $x$  a  $x'$ , aby snímek byl překreslen v žádaném měřítku  $m$ . Předpokládejme proto z počátku, že snímek je svislý, t. j. bez perspektivního skreslení. Bude-li snímek umístěn v rovině  $\xi$  kolmě na optickou osu objektivu, bude jeho obraz ležet v rovině  $\xi'$ , rovněž kolmě na rovinu objektivu. Volíme-li souřadnicovou soustavu na obr. 6 tak, že osa  $x$  splývá s optickou osou a počátek  $O$  se středem objektivu, budou vzdálenosti  $x$  a  $x'$  rovin  $\xi$  a  $\xi'$  vázány vztahem

$$\frac{1}{x'} - \frac{1}{x} = \frac{1}{f'}, \quad (1)$$

kde  $f'$  značí ohniskovou vzdálenost objektivu.

Předpokládejme nyní, že snímek je šikmý a že je tedy zatížen perspektivním skreslením. Na šikmém leteckém snímku jsou zobrazeny různé části terénu v různém měřítku  $m_s$ . Protože rovnoběžky se zobrazují jako sbíhavé přímky, je zřejmé, že měřítko  $m_s$  se mění na snímku podél libovolného směru lineárně. Uvažujeme na př. na snímku směr  $s$  (obr. 7). Potom měřítko  $m_s$  v libovolném bodě  $M$  ležícím na tomto směru je určeno vztahem

$$m_s = l \cdot k_o \cdot \sin \varphi, \quad (5)$$

kde  $l$  je vzdálenost bodu  $M$  od bodu  $N$ , ve kterém protíná směr  $s$  horizont  $p'$ ,  $\varphi$  — úhel, který svírá směr  $s$  se směrem horizontu  $p'$ , a  $k_o$  — konstanta závislá jedině na úhlu, pod kterým je skloněna rovina filmu k rovině terénu v okamžiku snímání.

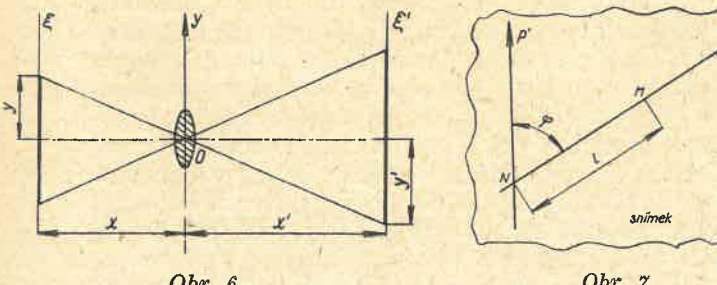
Chceme-li snímek zbavit perspektivního skreslení, musíme zajistit, aby se při překreslování měnilo měřítko  $m$  podél uvažovaného směru také lineárně, avšak v obráceném poměru. Musí tedy pro měřítko překreslení platit

$$m = -\frac{1}{m_s} = -\frac{1}{l \cdot k_o \cdot \sin \varphi} \quad (*). \quad (6)$$

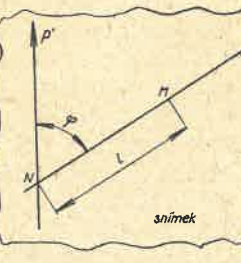
Uvažujeme pro jednoduchost směr spádové přímky, pro který je  $\varphi = 90^\circ$ . Potom jednotlivé body ležící na tomto směru musí být překresleny v měřítku

$$m = -\frac{1}{l \cdot k_o}. \quad (7)$$

Dosáhne se toho tím, že se snímek orientuje tak,



Obr. 6



Obr. 7

aby vzdálenosti  $x$  těchto bodů od hlavní roviny objektivu odpovídaly hodnotám

$$x = -f' (l k_o + 1)$$

vyplývajícím z (3).

Protože  $f'$  a  $k_o$  jsou pro daný snímek a překreslovač konstantní, plyne z (8), že vzdálenost  $x$  bodů rozložených podél uvažovaného směru se mění také lineárně. Stačí tedy sklonit snímek  $\xi$  k optické ose pod vhodným úhlem  $\alpha$ .

Ze vztahu (4) plyne, že i promítací rovina  $\xi'$  bude skloněna pod úhlem  $\alpha'$ . Bude přitom kolmá na tutéž rovinu procházející optickou osou jako rovina snímku. Volme tuto rovinu v obr. 8 jako nákresnou rovinu. Ze vztahu (8) plyne pro  $l = 0$ , že  $x_p = -f'$ . Znamená to, že horizont snímku  $p'$  musí ležet v ohniskové rovině objektivu. Označíme-li vzdálenost  $X_p = l_0$ , bude podle (8)

$$x_o = -f' (l k_o + 1). \quad (9)$$

<sup>\*)</sup> Podle dřívější dohody nutno klást záporné znaménko.

Pro sklon  $\alpha$  snímku  $\xi$  pak vychází

$$\cos \alpha = -\frac{x_p - x_o}{l_0} = -f' k_o. \quad (10)$$

Podobně plyne z obr. 8 pro sklon  $\alpha'$  promítací plochy  $\xi'$

$$\frac{\tan (\alpha - R)}{\tan (R - \alpha')} = \frac{x_o + f'}{-f'}, \quad (11)$$

čili

$$\frac{\tan \alpha'}{\tan \alpha} = \frac{x_o + f'}{f'} = \frac{1}{m_o}, \quad (12)$$

kde  $m_o$  je měřítko, se kterým je překreslen bod  $X_o$  ležící na optické ose objektivu.

Protože

$$\frac{x_o + f'}{f'} = \frac{x_o}{x'_o},$$

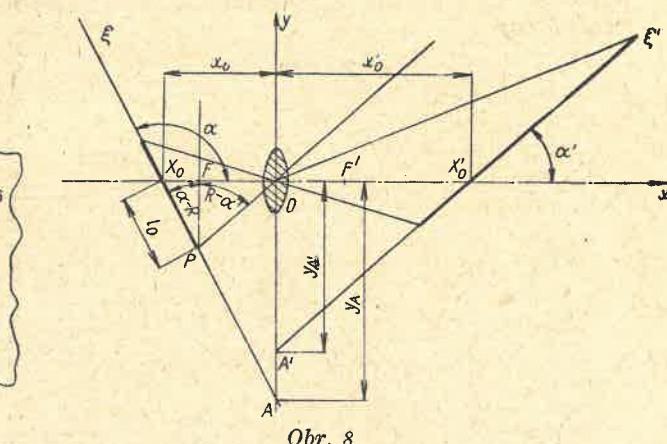
plyne z (11) dále, že

$$\frac{\tan (\alpha - R)}{\tan (R - \alpha')} = -\frac{x_o}{x'_o}$$

a tedy

$$y_A = y'_A, \quad (13)$$

kde  $y_A$  resp.  $y'_A$  je vzdálenost bodu  $A$  resp.  $A'$  od počátku  $O$ . Je to velmi důležitý výsledek, neboť ukazuje, že rovina snímku  $\xi$ , rovina jeho obrazu  $\xi'$  a rovina proložená objektivem kolmo na jeho optickou osu se protínají v jediné průsečnici.



Obr. 8

Tato zajímavá vlastnost uvedených tří rovin je v literatuře známa jako Scheimpflugova podmínka. Proto musí být konstrukce překreslovače upravena tak, aby umožňovala natáčení dvou z uvedených tří rovin kolem os vzájemně rovnoběžných a kolmých na optickou osu objektivu.

Z výsledků všech předchozích úval je zřejmé, že překreslovač musí umožnit splnění Scheimpflugovy podmínky pro každé měřítko  $m$  tak, aby horizont snímku ležel současně v ohniskové rovině objektivu a aby promítací rovina byla rovnoběžná s rovinou proloženou horizontem snímku a předmětovým hlavním bodem objektivu. Proto musí mít každý překreslovač pět stupňů volnosti. První stupeň slouží k nastavení žádaného měřítka, druhý stupeň ke splnění Scheimpflugovy podmínky, třetí umožňuje správnou orientaci horizontu snímku tím, že se snímek natáčí ve vlastní rovině a čtvrtý a pátý stupeň umožňují posuv snímku ve vlastní rovině ve dvou k sobě kolmých směrech. Těchto pěti stupňů volnosti zajišťuje

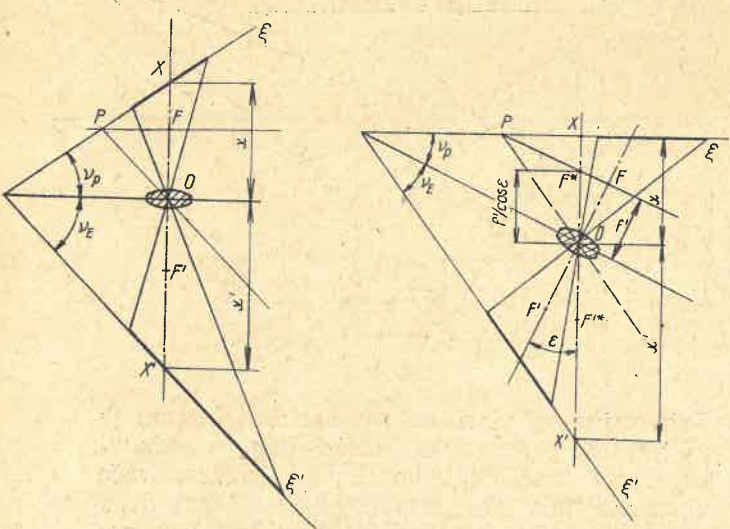
vnější orientaci snímku, která se obyčejně provádí vlivováním obrazu snímku do čtyř známých bodů vnesených v žádaném měřítku na promítací plochu. Čtyři body určují čtyřúhelník, který je určen pěti podmínkami, což je v souhlase s uvedeným počtem stupňů volnosti.

#### Uspořádání překreslovače

Pro splnění Scheimpflugovy podmínky je třeba upravit překreslovač tak, aby dvě z rovin — rovina snímku, rovina proložená objektivem a promítací rovina — byly otočné kolem os vzájemně rovnoběžných a kolmých na optickou osu objektivu. Podle toho, které dvě z těchto rovin se volí, můžeme překreslovače rozdělit do čtyř skupin:

1. Rovina snímku a promítací rovina je otočná, zatím co rovina proložená objektivem je pevná (obr. 9). Měřítko překreslování se mění posuvem roviny snímku a posuvem objektivu ve směru optické osy objektivu. Jinak je snímek ve vlastní rovině otočný a posuvný ve dvou k sobě kolmých směrech.

Výhoda této konstrukce je v tom, že při změně měřítka je zobrazovací rovnice (1) přesně splněna. Určitou nevýhodou této konstrukce je, že rovina snímku je naklánitelná, což vede k určitým deformacím mechanických částí stroje. Deformace jsou způsobovány tím, že se při posuvu snímku mění těžiště nosiče snímku a není tedy možno nosič snímku přesně vyvážit se záratelem k jeho otočné ose.



Obr. 9

Obr. 10

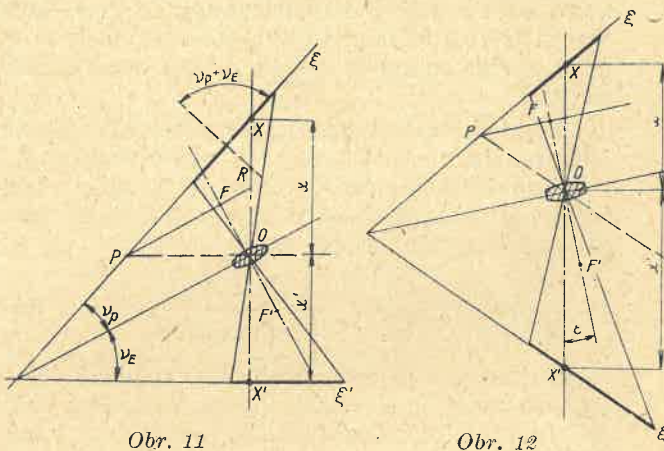
2. Rovina proložená objektivem a promítací rovina jsou otočné, zatím co rovina snímku je pevná. Měřítko překreslování se mění posuvem snímku a objektivu podél svislé osy kolmé na rovinu snímku (obr. 10). Podobně jako v předchozím případě se snímek ve vlastní rovině otáčí a posouvá ve dvou vzájemně kolmých směrech. Protože se měřítko zobrazování nemění podél optické osy, nýbrž podél směru, který s ní svírá úhel  $\varepsilon$ , řídí se zobrazování rovinou.

Keppt E.: Prinzipien konstruktionsgrundlagen der Entzerrungsgeräte.

В статье описываются оптические основы конструкции прибора и также оцениваются преимущества и недостатки отдельных типов.

$$\frac{1}{x'} - \frac{1}{x} = \frac{\cos \varepsilon}{f'}. \quad (14)$$

Srovnáme-li tuto rovnici s (1), vidíme, že je to zobrazovací rovnice příslušná k objektivu s fiktivní ohniskovou vzdáleností  $f'/\cos \varepsilon$ . Protože se úhel  $\varepsilon$  od snímku k snímku mění, regulaci měřítka nemí možno přesně automatizovat, a proto při větších skloních promítací plochy je vždy třeba dodatečně korigovat nastavení obrazu snímku do promítací roviny. Výhoda této konstrukce je v tom, že snímek je pevný a nakládání se pouze poměrně lehký objektiv.



Obr. 11

Obr. 12

3. Rovina snímku a rovina objektivu se nakládají, zatím co promítací rovina je pevná. Měřítko překreslování se mění podél svislice. Protože optická osa je odchylena od svislice o úhel  $\varepsilon$ , který se od snímku ke snímku mění, není možno, podobně jako v předcházejícím případě, regulaci měřítka přesně automatizovat. Jinak pohyb snímku ve vlastní rovině je shodný s pohybem v obou předcházejících případech. Protože snímek musí být při této konstrukci značně decentrován, je výhodné jej natáčet kolem vodorovné osy protínající optickou osu objektivu v bodě  $R$ , čímž se snímek automaticky při jeho naklánění decentruje. Schéma tohoto přístroje je na obr. 11. Výhodou této konstrukční úpravy je hlavně malá stavební výška překreslovače.

4. Překreslovač může být upraven i tak, že všechny tři roviny se natáčejí (obr. 12). Měřítko se nastavuje podobně jako v předcházejících případech podél svislého směru a jeho regulaci není tedy možno přesně automatizovat. Zbývající tři stupně volnosti jsou stejně jako u ostatních případů.

5. Některé překreslovače jsou upraveny tak, že každá z uvedených dvou rovin se natáčí kolem dvou vzájemně kolmých os. Scheimpflugova podmínka musí být potom splněna pro obě osy otáčení. Výhodou zde je zjednodušení konstrukce nosiče snímku, u kterého odpadá otočný pohyb. Nevýhodou této konstrukce jsou určité potíže spojené s přesným splněním Scheimpflugovy podmínky v druhém směru.

Dr. E. Keppt: Konstruktion Grundlagen der Entzerrungsgeräte.

Der Artikel behandelt die optischen Prinzipien der Konstruktion von Entzerrungsgeräten und beurteilt die Vor- und Nachteile der einzelnen Typen.

## K principu interferenční refraktometrie

Lektor Dr M. Král

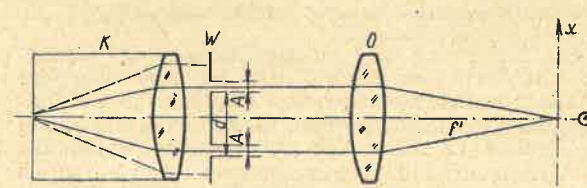
Na příkladě Youngova interferometru se ukazuje, že výchylka interferenčních proužků je stejně citlivá na rozdíl indexu lomu jako výpočet odchylky paprsku metodami geometrické optiky. Velká přesnost interferenční refraktometrie je dána jen silným zvětšením válcového okuláru a jemnosti posuvaného indexu — proužků.

Nauka o měření indexu lomu pevných, kapalných nebo plynných látek (refraktometrie) má k disposici řadu přístrojů pracujících na různých principech. S nejobecnějšího hlediska lze je rozdělit na refraktometry založené na geometrické optice a na refraktometry interferenční, t. j. založené na vlnových vlastnostech světla. Do první skupiny náleží známé refraktometry používající mezního úhlu lomu (totální odraz): Abbeuv, Goertzuv, Pulfrichuv a Zeissuv ponorný refraktometr. Dále sem patří metoda minimální deviace. Ze skupiny druhé jsou nejznámější interferenční refraktometry Jaminuv a Younguv (zvaný též Rayleighuv nebo Haber-Löweuv, podle tradice v té které zemi).

Jak známo, jsou interferenční refraktometry (krátce interferometry\*) asi stokrát přesnější než refraktometry „geometrické“.

Tím je dán též obor jejich aplikace: jsou to přístroje typické pro refraktometrii kapalin a hlavně plynů, jejichž indexy lomu se často liší až na 5 až 6 decimále. Nutno je tedy určovat s přesností  $\pm 1.10^{-8}$ , aby byla zaručena dostatečná relativní přesnost výsledku. To právě umožňuje refraktometry interferenční, zatím co přesnost obyčejných refraktometrů bývá  $\pm 1.10^{-4}$  až  $\pm 1.10^{-5}$ .

Jsme zvyklí přisuzovat interferenční refraktometrii tuto větší přesnost a nebudeme asi daleko od pravdy, řekneme-li, že si ji vykládáme jaksi principiálně. Interferenční zjev daný vlnovým



Obr. 1 — Zjednodušené schema Youngova interferometru

charakterem světla zdá se nám citlivějším na změny hmoty (indexu lomu) než chod parsků v geometrické optice. Ukážeme si na příkladu, že vlnová optika i geometrická optika jsou k indexu lomu stejně citlivé. Bylo by to sice možno odbýt poukazem na to, že zákon lomu lze odvodit podle Huygense vlnové optiky, nicméně je zajímavé objasnit situaci na konkrétním příkladě. Ukážeme také, že větší přesnost interferenčních refraktometrů je dána možností přesnějšího odečítání daných změn.

Obr. 1 ukazuje optické schema Youngova interferometru, kde vznikají interferenční proužky při ohýbu světla na dvojštěrbině  $W$ , osvětlované

\*) Název interferometr je rezervován pro interferenční přístroje na měření délek, kde se interferenční proužky posunují vlivem změny dráhy, nikoli vlivem změny indexu lomu. Často se však pro stručnost tento rozdíl pomíjí.

z kolidátoru  $K$  rovnoběžným svažkem paprsků. Obě části vlnoplochy propuštěné obdélníkovými štěrbinami setkávají se v ohniskové rovině objektivu  $O$ , kde vzniká soustava přímkových rovnoběžných a stejně širokých (ekvidistantních) proužků, které v příčném řezu zvětšujeme válcovým okulárem  $V$ .

Nejprve podrobnejší popíšeme pozorovaný zjev. Relativní rozdělení světelné intenzity v interferenčním obrazci je dánou vzorcem [1], [2], [3]:

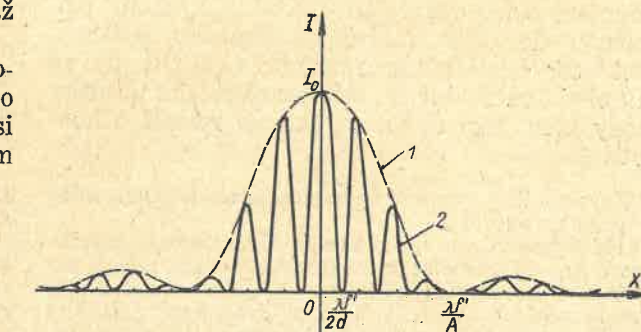
$$I = I_0 \frac{\sin^2 \beta}{\beta^2} \cos^2 \gamma, \quad (1)$$

$$\beta = \frac{\pi}{\lambda} \frac{x}{f'} A, \quad \gamma = \frac{\pi}{\lambda} \frac{x}{f'} d, \quad (2a, b)$$

kde  $A$  je šířka štěrbin,  $d$  — rozteč štěrbin,  $f'$  — ohnisková vzdálenost objektivu,  $x$  — souřadnice v ohniskové rovině objektivu kolmá na proužky.

Vlastní interferenční proužky vytváří činitel  $\cos^2$ , zvaný proto interferenční. Jeho perioda je  $\pi$ , tedy šířka proužků

$$s = \frac{\lambda f'}{d} \text{ nebo úhlově } \sigma = \frac{\lambda}{d}.$$



Obr. 2 — Ohýb světla na dvojštěrbině

1 — ohýbový faktor, 2 — modulovaný interferenční faktor

Prvý činitel představuje ohýbovou modulaci interferenčních proužků (obr. 2). Ohýbovou proto, že samotný představuje relativní rozdělení světelné intenzity při ohýbu světla na obdélníkové (dosti vysoké) štěrbině šířky  $A$ . Jeho nulová minima jsou dána podmínkou

$$x_0 = k \frac{\lambda f'}{A}, \quad k = 1, 2, 3, \dots$$

Pro  $x = 0$  nabývá ohýbový činitel jednotkového maxima, neboť  $\lim_{\epsilon \rightarrow 0} \frac{\sin \epsilon}{\epsilon} = 1$  a tedy i čtverec má

za limitu jedničku. Ohýbová maxima vedlejších rádů jsou nepatrná, menší než  $1/20$ . Viditelnost interferenčních proužků je tedy omezena na interval  $\pm \lambda f'/A$ .

Obr. 3a znázorňuje schematicky měření rozdílu indexů lomu Youngovým interferometrem, a to

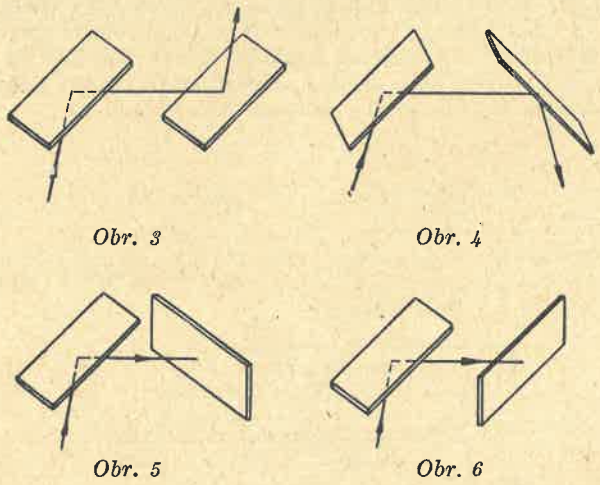


odrazná plocha druhá, rovnakých vlastností ako prvá s prvou rovnobežne (obr. 3), potom i po odraze na druhé doštičke je svetlo polarizované. Ak otáčame druhou doštičkou okolo osi identickej s odrazeným paprškom na prvej polarizačnej doštičke, zmenuje sa intenzita odrazeného svetla od druhej zrkadlajacej plochy v závislosti na uhle natočenia a platí pre intenzitu Malusov zákon:

$$I = I_0 \cdot \cos^2 \alpha.$$

$\alpha$  je uhol natočenia polarizačných rovin z polohy, kde sú rovnobežné.

Nastáva teda pri otáčaní analyzátora o  $360^\circ$  dvakrát poloha ( $0^\circ$ – $180^\circ$ ) — obr. 3 a 4 —, kedy intenzita obvykaleho svetla je maximálna, pričom polarizačné roviny analyzátora a analyzátora sú rovnobežné a dvakrát poloha ( $90^\circ$  a  $270^\circ$ ) — obr. 5 a 6 —, kedy intenzita je minimálna, pritom polarizačné roviny sú skrižené.



Pre hodnotenie polarizátora je dôležitý t. zv. stupeň polarizácie. Svetlo, ktoré nedopadá len pod polarizačným uhlom sa skladá po odraze zo zložiek svetla z časti polarizovaného o intenzite  $I_p$ , a z časti svetla prirodzeného o intenzite  $I_n$ .

$$\text{Stupeň polarizácie } P \text{ je daný závislosťou } P = \frac{I_p}{I_p + I_n}.$$

V prípade, že sú merané dva polarizátory, meria sa prieplustnosť oboch polarizátorov v polohe rovnobežnej  $D_r$ , a potom prieplustnosť v polohe skriženej  $D_s$  a stupeň polarizácie v percentoch sa vyjadruje:

$$P \% = \frac{D_r - D_s}{D_r + D_s} \cdot 100 \%.$$

Z uvedených zákonov vyplýva, že odrazná plocha sklenenej dosky je jednoduchým polarizačným prostredkom a má tu výhodu, že pri uhlе dopadu pod polarizačným uhlom dáva 100% polarizované svetlo. Pri odchylkach uhlu dopadu od polarizačného uhlu  $\pm 5\%$  zostáva stupeň polarizácie väčší ako 95 %. Výhoda je, že nevzniká žiadna farebná vada pri odraze svetla. Výrobné náklady sú nízke. Nevhodou je zmena smeru chodu svetelného papršku a potreba značného priestoru pre konštrukciu prístroja a z toho i vyplývajúce veľké rozmery prístroja. Zrkadlových polarizátorov bolo použité u atutokolimačných prístrojov fotoelasticimetrických, teraz však i u týchto prístrojov sa používajú dvoj filtry polarizačné.

U svetla prechádzajúceho do prostredia o indexu lomu  $n$  nastáva ako už bolo uvedené tiež polarizácia, avšak v žiadnom prípade úplná. Za účelom zvýšenia polarizácie sa užívajú kombinácie niekoľkých planparalelných doštičiek za sebou rovnobežne usporiadanych. Tento druh polarizátorov vo fotoelasticimetrii nie je vôbec používaný, pretože sa dosahuje len pomerne nízkeho stupňa polarizácie a vydá veľké rozmerы prístroja.

### Kryštaličné polarizátory

Pre objasnenie vzniku polarizácie v kryštalocho alebo kryštaličných hmotách je účelné porovnať niektoré pojmy a analógiu medzi tokom svetla a elektrickým prúdom. Pri periodických zmenach intenzity elektrického pola v závislosti na čase v skúmanom prostredí vzniká vlnivý postupný pohyb s rýchlosťou danou závislosťou

$$v = \frac{c}{\sqrt{\epsilon \cdot \mu}},$$

kde  $c$  je rýchlosť svetla vo vakuu  $30 \cdot 10^{10}$  cm/sec,  $\mu$  je magnetická permeabilita, ktorou pre izolátory je možné položiť rovnú 1,  $\epsilon$  dielektrická konštantá.

Rýchlosť šírenia svetla v určitom prostredí je závislá od vlastností tohto prostredia a obzvlášte je rýchlosť šírenia svetla závislá na smere šírenia sa svetla ak i dielektrická konštantá vykazuje túto závislosť.

V izotropných homogenných prostredia má dielektrická konštantá  $\epsilon$  vo všetkých smeroch rovnakú hodnotu.

Pomer rýchlosťi  $\frac{c}{v}$  je nazývaný indexom lomu  $n$ .

Platí teda  $n = \frac{c}{v} = \sqrt{\epsilon \cdot \mu}$  a teda  $n^2 = \epsilon \cdot \mu$  a pre  $\mu = 1$  je  $n^2 = \epsilon$ .

Ak odpovedajú hlavné osi v pravouhlej súradnej sústave smerom rýchlosťi šírenia svetla, ktoré sú závislé na dielektrických konštantách v jednotlivých smeroch, je daná priestorová závislosť rýchlosťi obecne elipsoidom, ktorého pomer hlavných os je daný závislosťou

$$\frac{1}{\epsilon_x} : \frac{1}{\epsilon_y} : \frac{1}{\epsilon_z}$$

alebo tiež v závislostiach na indexoch lomu  $n_x$ ,  $n_y$  a  $n_z$ .

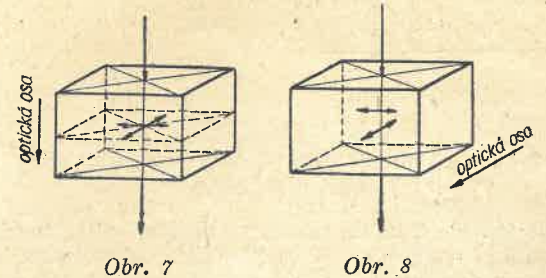
V izotropných homogenných prostredia prichádza obecný elipsoid do tvaru gule, t. j.  $n_x = n_y = n_z$  a tu rýchlosť svetla je vo všetkých smeroch konštantá.

V anizotropných prostredia, u ktorých je závislosť daná rotačným elipsoidom, vyskytujú sa vo dvoch smeroch rozdielne indexy lomu  $n_x = n_y$ , a  $n_z \neq n_x$  a potom po vstupu svetelného papršku do takého prostredia nastáva zjazd nazývaný dvojdom.

Niekteré hmoty majú tú vlastnosť, že za normálneho stavu sú izotropné a pôsobením vonkajších súl sa stávajú dočasne anizotropné.

Smery, v ktorých u prechádzajúceho svetla u dvojdomých kryštáloch nevzniká žiadny dvojdom, sa nazývajú optickými osami kryštálu. Všetky trigonálne, tetragonálne a hexagonálne kryštaly, t. j. všetky kryštaly s jednou kryštalografickou hlavnou osou majú len jednu takúto os v smere hlavnej kryštalografickej osi. Kryštaly takéto názvame preto jednoosovými.

Pri priechode svetla kryštaličnými látkami, ktoré sú anizotropné, je nutné pri úvahе o chovaní sa svetla vziať do úvahy orientáciu vstupnej plochy k smeru optickej osi a vstupujúcemu svetelnému papršku.

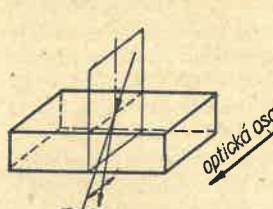


V prípade, že svetelný papršok dopadá kolmo na plochu doštičky vyrezanej z materiálu, ktorý má vlastnosť dvoj-

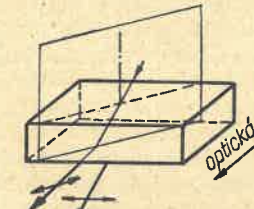
lomu (napr. islandský vápenec) a pritom je táto plocha kolmá na smer optickej osi (obr. 7), prejde svetlo touto doštičkou rovnako, ako by bola izotropným telosom. Ak sa vezmú do úvahy v tomto prípade smery rovín kmitov a fázový stav, zostáva ich orientácia i fázový stav po priechode doštičkou nezmenené. V prípade, že dopadá svetelný papršek sice kolmo na vstupnú plochu doštičky, avšak kolmica dopadu stojí kolmo na optickej osi doštičky, ne-nastane po priechode svetelného papršku doštičkou žiadna úchyalka od pôvodného smeru rovín kmitov, avšak časť svetla, u ktorého periodické zmeny prebiehajú rovnobežne s optickej osou kryštálu sa šíri rýchlejšie, ako časť svetla, u ktorého periodické zmeny prebiehajú kolmo k optickej osi kryštálu (obr. 8).

V druhom prípade, keď je vstupná plocha rovnobežná s optickou osou kryštálu, môžu nastáť dva zásadné rozdielne prípady u paprškov, ktoré dopadajú na vstupnú plochu šikmo. V prípade, že kolmica dopadu je kolmá k optickej osi a rovina dopadu tvorí hlavnú rovinu kryštálu (obr. 9), časť svetla, ktorého rovina kmitov je kolmá k optickej osi, má väčšiu rýchlosť a časť svetla, u ktorého rovina kmitov je rovnobežná s osou optickej, má rýchlosť menšiu. V tomto prípade sa rozdelí svetlo po vstupe do kryštálu na dve časti, z ktorých každá časť sa šíri iným smerom, ktorý je stanovený rýchlosťou, ktorou sa šíri a teda k tejto rýchlosťi príslušným indexom lomu. Tento zjazd nazývame dvojdom. Každá časť svetla má inú rovinu kmitov a zjazdovou osu na seba kolmú.

V prípade, že kolmica dopadu i rovina dopadu nezvierajú s optickou osou kryštálu uhol pravý, sa svetlo tiež rozdelí na dve časti s rôznymi rovinami kmitov a môžu nastáť i prípady, kedy jeden z oboch rozdelených paprškov po lome vystúpi z roviny dopadu (obr. 10).



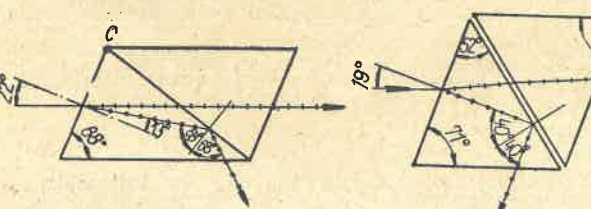
Obr. 9



Obr. 10

U islandského vápenca, ktorý má vlastnosť dvojdomnej látky je pre svetlo sodíkovej lampy jeden index  $n_1 = 1,487$  a druhý index  $n_2 = 1,659$ .

Za účelom vylúčenia jedného z dvoch dvojdomov polarizovaných paprškov sa zhotovujú rôzne kombinácie hranolov, z ktorých najpoužívanejší je hranol Nicolov (obr. 11). Zhotovuje sa z rhombického kryštálu islandského vápenca tak, že dva dieľy rozrezané rezom kolmým k hlav-



Obr. 11

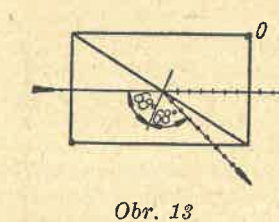
Obr. 12

nemu rezu a zbrúsené z pôvodného uhlu vápenca  $71^\circ$  na  $68^\circ$  sa stmelia kanadským balzámom, ktorý má index lomu  $n = 1,54$ . Papršek svetla dopadajúceho na stenu hranolu pod uhlom asi  $22^\circ$  sa po lome rozdelia na papršek riadny, ktorý je polarizovaný v rovine hlavného rezu, takže kmitá v rovine kolmej k hlavnému rezu, dopadá na vrstvu ka-

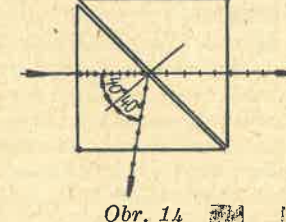
nadského balzámu pod uhlom  $68^\circ$  alebo väčším a podľa zákona o totálnom odraze, pre ktorý platí vzťah  $\sin \alpha = \frac{n_1}{n_2}$ , sa odrazí na tmelenej ploche a neprejde druhou časťou hranola. Papršek mimoriadny je polarizovaný v rovine kolmej k hlavnému rezu, takže rovina kmitov je identická s rovinou hlavného rezu. Pretože rýchlosť svetla mimoriadneho papršku odpovedá indexu lomu  $n_1 = 1,486$  a kanadský balzám má ako je už uvedené  $n = 1,54$ , ne môže pre mimoriadny papršek pri dopade na kanadský balzám nastať úplný odraz a prejde v lineárne polarizovanom stave druhou časťou hranola.

Podobnej konštrukcie ako Nicolov hranol je Foucaultov s tým rozdielom, že medzi obidvoma časťami hranola je vzdialosť medzera a medzny uhol pre papršek riadny je tu  $37^\circ 5'$  a pre papršek mimoriadny  $42^\circ 20'$ . Hranol je kratší, má lepšiu prieplustnosť pre ultrafialové papršky a zorné pole má asi  $8^\circ$  (obr. 12).

Iné podobné hranoly sú Glan-Thompsonov so vstupnou plochou kolmom k základni (obr. 13) a hranol Glanov (obr. 14). Nevhodnosť týchto hranolov spočíva v tom, že pri výrobe je veľký odpad materiálu.



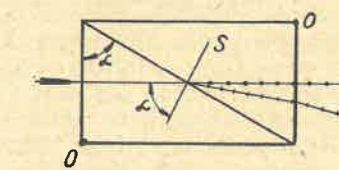
Obr. 13



Obr. 14

Dalej sú používané polarizátory z jednoosových kryštálov s deleným zorným polom, t. zv. dvojpaprškové. U tohto typu polarizátorov vystupujú obidva druhy paprškov rôzne polarizované z výstupnej plochy a v primeranej vzdialnosti od výstupnej plochy môžu byť od seba oddelené a pozorované.

Najjednoduchším polarizátorom dvojpaprškovým je planparalelná doštička vyrezaná z islandského vápenca v takom smere, ktorý nie je zhodný so smerom rovnobežným alebo kolmým k jeho optickej osi (obr. 15).



Obr. 15

Pre použitie vo fotoelasticimetrii prichádzajú do úvahy najviac hranol Nicolov alebo Foucaultov. Majú nevýhodu malého zorného pola a je nutné ich kombinovať so šoškovou sústavou, čo dáva zložitú a drahú konštrukciu prístroja a veľké dimenzie, hlavne pre skúmanie veľkých modelov. Preto sa ich dnes používajú len veľmi zriedka.

### Dichroické polarizátory

U jednoosových kryštálov je daná obecne závislosť rýchlosťi šírenia svetla na jeho smere rotačným ellipsoidom a v rovnej závislosti je i index lomu.

V podobnej závislosti ako je rýchlosť šírenia svetla a indexy lomu je i absorpcia svetla pri prechode kryštálmi a je daná t. zv. obecným ellipsoidom absorpcným. Charakteristiku hmot týchto kryštálov udáva teda tvar obalejcej plochy vektorov udávajúcich absorpciu svetla. Absorpcia je však tiež závislá na polohe rovín kmitov a je rôzna pre rôzne vlnové dĺžky prechádzajúceho svetla. Tak sa vyskytujú prípady, že u kryštálov niektorých látok pri

pozorovaní v rôznych smeroch vykazujú tieto rôzne záfarbenie svetla. Pri pozorovaní v polohách medzi smermi hlavnými os vznikajú rôzne zložené farby. Tento zjav je obecne nazývaný pleochroizmus, prípadne pre tri farby vznikajúci v smeroch hlavných os  $X$ ,  $Y$ ,  $Z$  trichroizmus. U kryštálov hexagonálnych a tetragonálnych, ktoré patria do jednoosovej optickej sústavy, stáva sa absorpcný elipsoid, tvorený obalovou plochou vektorov absorpcie svetla rotačným a tu sa vyskytujú len dve farby: jedna v smere optickej osi a druhá v smere na optickú os kolmom. Tento zjav nazývame dichroizmus a látky, ktoré majú túto vlastnosť, dichroické. U kryštálov sústavy kubickej prechádza absorpcný elipsoid do tvaru gule a nevzniká tu potom absorpcia, závislá od smeru paprškov a ako už uvedené ani dvojlos. Po priechode svetla v prípade, že časť viditeľného spektra je absorbovaná, javí sa nám v prieľade farba, ktorá vznikne zložením prešívajúcich farieb.

Je teda podstata dichroických polarizátorov daná závislosťou rýchlosťi šírenia svetla v kryštáloch a z toho vypĺňajúceho dvojlosu a závislosti absorpcie svetla rôznych vlnových dĺžok na smere a rovine kmitov šírenia svetla. Dichroizmus nachádzame u kryštálov prírodných i zhotovených umelé.

Jednou z najstarších látok prírodných, u ktorých sa nachádza dvojlos i dichroizmus v prírodnom stave, je turmalín, ktorý kryštaluje v trigonálnej sústave. Svetelný papršok prechádzajúci doštičkou vyzvanou rovnobežne s jej optickou osou, sa rozkladá dvojlosom na papršek riadny, ktorý je absorbovaný a papršek mimoriadny, ktorý prechádza, a ktorý býva podľa pôvodu turmalínu rôzne záfarbený (žltý, načervenalý, zelený a hnedý). Pre svoje malé rozmery a záfarbenie sa pre účely fotoelasticimetrie nehodí ani neužíva.

Dvojlosné dichroické umelé látky sa vyrábajú najčastejšie v podobe polarizačných fólií. Sú vyrábané napr. z chininjodsulfátu, polyvinylalkoholu, polyvinylbutyrátu, celulózy, želatiny a iných podobných látok.

Polarizačná fólia je v podstate plošne upravená vrstva kryštalického prostredia, zloženého zo sústav kryštálov sub-mikroskopickej alebo koloidnej veľkosti, dokonale usmernených v smere optických os a uložených v stuhnutom izotropnom prostredí. Lineárna veľkosť kryštálov je menšia ako vlnová dĺžka ktorejkoľvek viditeľnej časti spektra a nie je ich možné teda ani použiť mikroskopu rozlišiť a ich radová veľkosť je teda menšia ako  $400 \text{ m}\mu$ . Kryštály by v neusmernenom stave, t. j. s optickými osami náhodile a chaoticky usporiadanými nedávali ako celok optickú anizotropiu a preto je nutné ich vhodným spôsobom usmeriť tak, aby mali všetky rovnakú orientáciu a potom u všetkých kryštálov sú smery optických os i riadnych a mimoriadnych paprškov po dvojlosme súhlasné. Záfarbením kryštálov sa získava dichroizmus a tak nastane absorpcia jedného z polarizovaných paprškov v kryštáloch a svetlo, ktoré prešlo fóliou je lineárne polarizované. Fólia potom ako celok má optickú os a teda i polarizačnú rovinu orientovanú v určitom smere, a to súhlasne s jednotlivými kryštálmi. Rovina kmitov prešlého polarizovaného svetla vzniknutého dvojlosom a dichroickou absorpciou leží v rovine kolmej k rovine polarizačnej.

Павлинец М.: Поляризаторы для фотоэластических измерений.

В области фотоэластичиметрии применяются поляризаторы, принцип функции которых основан на появлении поляризации при отражении, на дифракции и дихроизме. Из теоретических условий появления поляризованного света у отдельных групп поляризаторов вытекают также условия их практического применения в качестве поляризаторов или анализаторов при фотоэластичиметрических измерениях. При конструкции прибора необходимо учитывать не только требования экономного производства, но и размеры

Pre intenzitu svetla, ktoré prešlo polarizátorom a analýzatorom v rôznych vzájomných polohách daných vzájomnou polohou polarizačných rovin platí zákon Malusov. A podobne i pre stupeň polarizácie platia vzťahy uvedené u polarizátorov zrkadlových.

Pri priechode svetla fóliou ako každým iným prostredím je časť svetla absorbovaná, a to rôzne pre rôzne vlnové dĺžky viditeľného spektra a preto nevykazujú vždy fólie absorbčné krivky pre celý rozsah viditeľného spektra pribeh neutrálnej, ale podľa povahy látky, ktoré sa užívajú k výrobe fólie a podľa vlastnosti farbiva vzniká absorpcia rôzna a má najčastejšie vystup v časti spektra dĺžkach vln, t. j. červených a pokles vo fialovej časti spektra. Je možné použiť vhodných farbív prieplustnosť pre jednotlivé vlnové dĺžky upraviť.

Stupeň polarizácie lineárne polarizovaného svetla má byť čo najväčší a časti nepolarizovaného svetla majú byť absorpciou čo najúčinnejšie odstránené.

Výhodou polarizačných fólií použitých pri konštrukcii fotoelasticimetrov je možnosť získania veľkých plošných rozmerov a tým je daná možnosť štúdiu na modeloch veľkých rozmerov bez použitia iných optických prvkov, ako je tomu napr. u kryštalických polarizátorov. Pri paralelnom postavení polarizačných fólií býva prieplustnosť 30 až 40 % a pri polohe skriženej 0,1 %, kdežto u Nikolu v prvom prípade 50 % a v druhom prípade prakticky nula.

Najznámejšie typy filtrových fólií sú fólie z kryštálov herapitu, z polyvinylalkoholu alebo polyvinylbutyrálu a celulózy. Herapitat pozostáva z nespočetného množstva ultramikroskopických kryštálov a ukladá sa do tenkej vrstvy nitrocelulózy, alebo octanu celulózy. Ihličkovité kryštály sa vhodným spôsobom orientujú do polohy rovnobežnej a vzniknutá vrstva sa potom chová ako jediný polarizujúci dvojlosm kryštál. Skoro úplne polarizované je svetlo v strednej časti spektra, kdežto v časti červenej a fialovej je polarizácia menšia. Preto pri skriženej polohe dvoch filtrov vzniká v prieľade tmavofialová farba miesto úplného zhášania. Zhotovené polarizačné filtre majú tu nevýhodu, že nie sú opticky stále a u tohto druhu sa ľahko docieľuje väčší rozmer (asi do  $\varnothing 50 \text{ mm}$ ).

Najviac používanými polarizátormi pre účely fotoelasticimetrie sú stali fólie polarizačné vyrábané z polyvinylalkoholu alebo polyvinylbutyrátu a iných podobných látok, ktoré majú vlastnosť dvojlosu. Tak napr. fólie z polyvinylalkoholu sú voči svetlu veľmi stále a bez pridania farbiva, ktorým sa získava dichroická absorpcia prepúšťajú veľmi dobre svetlo až na časť utrafialovú, pre ktorú vyzkazujú prieplustnosť malú.

#### Záver

Pri moderných konštrukciach prístrojov pre fotoelasticimetriu sa budú uvažovať prevážne fólie zhotovené na báze dvojlosných dichroických polarizátorov, ktoré postupne zatlačia všetky ostatné typy polarizátorov.

#### Literatura

- Dr Petržílk V.: Fyzikální optika, Přírodovědecké vydav. 1952.
- Dr Haas H.: Polarisationsoptik, VEB Verlag Technik, Berlin 1953.
- Michel K.: Handbuch der wissenschaftlichen und angewandten Photographie, Springer - Verlag, Wien 1943.
- Dr Mesmer G.: Spannungsoptik, Springer - Verlag, Wien 1939.
- Milbauer M.: Fotoelasticimetrie, SNTL, Praha 1953.

Ing. M. Pavlinec: Polarisatoren für die Photoelastizimetrie.

Die in der Photoelastizimetrie vorkommenden Polarisatoren verwenden das Prinzip der Polarisation durch Reflexion, Doppelbrechung und Dichroismus. Aus den betreffenden theoretischen Bedingungen der Entstehung des polarisierten Lichtes bei einzelnen Gruppen der Polarisatoren spezielle Bedingungen hervor, die für die praktische Anwendung unter Berücksichtigung der Rationalität der Herstellung massgebend sind.

## K nové sférometrické metóde

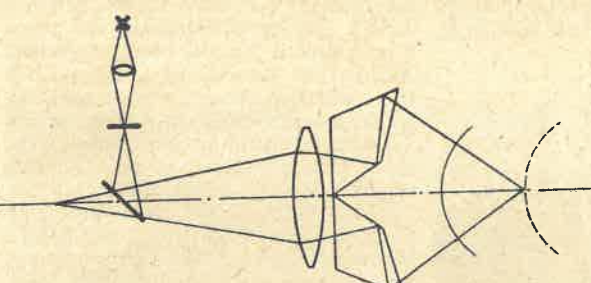
Lektor: Dr J. Ondra

Článok informuje o novém autokolimačním způsobu měření poloměru křivosti optických ploch. K zvýšení přesnosti je paprskový svazek rozdělen ve dva pomocí zrcátek. Aby se dosáhlo přesné koincidence odražených svazků, vkládá se do chodu paprsků polarizační destička.

Na 52. zasedání Německé společnosti pro užitou optiku v Lázních Kreuznachu (Německá spolková republika) ve dnech 16. a 17. května 1951 referoval G. Rosenthal o nové sférometrické metodě navržené G. Frankem. Podle způsobu, jakým je metoda popsána, se zdá, že v době zasedání nebyla vyzkoušena a snad ani do důsledků promyšlena. Vytiskný popis [1] je kusý a na jeho základě není snadné rekonstruovat autorovu myšlenku. Ale Frankeho podnět je závažný a zaslouží si pozornost.

Navržený způsob měření poloměru křivosti navazuje na známou autokolimační metodu tím, že záleží také na změně vzdálenosti mezi vrcholem měřené kulové plochy a jejím středem křivosti, při čemž polohy obou bodů se určí opticky. Rozdíl je v hledisku, když optický dotyk dosáhl některého z obou bodů. V případě autokolimačního sférometru je jím ostrost obrazu testové značky, v nové metodě splynutí dvou obrazů značky. Z toho je patrné, že zařízení k měření poloměru křivosti podle návrhu G. Frankeho se skládá v podstatě ze dvou částí, schopných vzájemné přímočaré translace; s jednou z nich je pevně spojen vzorek, s druhou měřící (nastavovací) mikroskop. Podélne měřítka je na pevné části, odcítací mikroskop na pohyblivé části.

Nastavovací mikroskop je zařízen na způsob autokolimačních optických přístrojů. V příčném rameni tubusu je vhodně osvětlená testová destička s čárkou, opticky sdržená přes  $45^\circ$  deskou s předmětovým bodem mikroskopu. Paprskový svazek od středu testové destičky (středu čárky), prošlý objektivem, je rozdělen čárou, rovnoběžnou s testovou čárkou, na dvě části (obr. 1) se samostatným chodem paprsků. Oba dílčí svazky projdou hranolovým zařízením, jehož účelem je odchýlit pomocí odrazů na rovinových plochách optickou osu do dvou různých přímech, protínajících se ve společném předmětovém bodě. Když se tento bod kryje s vrcholem nebo středem křivosti vzorku, pozorujeme v zorném poli mikroskopu jednu ostrou čárku; je-li pouze v blízkosti některého z obou bodů, pozorujeme dvě neostré čárky.



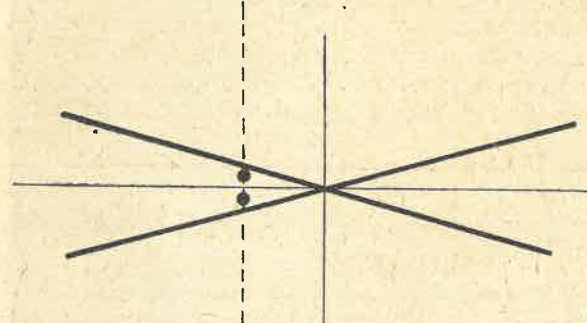
Obr. 1

Tento princip je v návrhu G. Frankeho ještě zdokonalen. Dílčí paprskové svazky jsou polarisovány ve směrech vzájemně kolmých a zorné pole je rozděleno svým průměrem, kolmým na směr obrazu testové čárky, na dvě části, z nichž každá je polarisována shodně s jiným dílčím svazkem. Při takovém zařízení pozorujeme v zorném poli mikroskopu dvě polovice čárky, které se spojují nebo nespoují v jednu. Tento způsob pozorování koincidence je velmi citlivý. Minimální vzdálenost rozlišených úseček je mnohokrát menší než mezi rozlišením oka v obvyklém smyslu.

Poskytuje tedy zavedení tohoto způsobu naději, že se nastavení zpřesní.

U tohoto zařízení způsobuje potíže to, že při nastavení na vrchol proměřované plochy se po odrazu na ploše vymění cesta obou paprskových svazků, z nichž každý naráží při zpáteční cestě na zařízení, které nepropouští paprsky s jeho směrem polarisace. Franke navrhoje odstranit tuto nesnáz tím, že se při nastavení na vrchol proměřované plochy zařadí „čtvrtvhová deska do paralelního chodu paprsků v objektivu“ čím se „polarizační rovina otočí o  $90^\circ$ “ a paprsky mohou projít na zpáteční cestě až do okuláru. Poněvadž se mluví o otočení polarizační roviny, jde zřejmě o zařazení desky optický aktivní (pravotočivé nebo levotočivé). Potom je patrné, že deska může zůstat zařazena i při nastavení na střed křivosti, poněvadž tehdy se každý paprskový svazek vráti vlastní cestou zpět a otočení polarizační roviny se při zpětném průchodu aktivní deskou vyrovnaná.

Podle popisu není jasné, kam by se deska měla vložit. Rozhodně musí být zařazena do dráhy mezi průchodem prvním a druhým polarisátorem při nastavení na vrchol; výhodné je zařazení do paralelního chodu paprsků objektivu. Když bychom zařadili optický aktivní desku do jedné z cest, nebylo by zobrazení oběma polovinami objektivu stejně a tím by mohly vzniknout chyby. Tato nesnáz se odstraní jedině tehdy, když paralelní chod paprsků obou dílčích svazků bude s hlediska geometrické optiky stejný.



Obr. 2

Této podmínce vyhovíme, když do jedné cesty vložíme pravotočivou desku, která otočí polarizační rovinu o  $45^\circ$  a do druhé levotočivou desku stejně tlustou. Při nastavení na vrchol měřené plochy budou pak paprsky procházet takto: paprsek ze zdroje projde kondensorem a testovou destičkou, odraží se od  $45^\circ$  destičky, projde částí objektivu, polarizačním filtrem, pravotočivou deskou, druhou částí objektivu, odraží se od proměřované plochy a projde druhou částí objektivu, levotočivou deskou, polarizačním filtrem, první částí objektivu,  $45^\circ$  deskou, analysátorem a okulárem. Polarizační roviny filtrů je třeba zvolit tak, aby svíraly s obrazem testové čárky úhel  $45^\circ$  a zvolit takovou polohu, při které se získá více odraženého světla při odrazu na vrcholu proměřované plochy.

Zdálo by se, že takto uspořádaný nastavovací mikroskop je přizpůsoben k zamýšleným měřením. Ve skutečnosti má totiž uspořádání významnou závadu, která může zmařit výsledky snahy měření zpřesnit. Abychom ji odhalili, uvažujme, že paprsky vycházejí ze středu testové čárky v okolí obrazové roviny objektivu při přesné a přibližné koinci-

denci. Při přesné koincidenci vytvoří oba paprskové svazky jediný, přibližně soustředěný svazek se středem v průsečku optické osy s obrazovou rovinou objektivu (obr. 2). Oko při pozorování koincidence akomoduje na obrazovou rovinu objektivu. Ale než dojde k přesné koincidenci, pozorujeme dva obrazy testové čárky, tvořící se mimo obrazovou rovinu objektivu. V takovém případě oko mimo díl akomoduje na rovinu, ve které se tyto dva obrazy vytvoří, t. j. akomodace oka se během přibližné koincidencie neustálí, naopak, pozorování jevu podporuje změny akomodace oka. To má velký význam pro průběh a hodnotu měření. Při nesprávné akomodaci se nesprávně stanoví okamžik přesné koincidencie. Když koincidence nastala, ale akomodační rovina oka nespívá s obrazovou rovinou objektivu (obr. 2), pozorujeme v zorném poli okuláru dva obrazy testové čárky. Stejně se může stát, že dílčí paprskové svazky nespívají v jediný, přibližně soustředěný svazek, ale oko pozoruje jediný obraz čárky.

Tyto úvahy nejsou pouze teoretické. Mohou se opřít o práce českých astronomů z počátku tohoto století. Roku 1903 předložili Nušl a Frič [2] české akademii popis přístroje ke stanovení průchodu hvězdy předepsanou výškovou kružnicí. V tomto přístroji je vstupní pupila objektivu rozdělena na dvě části, z nichž jednou prochází světlo od pozorované hvězdy a druhou světlo od jejího odrazu ve rtuťovém zrcadle. Objektivem se nepozoruje přímo hvězda a její zrcadlový obraz (což by při značné úhlové vzdálenosti obou ani nebylo možné), ale její obrazy, vytvořené odrazem na různých plochách hranolu. Průsečnice odrazných rovin hranolu je v tomto případě dělítkem paprskových svazků. Průchod hvězdy jistou výškovou kružnicí se při tomto uspořádání projevuje koincidencí obou pozorovaných obrazů. Právě při pozorování koincidence byly zjištěny chyby, zaviněné nestálou akomodací oka. Autoři návrhu odstranili tyto chyby tím, že nahradili hranol před objektivem přístroje dvěma zkříženými zrcadly. Při tomto uspořádání je vstupní pupila objektivu rozdělena svislou čarou, takže změna akomodační roviny oka neruší koincidenci ve svislém, pro měření rozhodujícím směru.

Chceme-li aplikovat stejný princip na Frankeho návrh sférometru, musíme nahradit hranolové zařízení podle obr. 1 zařízením podle obr. 3. Rovina obr. 2 splývá v tomto případě s rovinou, vedenou optickou osou a obrazem testové čárky. Změnu akomodace oka se posunou obrazy testové čárky, pozorované v zorném poli okuláru ve směru svých délek, což nemá vliv na stanovení správného nastavení na vrchol nebo střed měřené kulové plochy.

Teprve po těchto úpravách je návrh G. Frankeho připraven k vyzkoušení v praxi.

#### Literatura

- [1] Rosenthal: Optik 8 (1951), 449–451.
- [2] Nušl, Frič: Bulletin international Česká akademie, 8/1904, 1–63.

Dr B. Jurek: Zur neuen sphärometrischen Methode.

In der vorliegenden Arbeit beschreibt der Verfasser eine neue Methode für die Messung der Krümmungsradien optischer Flächen auf Grund der Autokollimation. Zur Erhöhung der Präzision ist das Strahlenbündel mittels Spiegel in zwei geteilt. In den Strahlengang wird eine Polarisationsplatte eingelegt, um eine volkommene Koinzidenz der zurückstrahlenden Lichtbündel zu erreichen.

#### Automatický nivelační stroj Ertel-INA

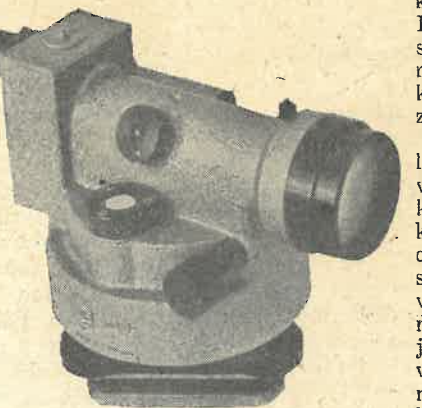
Myšlenka nivelačního stroje byla v němž by se zámerná přímka samočinně stavěla do vodorovné roviny, zaměstnávala konstruktéry geodetických strojů již dlouho a první pokusy je možno sledovat až asi do roku 1680. Tyto pokusy zůstávaly však neúspěšné až do konstrukce automatického stroje Zeiss-Opton z roku 1950. Mimo to jsou ve vývoji automatické stroje Fennel, které jsme zatím viděli jen ve zkušebním provedení. V Itálii existuje velmi dobrý automatický stroj Autolivello, jehož dalekohled není umístěn vodorovně, ale svisle. Nitkový kříž je zavěšen jako kyvadlo, takže se staví automaticky do svislé polohy a po pravoúhlém odrazu v pětibokém hranolu se tedy jedna jeho nit jeví jako přesně vodorovná.

K témuž konstrukcím, které jsou většinou dosti složité a citlivé se nyní přiřadil Ertel-INA (obr.) — vyrábí Ertel-Werk v Mnichově, zal. Reichenbachem, patřící do skupiny inženýrských nivelačních strojů. Stroj má přes malé rozměry (výška pouze 13

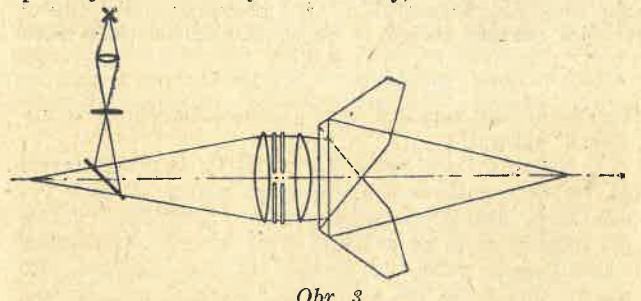
cm, délka dalekohledu 19 cm, váha 2 kg) neobyčejně výkonný analaktický dalekohled s vnitřním zaostřením (průměr objektivu 40 mm, zvětšení 30×) s antireflexní optikou. Proti zmíněným

Novým způsobem je konstruován kompenzátor, uložený v hranaté schránce před okulárem. Je to skleněný hranol, upevněný torsní pružnou osou k stěnám dalekohledu; má pouze 2 pohyblivé a 3 pevné součásti, je tedy konstrukčně jednoduchý a tím odolný. Při naklonění optické osy dalekohledu se hranol stočí tak, že vodorovná zámerná opět padne do středu nitkového kříže. Kompenzátor je odolný proti změnám teploty a nárazům.

Další části stroje jsou: krabicová libela s citlivostí 12', prakticky řešený vodorovný posun s frikcií (bez ustanovení), válcová osa na kuličkovém ložisku (průměr 60 mm). Stroj může být opatřen skleněným děleným kruhem s postřekem limbu; optickým stupnicovým mikrometrem je možno odhadnout 30" nebo 1°. Pokusný model stroje je zcela kapotovaný a podle sdělení výrobce bude dále zlepšen. Dává přesnost asi 2 mm na 1 km dvakrát niveliované trati a výkonem je asi dvakrát rychlejší než stroje klasické. Tato konstrukce by měla být pobídkou našemu myslivnu, aby vytvořil ještě lepší přístroj pro potřeby naší zeměměřické služby, která stojí před velkými a závažnými úkoly.



typum dává obvyklý převrácený obraz předmětu, takže lze použít normálních nivelačních latí. Nejkratší vzdálenost, na kterou můžno zaostřit je 1,5 m, zorné pole je 1, 20°. OEK



Obr. 3

Dr S. MINÁŘ, ÚVOJM, Přerov

620.193:666.22  
17

## Orosování optických prvků

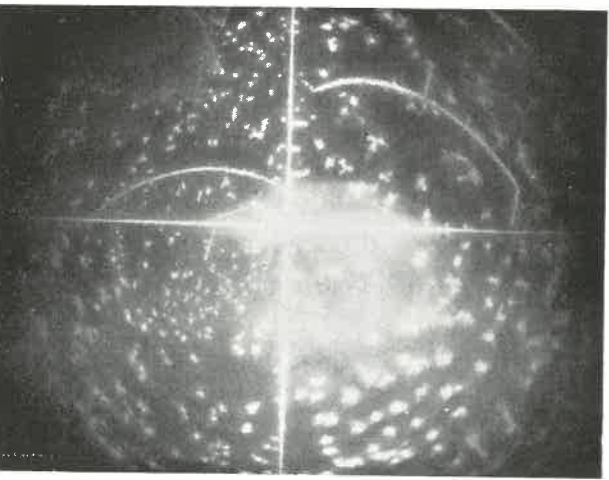
V článku se popisuje zjev orosování, k němuž dochází během uskladnění na leštěných plochách optických stekel v soustavě čoček a na zámerních plotenkách v uzavřených prostorách optických přístrojů.

Jednou z nejvážnějších nesnází při výrobě optických přístrojů je orosování kolektivů a testových plotenek, které vzniká po kratší či delší době uskladnění nebo užívání. Při určitých výrobních pochodech a použitých materiálech může být zhoršen optické účinnosti tak velké, že celá série přístrojů musí být po nějaké době užívání opravena.

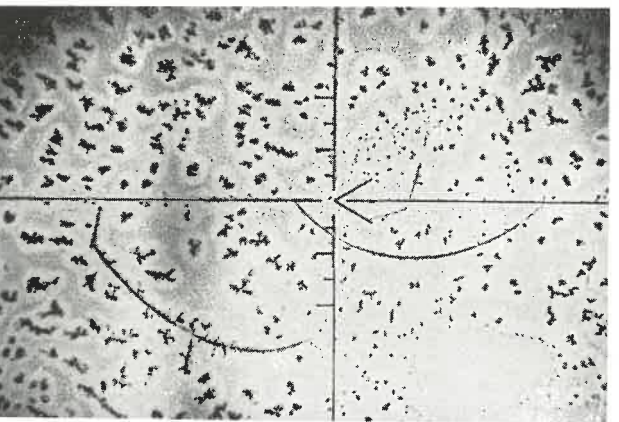
Orosování se stalo za poslední války a po ní jedním z hlavních problémů velkých optických závodů i v technicky vyspělých státech. Je to důsledek materiálových změn a urychlování výrobních pochodek za poslední války.

Použení těmito zkušenostmi stali se odběratelé optických přístrojů náročnějšími, naučili se pozorovat i funkčně celkem nezávadná okrajová orosení a odmítají přijmout přístroje, které by dříve byly pokládaly za jakostní.

Při pozorování prostým okem se orosení jeví jako trvalé modrošedé zamlžení povrchu ohniskových plotenek a čoček. Asi při dvanáctinásobném zvětšení má orosení v polostínu tvar stříbrobílých bodů. Mikroskopie ukazuje složitý charakter útvarek orosení, které je tvoreno pevnými útvary a kapénkami. Pevné útvary orosení jsou sněhobílé, růz-

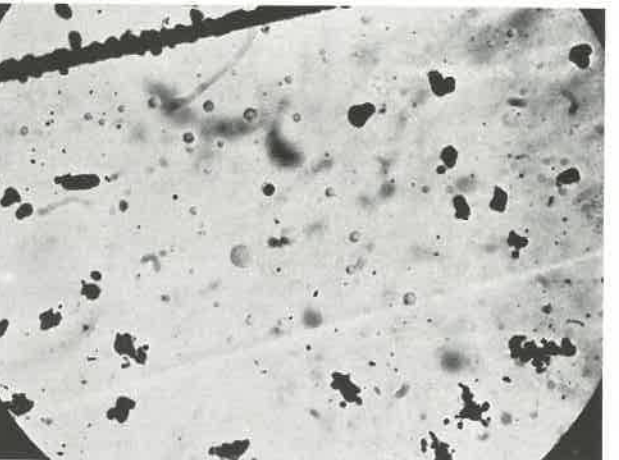
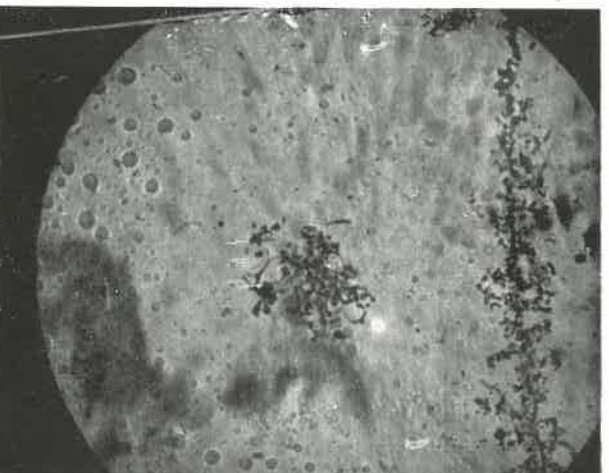


Obr. 2 — Destička z obr. 1 fotografovaná proti temnému pozadí při bočním osvětlení  
(Pevné útvary mají sněhobílou barvu) 13× zvětšeno.



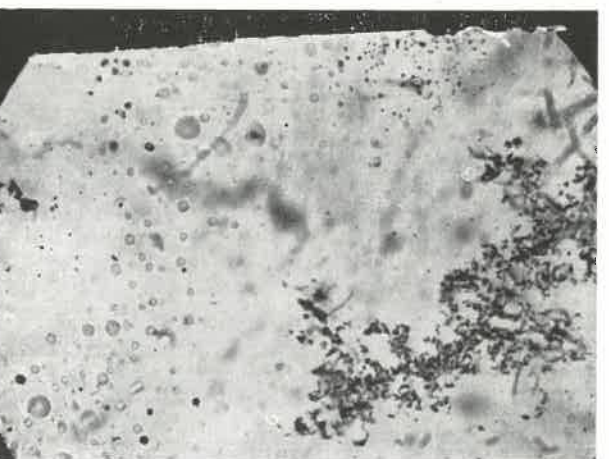
Obr. 1 — Část ohniskové destičky v přihledu

(Soustava černých bodů jsou kapénky, černé obrazce jsou pevné útvary; kolem nich je čistý povrch skla) 13× zvětšeno.



Obr. 3, 4, 5 — Táž testová destička 250× zvětšená

(Na obrázku jsou patrný kapénky a pevné útvary jako kříčky i plošné oválné pevné útvary.)



ného tvaru a velikosti, někdy mají vzhled plísni. V průhledu jsou hnědočerné. Kapénky mají různou velikost, řádově 0,001 až 0,01 mm. V průhledu jsou modrozelené, žlutavé nebo bezbarvé. Modrozelená barva v průhledu je typická pro velmi malé útvary orosení jak kapénkové, tak pevné, což přisuzujeme rozptýlu světla na malých částech. Konsistence kapének je různá od olejovité až po syrupoitou. Pevně útvary a kapénky jsou stálé i na volné atmosféře. Cištěním je lze snadno odstranit, při čemž leštěný povrch skla zůstává zdánlivě neporušen.

Stupeň orosení a rychlosť jeho růstu jsou i u přístrojů též výrobni serie různé, avšak charakter růstu je stejný. Orosení kapénkovitého tvaru se počíná objevovat na okrajích optických prvků u kovových objímek a postupuje ke středu, jsouc časem doplňováno pevnými útvary orosení. Po určité době, která záleží na materiálu a způsobu uskladnění, může se stát přístroj nepoužitelný.

U testových plotének bylo nalezeno též orosení sestavené v přímky, spirály a jiné obrazce. Příčinou takových konfigurací jsou mechanická narušení leštěného povrchu skla a nedokonalost očištění optických ploch.

Минарж С.: Вуалирование оптических элементов.

Объяснение причин явления наблюдаемого иногда на отполированных поверхностях оптических стекол в системе линз и на сетках оптических приборов при их укладке и хранении.

B. KUČERA, Chirana Brno

616—073.75  
778.33

Dr. S. Minář: Die Verschlechterung der optischen Oberflächen.

Der Artikel ist als Einführungsbeitrag für eine Reihe von weiteren Beiträgen gemeint. Es wird hier eine allgemeine Beschreibung der Erscheinung dargestellt, die an polierten Oberflächen optischer Gläser in Linsensystemen und an Strichplatten in geschlossenen Räumen der optischen Instrumente entsteht.

## Použití optiky v nových metodách roentgenové diagnostiky

*Nepřímá skiagrafie jako hlavní oblast roentgenodiagnostiky, v níž se používá optika. Popis jednotlivých metod nepřímé skiagrafie. Popis přístrojů a jejich příslušenství.*

Již v počátcích uplatnění roentgenového záření v lékařství byly zavedeny dvě základní vyšetřovací metody: roentgenové prosvěcování (skiaskopie) a snímkování (skiagrafie). Princip obou metod je podobný. Při prosvěcování dopadá roentgenové záření, vycházející z bodového ohniska lampy, na prosvěcovací štit s fluorescenční folií, kde se mění ve viditelné světlo. Před dopadem na štit prochází záření vyšetřovanou částí pacientova těla, jehož orgány je podle svého složení různě absorbuje, takže průchozí záření vytvoří na prosvěcovacím štitu stínový obraz. Snímkování je podobné, záření však dopadá místo na prosvěcovací štit na kasetu se speciálním filmem, vloženým obvykle mezi dvě zesilovací fluorescenční folie.

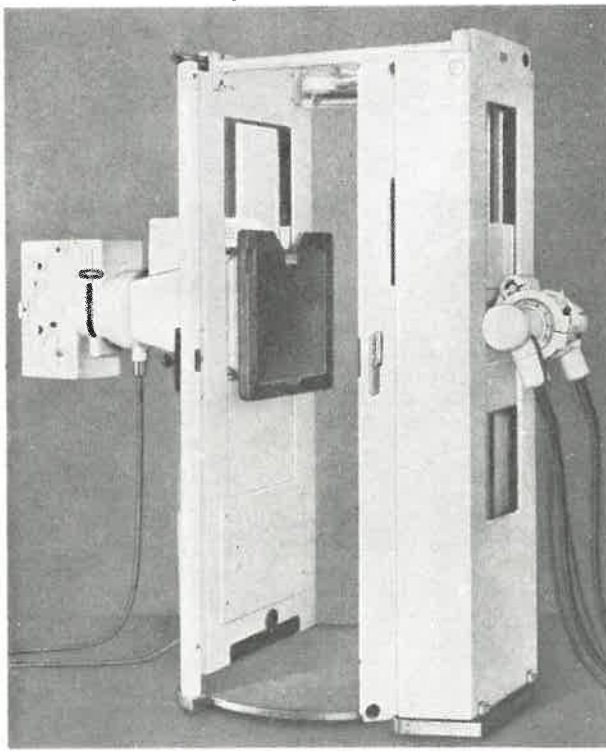
Obě metody mají výhody a nevýhody. Výhodou skiaskopie je bezprostřední pozorování obrazu bez zdržení a možnost přímého pozorování pohybu orgánů (plic, srdce, žaludku). Nevhodou je poměrně značná dávka škodlivého

větší intenzity záření než při prosvěcování, asi takové, jako při přímém snímkování. Fotografická komora je spojena s prosvěcovacím štitem tubusem, který má tvar dutého komolého jehlanu. Tubus vymezuje vzdálenost mezi fluorescenční folií a komorou. Komora je justována pevně na vzdálenost fluorescenční folie. Regulační clona ani závěrka není nutná, poněvadž se exponuje spínáním elektrického proudu v obvodu napájecího zdroje pro lampu.

Princip nepřímého snímkování je znám již velmi dlouho, jeho výhod se však počalo v širším měřítku využívat teprve asi před patnácti lety. Z počátku bylo snímkováno komorou běžného provedení (na př. Leica) s objektivem se světlenností 1:1,5 na normální kinofilm 35 mm a formát snímků byl upraven na 24×24 mm. Při této světlennosti bylo dosahováno stejně dlouhých exposic jako při přímém snímkování.

Takto upravenými přístroji byly hromadně vyšetřovány plice v akcích pro potírat tuberkulosy. Přes značnou nedokonalost tohoto zařízení se podařilo alespoň roztrídit vyšetřované osoby na zdravé a podezřelé z plicní tuberkulosy. Podezřelé případy pak byly vyšetřovány dále buď skiaskopicky nebo přímým snímkováním. Tím byly dány základy k praktickému využití nepřímé skiagrafie a záhy byly oceněny její velké přednosti. Není to jen úspora filmového materiálu, která je prvním předpokladem k umožnění hromadného vyšetřování, ale také urychlení práce, které umožnilo vyšetřit až několik set osob za hodinu, a snadné archivování snímků malého formátu.

Velký pokrok v oboru nepřímé skiagrafie nastal však až v posledních pěti letech, kdy byly vykonstruovány speciální komory s objektivy s velikou světlenností při větším formátu snímků. Snímků poněkud většího formátu (63×63 mm) na filmovém pásu 70 mm širokém jsou diagnosticky mnohem cennější, při čemž rozdíl v ceně



Obr. 1 — Kabinové roentgenové zařízení pro nepřímou skiagrafii plic

filmového materiálu ve srovnání s kinofilmem 35 mm je ještě únosný. Větší světlennost objektivu způsobila, že moderní přístroje pro nepřímou skiagrafii vyžadují asi dvakrát větší expozici než přímé snímkry. Tím se značně zvýší ostrost snímků pohyblivých orgánů a podstatně se sníží dávka škodlivého záření pro obsluhu i pacienta. Tyto přednosti způsobily, že nepřímou skiagrafii se hromadně nevyšetřují jen plice, ale že se uplatňuje i v roentgenové tomografii, angiografii a u běžných kontrolních snímků kostních. Lze počítat s tím, že ve většině případů zcela nahradí přímé snímkry v chirurgii a ortopedii. Nejnovější druh skiagrafické techniky — roentgenová kinematografie — není bez nepřímé skiagrafie uskutečnitelná.

Moderní roentgenové zařízení pro nepřímou skiagrafii plic se většinou staví jako převozné nebo se vestavuje do ambulantního autobusu. Nejčastěji je kabinové, aby zaručovalo dokonalou ochranu před roentgenovým zářením. Kabina je vyložena olovem a okénka, nutná pro pozorování pacienta, jsou z olovnatého skla. Kabina je průchozí — snímkované osoby při hromadném vyšetřování se seřadí u jedných dveří a druhými po snímkování odcházejí. Roentgenový přístroj bývá blokován tak, že nelze snímkovat, pokud obojí dveře nejsou zavřeny. Na otevření dveří bývá někdy mechanicky vázán posun filmu v komoře. Štit a lampa jsou posuvné ve svíslém směru, obvykle motoricky, nebo je výška štitu a lampy fixní a pacient je zvedán na motoricky poháněné lavičce.

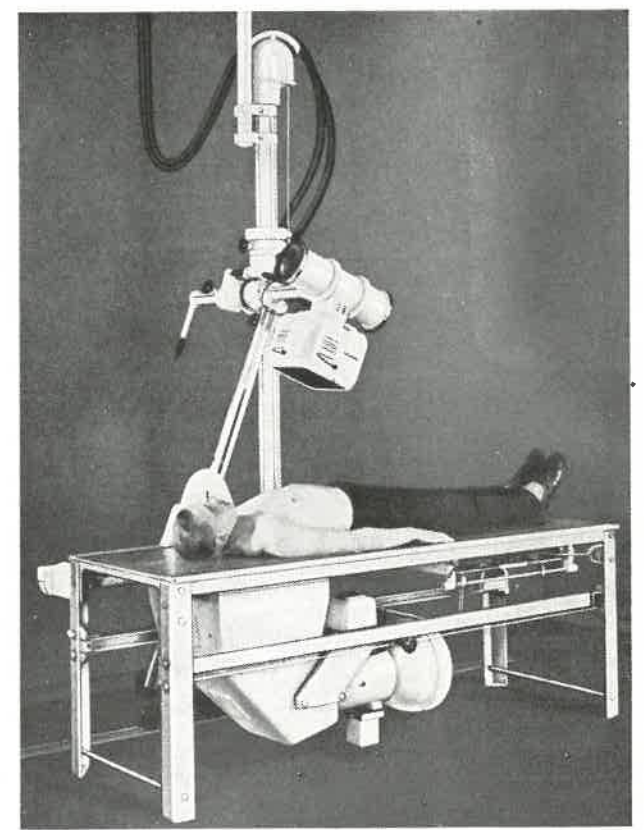
Komora má nyní obvykle objektiv se světlenností 1:0,75 až 1:1,2; snímkuje se na pás 70 mm široký. Cívka filmu obsahuje zásobu na 40 až 600 snímků. Film se po každé expozici posouvá automaticky a je možno jej po libovolném počtu zhotovených snímků odříznout a využít. Spotřebování zásoby filmu přístroj signalizuje a snímkování blokuje. O zásobě filmu je možno se přesvědčit i na počítadle snímků.

Důležité je označení jednotlivých snímků, aby bylo možno zjistit, kterému pacientu snímek přísluší. Obvyklý způsob je ofotografování záhlaví osobního štítku pacienta na okraj filmu. Štítek přináší každý pacient s se-

bou až k přístroji; teprve před snímkováním se štítek zasune do držáku na tubusu komory.

Aby práce byla co nejvíce automatizována, jsou moderní přístroje vybaveny zařízením pro automatické stanovení expoziční doby se zřetelem k různému stáří a tloušťce pacienta. Nejčastěji se expoziční doba řídí fotonkou s násobičem elektronů, vestavěnou do snímkovacího tubusu. Fotonka měří světelný tok vyzařovaný fluorescenční folií, pomocné zařízení integruje množství světla. Jakmile dosáhne hodnoty vhodné pro správné zčernání filmu, dává impuls ke skončení expozice. Film musí být citlivý na barvu fluorescenční folie, obvykle žlutozelenou s vlnovou délkou asi 5300 Angströmů (na př. Agfa-Fluorapid).

Na obr. 1 je kabinové roentgenové zařízení pro nepřímou roentgenovou skiagrafii vyroběné v Německé demokratické republice. Otevřenými dveřmi kabiny je vidět fluorescenční štit, spojený tubusem s komorou Zeiss, umístěnou vně kabiny. Na vrchní stěně tubusu je skřínka s fotonkou a zesilovačem pro řízení expoziční doby. Na zadní stěně kabiny je lampa s rotační anodou.

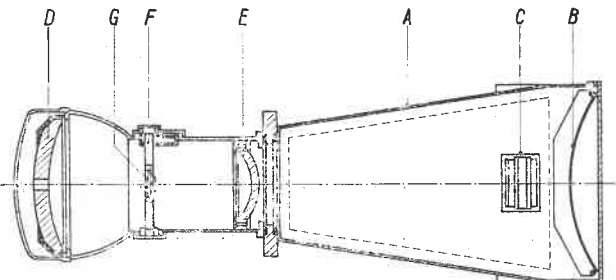


Obr. 2 — Roentgenové zařízení pro tomo-fluorografii

### Roentgenová tomo-fluorografie

Zhotovování vrstvových snímků (roentgenová tomografie) je jednou z novějších metod roentgenové diagnostiky. Od normální skiagrafie se liší tím, že lampa a kaseta s filmem se během snímkové expozice pohybují vzájemně na opačnou stranu a jsou spojeny tyčí, kýtavící kolem osy, která v myšleném prodloužení prochází snímkovaným místem pacientova těla. Takto provedený snímek zobrazuje jen určitou tenkou vrstvu pacientova těla, rovnoběžnou s rovinou filmu. Poloha této vrstvy je dána polohou osy kyvadla. Ostatní části těla — nad touto vrstvou i pod ní — jsou kyvem rozmařány a na snímku se neobjeví. Při této metodě je nutno často zhotovit na pacientovi celou řadu snímků v různých polohách snímkované vrstvy. Pro úsporu filmu se u takového vyšetřování uplatní nepřímé snímkování, t. v. tomo-fluorografie, při

které je kasa s filmem nahrazena fluorescenčním štítem a speciálně upravenou komorou. Na obr. 2 je zařízení pro nepřímé tomografické snímky ležícího pacienta, vyráběné firmou Siemens (komora Odelca s lomeným tubusem).



Obr. 2 — Vodorovný řez komorou Odelca III U  
A — tubus, B — fluorescenční štít, C — držák kaset, D — zrcadlová optická soustava, E — korekční čočka, F — kasa pro film, G — citlivá vrstva filmu

#### Angiografie

Další skiagrafickou metodou pro snímkový záznam kontrastní látky, nastríknuté do krevního oběhu a probíhající srdcem nebo cévami, je angiografie. Při tom je nutné, aby snímky, exponované obvykle současně ve dvou na sebe kolmých rovinách, následovaly rychle po sobě, aby bylo dosaženo 4 až 12 snímků za vteřinu. Snímkování při angiografii srdce trvá celkem zhruba 4 vteřiny a zhotoví se při něm až 36 snímků. Při vyšetření přímo snímkovací technikou se spotřebuje značné množství filmového materiálu a výměna filmu formátu 24 × 30 až 35,6 × 35,6 cm je při těchto rychlostech technicky obtížná. Proto se i při angiografii někdy používá nepřímé skiagrafie, i když dosud nedává diagnosticky stejně kvalitní snímky jako angiografie přímá.

#### Komory pro roentgenovou kinematografii

Roentgenová kinematografie používá komory odlišné od předcházejících a pracuje s normálním filmovým pásem 35 mm širokým. Pro zpomalené promítání se již běžně dosahuje 40 až 50 snímků za vteřinu. Největším problémem této metody je silná dávka záření pro pacienta, proto se zatím používá jen k vedeckým pracím, nikoliv k běžnému vyšetřování.

K moderním komorám pro nepřímou roentgenovou skiagrafii patří zejména:

Značka	Druh optické soustavy	Světlost	Šířka filmového pásu, mm	Rozměr obrazu, mm
Odelca	zrcadlová	1 : 0,75	70	63 × 63
Voigtländer	čočková	1 : 0,95	70	63 × 63
Super-R-Nokton	čočková	1 : 1,00	70	63 × 63
Zeiss	čočková	1 : 1,17	45	40 × 40
Philips	zrcadlová	1 : 0,95	35, neperfórován	31 × 31
Siemens	čočková	1 : 0,95	35, neperfórován	31 × 31
Roentgener	čočková	1 : 0,95	35, neperfórován	31 × 31

Z těchto komor je nejdokonalejší holandská komora Odelca, která je také v nových zařízeních pro nepřímou

Kuchera B.: Применение оптики при новых методах рентгенодиагностики.

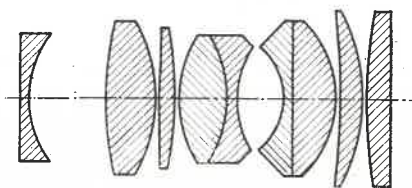
Косвенные методы скаграфии являются главной областью рентгенодиагностики применяющей оптические элементы. В статье описываются отдельные методы косвенной скаграфии, соответствующие приборы и их принадлежности.

skiagrafii nejrozšířenější. Ohnisková vzdálenost objektivu je 165 mm a rozlišovací schopnost dosahuje 30 čar na 1 mm. Schematický řez touto komorou je na obr. 3. Z obrázku je patrné, že fluorescenční folie, na níž obraz vzniká, je prohnutá. Speciální komora pro roentgenovou tomografii má rovnou folii i za cenu poněkud zhoršené ostrosti snímku. Prohnutí by totiž vadilo tomografické projekci. Jiný typ této komory má tubus lomeného tvaru se šíkmým zrcadlem, takže je mnohem kratší a lze ji monтировat pod snímkový stůl. Komora je vybavena několika druhy kaset, bud' pro jednotlivé snímky nebo s filmovým pásem, s ručním nebo motorickým ovládáním a zásobou filmu až na 350 snímků. Speciální kasa pro angiografii poskytuje rychlou výměnu filmu a umožňuje až 6 snímků za vteřinu.

Z ostatních komor stojí za zmínku komora nejnovější výroby s čočkovou optickou soustavou s vysokou světlostností. Jsou to komory Zeiss a Voigtländer. Snímky obou komor mají formát 63 × 63 mm.

Komora Zeiss (obr. 1) má čočkový objektiv R-Biotar se světlostí 1 : 1, f' = 120 mm. Vtipně vyřešený posun filmu je vázán na zasunutí držáku pacientova štítku.

Komora Voigtländer má objektiv Super-R-Nocton se světlostí 1 : 0,95, f' = 120 mm. Schematický řez optickou soustavou tohoto objektivu je na obr. 4. Vysoká světlostnost objektivu má velké nároky na vedení filmu, které musí zaručovat správnou vzdálenost filmu od objektivu s přesností nejméně 0,01 mm. Toho se dosahuje přitisknutím citlivé vrstvy na rovinou plochu speciální čočky, po které je film veden.



Obr. 4 — Schematický řez optickou soustavou Super Nocton (1 : 0,95, f' = 120)

#### Závěr

Pojednání zdaleka nevyčerpává všechny druhy optických zařízení pro nepřímou roentgenovou skiagrafii. Nepřímé snímkování není také jediným využitím optiky v roentgenové diagnostice. Optika se uplatňuje na roentgenových zařízeních stále častěji i na projekčních a centrálních zařízeních a při vyhodnocování snímků. Další uplatnění je v zesilovacích skiaskopickém obrazu, které umožňují pozorovat i za denního světla v nezatemněné místnosti. Výzkum těchto zesilovačů je však zatím v počátcích, i když se již řady těchto přístrojů prakticky používají, zejména v cizině. Československý průmysl roentgenových přístrojů, který se snaží držet krok se zahraničním vývojem, bude potřebovat značnou pomoc optického průmyslu. Zařazení tohoto oboru do výzkumných prací v oboru optiky je již nyní velmi naléhavé. Zavedení výroby nových roentgenových zařízení podporí náš zahraniční obchod a pomůže zlepšit zdravotnickou péči.

B. Kučera: Verwendung der Optik in neuen Methoden der Roentgen-Diagnostik.

Der Verfasser beschreibt einzelne Methoden der indirekten Skiagraphie, bei welcher das an dem Fluoreszenzschilde entstandene Bild auf normalen Filmstreifen fotografisch aufgenommen wird. Es werden typische Geräte und ihr Zubehör beschrieben.

Ing. J. PAJTL—J. POLECHA, Chirana Praha

## Fotooptický záznam u elektrobiologických přístrojů

Nejběžnější elektrodiagnostické přístroje. Požadavky na záznamové zařízení. Různé druhy zapisovacích a zaznamenávacích zařízení. Systémy s přímým zápisem, obrazové elektronky, systémy fotooptické. Galvanoměry používané u elektrokardiografů. Různé způsoby projekce reakce galvanoměru.

Elektrodiagnostické přístroje, které snímají a registrují průběhy elektrických potenciálů jednotlivých orgánů lidského těla, nacházejí v lékařství stále větší rozšíření. Živé organismy se totiž projevují elektromotorickými podněty, kterými regulují buď činnost vlastní nebo činnost jiných orgánů. Z průběhu a tvaru těchto potenciálů je možno soudit na správnou nebo vadou funkci té části.

Nyní se používá v lékařství především těchto záznamových přístrojů:

elektrokardiografu (EKG), který registruje křivky akčních potenciálů srdece,

elektroencefalografu (EEG), který zaznamenává elektrické podněty mozku a jeho reakce na vnější dráždění,

elektromyografu (EMG), který registruje činnostní proudy a potenciály svalové,

fonokardiografu (FKG), který zapisuje akustické projekty srdeční (ozvy a šestesty),

tonografu (TG), který snímá průběhy krevního tlaku v srdci, cévách a žilách,

pletysmografu (PG), který zaznamenává objemové změny orgánů lidského těla.

U všech těchto přístrojů je podstatnou částí záznamové ústrojí, na něž se podle druhu přístroje klade různé nároky. Důležitá však jsou zejména tři hlavní hlediska:

1. citlivost,

2. frekvenční rozsah,

3. skreslení.

1. Citlivost se udává v mikroampérech nebo mikrovoltech na 1 cm výchylky. Slabé, lze říci nepatrné potenciály a proudy organismu je totiž nutno registrovat v dosatečně velkém měřítku, aby podle záznamu mohl být zpracován rozbor jejich funkce.

2. Nutný frekvenční rozsah pro různé přístroje není stejný. Pro elektroencefalograf stačí rozsah do 100 c/s, u EMG se horní kmitočtová mez pohybuje kolem 1500 až 2000 c/s. Vlastní kmitočet systému musí být tedy vyšší, než je tato horní frekvence, a je dán velikostí jeho kmitajících hmot.

3. Všechny kmitočty nutného rozsahu musí být registrovány se stejnou amplitudou; nesmí vzniknout amplitudové skreslení a aby byl záznam věrný, v zařízení nesmějí vznikat nové kmitočty, které v původním průběhu nebyly. Na amplitudové skreslení má podstatný vliv frekvenční vzdálenost horní kmitočtové meze od vlastního kmitočtu; na př. u elektrokardiografu je pro rozsah do 200 c/s nutný vlastní kmitočet kolem 500 c/s.

Pro pochopení celého problému je nutné zmínit se o registračních systémech, i když první dva vůbec optiky ne používají.

Jsou to:

a) systémy píšící přímo,

b) obrazové elektronky,

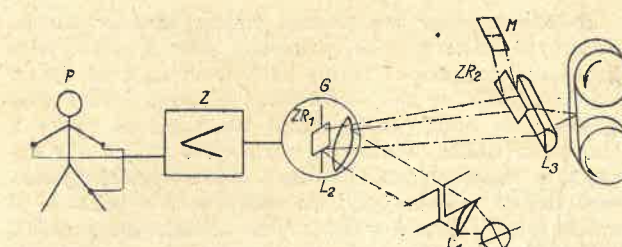
c) galvanoměr strunový a zrcátkový.

a) Systému píšící přímo se v poslední době používá stále více a bylo jich využito mnoho druhů. Všechny mají společnou vlastnost, že nezaznamenávají fotografickou cestou. Píše se přímo na běžící pásek a záznam je proto ihned viditelný.

Je několik způsobů zaznamenávání: žhavým hrotom na papír s voskovou vrstvou, speciálním trubičkovým pisátkem, upevněným na robustním elektrickém systému, které píše inkoustem na papír nebo svazkem infračervených paprsků na zvlášť chemicky upravený papír. Švédská firma „Elema“ využívá systém, u kterého se pod tlakem stříká tryskou zvláštní tekutina na chemický papír. Toto zařízení má výhodu ve své malé hmotě, která naopak vadí, stejně jako tření hrotu o papír, u trubičkového a žhavého pisátka.

b) Obrazové elektronky se používají především u přístroje zvaného kardioskop. Jak už samo jméno říká, jde o přímé pozorování akčních potenciálů srdece, které se na obrazovce projeví jako světelná stopa tvořící křivku. Jde-li o její registraci, připevňuje se před stínítko obrazovky filmová kamera, která křivku fotografové. Je zde tedy použito fotografického záznamu, ten však tvoří jen doplněk přímého pozorování.

c) Pro trvalé záznamy u registračních lékařských přístrojů se stále ještě převážnou většinou používají fotooptické systémy, a to hlavně u přístrojů, které vyžadují vysoké regulační frekvence. Již Holandec Einthoven, který sestrojil první prakticky použitelný elektrokardiograf, pracoval se strunovým galvanoměrem; tento systém, ovšem značně zdokonalený, je ještě možno vidět na některých kardiologických pracovištích. Jeho podstavou je silný magnet. Mezi póly je napojeno platinové nebo postříbřené skleněné vlákno asi 8 cm dlouhé a 2 až 3 tisíce mm tlusté. Ze světelného zdroje dopadá na vlákno optický soustředěný svazek a stín vlákna se promítá projekčním mikroskopem příčnou šterbinou na běžící, velmi citlivý fotografický papír. Slabé činnostní proudy srdece (asi 1 až 5.10<sup>-7</sup>A), vedené do struny (vlákna), ji vychylují v silném magnetickém poli. Citlivost galvanometru se řídí napínáním struny.



Obr. 1

Nevýhodou strunových galvanometrů je, že odebírají z pacientova těla činnostní proudy a tím do jisté míry skreslují průběh potenciálních změn. Jsou velmi citlivé na otřesy a jejich optická část je drahá.

S vývojem elektroniky (elektronkových zesilovačů) byla umožněna konstrukce robustních a spolehlivých galvanometrů zrcátkových, kterých se u moderních přístrojů s fotooptickým záznamem všeobecně používají. Jsou to galvanometry: smyčkový, dynamický, magnetický a piezoelektrický. V podstatě mají všechny stejnou optickou soustavu.

Průběh regulačního postupu si vysvetlíme na příkladu jednosvodového elektrokardiografu (obr. 1):

Elektrické srdeční akční potenciály, sejmouté elektrodami s povrchu pacientova těla  $P$ , se vedou do zesilovače  $Z$  a zesílené ovládají galvanoměr  $G$ , který se v jejich rytmu vychyluje. Zrcátkem  $ZR_1$  nalepeném na jeho pochyblivé části se odrážejí paprsky světelného zdroje  $S$ , soustředené ve svazek kondensorem  $L_1$  a promítají se válcovou čočkou  $L_2$  na běžící fotografický papír  $FP$ . Část svazku dopadá na zrcátko  $ZR_2$ , od něhož se odráží na matnici  $M$ , sloužící k přímému pozorování biologického děje. Optická soustava je jednoduchá a poměrně nemáročná, což je velkou výhodou při její justáži především u přenosných přístrojů.

Protože galvanoměr je v této soustavě velmi důležitým prvkem, probereme si jednotlivé typy:

U galvanoměru smyčkového je mezi póly silného magnetu napjata smyčka z nemagnetického kovu, na níž je nalepeno zrcátko. Přivedeme-li do smyčky proud z výstupu zesilovače, vychylí se rovina smyčky podle Flemingova pravidla levé ruky. S ní se vychylí i zrcátko. Nevýhodou je poměrně malá citlivost.

Aby se citlivost zvětšila, byl vyvinut galvanoměr dynamický, založený na stejném principu jako předešlý, jenž místo smyčky, která tvoří vlastně jeden závit vodiče, používá lehké cívečky s mnoha závity, zavěšené mezi póly magnetu. Výhodou je větší citlivost, nevýhodou hmota cívečky, která brání zvýšení záznamového kmitočtu.

Velmi dokonalý je galvanoměr magnetický. Mezi póly magnetu je napjat pružný pásek z nemagnetického materiálu, na němž je nalepen tenký ocelový pásek, rozměru  $3 \times 3$  mm se zrcátkem. Pod ocelovým páskem je cívka s mnoha závity (až 20 000), do níž se přivádí zesílené akční proudy. Pásek tvoří můstek v magnetickém obvodu magnetu. Působí-li naň magnetické pole vyvolané cívkou, vychyluje se — a s ním zrcátko — v rytmu proudů protékajících cívkou. Systém je poměrně jednoduchý, chráněný proti otřesům, je elektricky citlivý, a má malou vychylovanou hmotu, takže zaznamenává frekvence až do 800 c/s. Byl uplatněn i u československého elektrokardiografu Chirana Elcabetu.

Galvanoměr piezoelektrický se vyskytuje u přístrojů poměrně zřídka. Využívá piezoelektrického jevu, t. j. deformace krystalu Seignettovy soli přivedením elektrického napětí na jeho polepy. Je elektricky citlivý, nemá spotřebu proudů, je však křehký, tepelně závislý a citlivý na vlnky.

U galvanoměrových soustav se používá dvou projekčních způsobů:

#### a) Zobrazování vlákna.

Světelnou stopu tvoří obraz vlákna žárovky zdroje. Vodorovná válcová čočka, postavená před žárovku, vrhá široký světelný pás do roviny galvanoměru, obraz vlákna v jeho zrcátku se opět vodorovnou válcovou čočkou soustředí na běžící papír. Záleží zde velmi na tvaru a rozměrech vlákna. Vlákno je mimo střed baňky, aby nevznikaly reflexy (dvojitá stopa). Technologické zpracování vlákna je obtížné, systém však má tu výhodu, že je možno použít jednoho zdroje pro několik galvanoměrů (několikazážnamové přístroje). Jsou tu ovšem značné světelné ztráty — zdroj musí být více dimenzován.

Пайтл И.—Полеха Я.: Фотооптическая запись у элекробиологических аппаратов.

Описание главнейших аппаратов применяемых при электродиагностике. Требования предъявляемые к записывающему устройству. Разные виды записей и изображений. Самопищущие приспособления, кинескопы, фотооптические устройства.

#### b) Zobrazování štěrbiny.

U Elcabety Chirana se používá tohoto systému: Svazku paprsků žárovky soustředěnému kondensorem je stavěna v cestu úzká svislá štěrbina, která omezuje jeho šířku ve vodorovném směru. Obraz prosvětlené štěrbiny se promítá stejným způsobem jako u předchozího systému vodorovnou válcovou čočkou na papír, kde tvoří bod. Tento systém není tak choulostivý na tvar vlákna žárovky, baňka netváří reflexy, štěrbina omezuje rozptyl světla a tedy i odraž od lesklých součástí. Jeho nevýhodou je potřeba samostatného světelného zdroje pro každý jednotlivý galvanoměr.

#### Optika Elcabetky.

1. Žárovka je umístěna v lampové skřínce tvaru trubky  $\varnothing 24$  mm, 50 mm dlouhé. V tubusu zasunutém do trubky je kondensor (plankonvexní spojka s  $f' = 200$  mm) a štěrbina široká 0,3 mm. Žárovka musí mít rovné vlákno, aby celá štěrbina byla rovněž prosvětlena. Proud 0,5 A, 2,5 V.

2. Čočka galvanoměru je bikonvexní spojka s ohniskovou vzdáleností 33 mm a  $\varnothing 13$  mm. Reflexy od její zadní stěny působily potíže a byly odstraněny vhodným skloněním čočky.

3. Zrcátko galvanoměru je skleněné, má rozměry  $2 \times 1$  mm a tloušťku 0,1 mm. Musí být naprostě rovinné, a podmínkou je malá váha. Zrcátko je přitomeno k ocelovému pásku. Výhodně by bylo ocelové zrcátko, které by zároveň tvořilo součást magnetického obvodu; tím by se změnila hmota, protože ocelový pásek by odpadl.

Při konstrukci jsme měli potíže s rovinností zrcátkata, které se po nalepení prohýbalo a stopu nebylo možno zaostřit. Je to otázka vhodného tmelu.

4. Válcová čočka promítající obraz na papír má rozměry  $7 \times 70$  mm,  $f' = 15$  mm. Musí být přesně broušena, jinak by záznam po celé šířce papíru nebyl stejně ostrý.

5. Čočka galvanoměru je odchylovaná páskovým zrcátkem ( $1,5 \times 10 \times 70$  mm) na matnici s vyrytou nebo vyleptanou stupnicí s délkou po 5 mm. Aby matnici nevnikalo na citlivý papír vnější světlo, musí být matnice rubínově zbarvena. U prototypové serie jsme podkládali pod matnici rubínový celuloidový filtr.

#### Závěr

Optika u systému se zrcátkovými galvanoměry není konstrukčně ani výrobně příliš náročná. Potíže způsobuje žárovka s rovným vláknem a výbrus dlouhé válcové čočky. Mnohem nesnadnější je konstrukce a výroba vlastního galvanoměru, aby splňoval podmínky malých kmitajících hmot, elektrické citlivosti a rovinnosti zrcátkata při jeho malé tloušťce.

Článek zdáleka nevyčerpává tematiku a omezuje se jen na povšechný přehled registračních soustav. Jeho účelem je pobídnout pracovníky ve výzkumných ústavech a vývojových útvarech k hledání nových možností zápisu biologických jevů, především systémy pišícími přímo, z nichž dosud žádný (až snad na systém „Elema“) nesplňuje předpoklady pro záZNAM vyšších frekvencí.

Ing. J. Pajtl—J. Polecha: Fotooptische Registration bei elektrobiologischen Geräten.

Es werden im kurzen die gründlichen Charakteristiken der wichtigsten elektrodiagnostischen Instrumente und verschiedene Typen der Registriervorrichtungen beschrieben.

## Měření rozlišovací schopnosti fotografických objektivů

Lektor: Dr O. Studený

Fyzikální podstata zobrazení bodu a odvození vztahu pro rozlišovací mez nebo schopnost. Aplikace odvozeného vztahu při praktickém zjištění rozlišovací meze pomocí testů. Stručný popis testů. Podrobnější popis metody měření rozlišovací meze fotografických objektivů pomocí Siemensovy sektorové hvězdy.

Dvou čárek, oddělených mezerou širokou jako čárka, je  $y$ , pak podíl udává počet čárek na mm.

Příklad:

$$y = 0,1 \text{ mm}, R = \frac{1}{y} = \frac{1}{0,1 \text{ mm}} = 10 \text{ čárek/mm.}$$

Vzájemný poměr rozlišovací meze a rozlišovací schopnosti je týž, jako poměr mezi ohniskovou vzdáleností  $f'$  a lámavostí (optickou mohutností)  $\varphi$ :

$$\text{platí totiž } \varphi = \frac{1}{f'}.$$

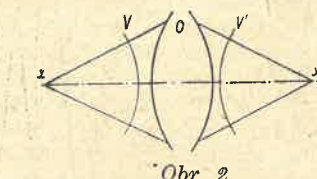
Za jednotku lámavosti byla zavedena lámavost soustavy, jejíž ohnisková vzdálenost je 1 m, takže pro ohniskovou vzdálenost vyjádřenou v mm platí

$$f' = \frac{1000}{\varphi}. \quad (2)$$

Za jednotku rozlišovací schopnosti byla zavedena rozlišovací schopnost soustavy, jejíž rozlišovací mez je 1'. Pro rozlišovací mez  $\varphi$  vyjádřenou ve vteřinách platí:

$$\varphi = \frac{60}{R}. \quad (3)$$

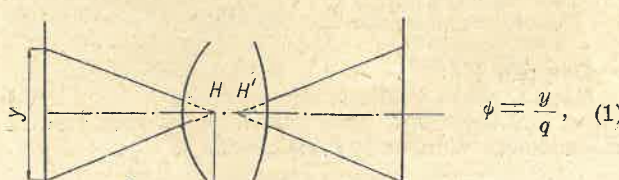
Máme-li rozlišovací mez vyjádřenou ve vteřinách, platí tato hodnota jak pro předmětový, tak pro obrazový prostor, protože předmět i obraz se jeví z příslušných hlavních bodů pod stejným úhlem. Požaduje-li se vyjádření rozlišovací meze v mm v předmětovém prostoru, podle vztahu (1) je  $y = q \varphi$ ; v obrazovém prostoru pak  $y' = q' \varphi$ , kde  $q'$  je vzdálenost obrazu předmětu od obrazového hlavního bodu. Známe-li zvětšení obrazu  $n$  a je-li známa rozlišovací mez  $y$  v předmětovém prostoru, pak v obrazovém prostoru je rozlišovací mez  $y' = n \cdot y$ .



Obr. 2

#### Fyzikální podstata rozlišovací schopnosti

Rozlišovací schopnosti  $R$  fotografického objektivu (a každé optické soustavy) nazýváme převratnou hodnotu rozlišovací meze objektivu. Rozlišovací mezí rozumíme lineární vzdálenost  $y$ , nebo úhlovou vzdálenost  $y'$  dvou bodů předmětu, které objektiv zobrazí odděleně. Je-li  $q$  vzdálenost zobrazovaného předmětu od objektivu (přesněji od předního hlavního bodu soustavy), platí mezi veličinami  $y$  a  $\varphi$  vztah (Obr. 1):



$$\varphi = \frac{y}{q}, \quad (1)$$

takže pro jednotnost stačí brát rozlišovací mez úhlovou. Vyjádříme-li rozlišovací mez, t. j. vzdálenost  $y$ , v mm, pak rozlišovací schopnost  $R$  je  $\frac{1}{y}$ . Provedeme-li naznačené dělení  $1 : y$ , podíl udává, kolik vzdáleností  $y$  se směstná do jednoho milimetru. Předpokládáme-li, že vzdálenost středů

v geometrické optice příslušíme paprskům reálnou existenci a předpokládáme, že tam, kde se paprsky protínají, nastává také zhuštění světla. Proto se fotografické objektivy konstruují tak, aby co nejlépe zobrazily bod jako bod. Zobrazit bod jako bod není možné ani ideálním objektivem, který není zatížen zbytkovými vadami. Úvahy o zobrazení bodu ideálním objektivem a vyrobeným objektivem tvorí základy teorie rozlišovací schopnosti.

Máme ideální objektiv  $O$  (Obr. 2). Z bodu  $X$  na optické osu vychází kulová světelná vlnoplocha  $V$  a dopadá na objektiv  $O$ . Objektiv ji přemíni na vlnoplochu  $V'$ , ale její střed  $X'$  je opačně orientován než střed  $X$  původní vlnoplochy  $V$ . Podle Huygessova principu můžeme považovat všechny body vlnoplochy  $V'$  za nové zdroje vln, které mají svůj původ v bodovém zdroji  $X$  — jsou tedy koherentní a mají stejnou fázi. V bodě  $X'$  a jeho okolí dochází proto k interferenci vln, neboť jsou splněny podmínky pro vznik interference: koherentní zdroj a stejná fáze. Interference se projeví tím, že bod  $X'$  se rozšíří ve světelnou plošku,

která je obklopena střídavě tmavými a světlými proužky. Přesným výpočtem lze zjistit, že poloměr  $r$  centrální jasné plošky je dán vztahem

$$r = 1,22 \lambda c; \quad (4)$$

kde  $\lambda$  je vlnová délka použitého světla (pro bílé světlo  $\lambda = 0,55 \mu$ ),

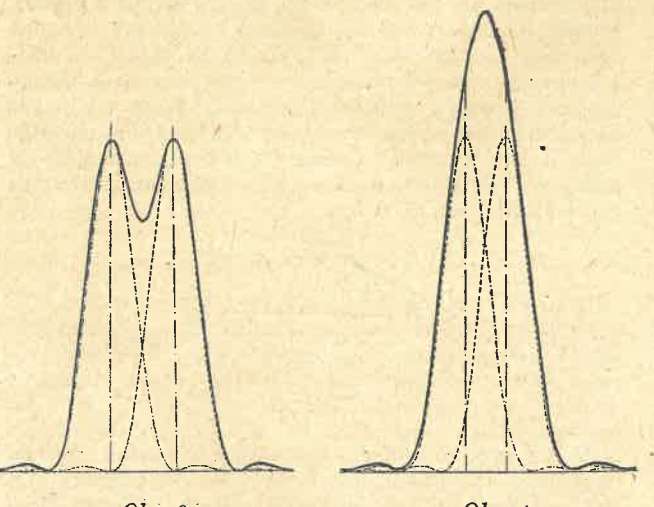
$c$  je clonové číslo.

$$\left( \frac{f'}{D} = \frac{\text{ohnisková vzdálenost objektivu}}{\text{průměr vstupní pupily objektivu}} \right).$$

Z toho je zřejmé, že ani ideální objektiv nezobrazí bod jako bod, ale jako plošku s poloměrem (4). Obraz bodu bude tím menší, čím menší bude clonové číslo  $c$ , t. j. čím větší bude otvor objektivu.

Uvažujeme-li objektiv, který je zatížen otvorovou vadou, je charakter světlé plošky stejný jako u ideálního objektivu a je pouze změněno rozdělení světla; intensita uprostřed plošky je zmenšena a přechází do okolí. Úhrnné množství světla je zachováno. Dokud centrální intensita nelesne pod hodnotu 0,8, považujeme zobrazení za dokonalé. V tomto případě je maximální vlnová úchylka rovna  $\lambda/4$  (kriterium lorda Rayleigha).

Dosavadní úvahy o zobrazení bodu použijeme pro vlastní výklad rozlišovací meze nebo rozlišovací schopnosti. Úsečka je definována jako nejkratší spojnice dvou bodů. Nás zajímá nejkratší možná úsečka, kterou daný objekt zobrazí. Bylo ukázáno, že v obrazovém prostoru je bod vždy představován ohybovou ploškou. Přiblížujeme-li body k sobě, plošky se překrývají. Za předpokladu, že světelná vlnění, která vycházejí z daných bodů, jsou na sobě nezávislá a nekmitají ve stejném rytmu, světelné intenzity se v překrytých částech v každém místě sčítají. Mají být obě plošky zřetelně odděleny, je nutné, aby byla intenzita světla na místech, kde se světelné plošky překrývají, menší než na místech, kde každá ploška má svou největší hodnotu intenzity [1].



Na obr. 3 a 4 je naznačeno rozdělení světla v obraze jednotlivých bodů čerchovaně, rozdělení světla plynoucí z překrytí plošek plně. V obr. 3 jsou body rozlišeny, v obr. 4 nejsou. Body jsou rozlišeny tím spíše, čím je větší vzdálenost jejich maxim. Je-li intenzita obou bodů stejná, potom nejmenší rozlišená vzdálenost je ta, při které padne maximum intenzity jedné plošky na první minimum druhé plošky. Vzdálenost je pak udána vzorcem (4). Je-li vzdálenost maxim menší, nelze obě plošky rozlišit.

#### Rozlišovací schopnost soustavy objektiv — emulze

Při úvahách o rozlišovací schopnosti fotografického objektivu nebyl brán zřetel na vlastní zobrazovací prvek — citlivou emulzi. Rozlišovací mez určená vztahem (4)

platí pro vzdušný obraz. Při kombinaci objektiv — emulze existuje několik činitelů, které ovlivňují jakost zobrazení a vlastní rozlišovací schopnost. Jedním z velmi důležitých činitelů je rozlišovací schopnost samotné emulze.

Každá běžně užívaná fotografická emulze, ať už je nanesena na skleněné desce nebo celuloidovém filmu, vyznačuje se určitou zrnitostí. To znamená, že stříbro, které je v neosvětlené a nevyvolané želatinové vrstvě rozptýleno ve formě halových solí ( $\text{AgBr}$ -bromidu stříbrného,  $\text{AgJ}$ -jodidu stříbrného), se po osvětlení a vyvolání vylučuje v malých shlučích — zrníčkách. Na velikost zrn má vliv vývojka, teplota vývojky, vyvolávací doba, zeslabování a zesilování. Velikost zrn je určena nejzazší hranice pro nejkratší úsečku, již vrstva rozliší. Moderní jemnozrnné emulze rozliší 60 až 80 čárk/mm. Kolodiová emulze a t. zv. *Lipmannovy* desky rozliší 600 až 900 čárk/mm a jsou prakticky bez zrna.

V r. 1941 stanovil A. H. Katz [2] empirickou rovnici pro výpočet společné rozlišovací schopnosti soustavy objektiv — fotografická emulze:

$$\frac{1}{R_{\text{of}}} = \frac{1}{R_f} + \frac{1}{R_o}, \quad (5)$$

kde  $R_f$  je rozlišovací schopnost v čárkách na mm pro fotografickou emulzi,  $R_o$  — rozlišovací schopnost v čárkách na mm pro objektiv,  $R_{\text{of}}$  — rozlišovací schopnost v čárkách na mm pro fotografickou emulzi ve spojení s objektivem.

Vztah (5) platí pouze pro nekonečný kontrast, jak matematicky dokázal F. G. Back [8].

Problém rozlišovací schopnosti soustavy objektiv — emulze není definitivně vyřešen. Je stále předmětem studia. U nás se jím zabývají J. Hrdlička a V. Blumová [3], v Německu B. Menzel a W. Klein [4], v Itálii Toraldo di Francia [5], v USA E. W. Selwyn, J. L. Tearle [6] a jiní. Nový pohled na tento problém přináší práce W. Romera (Polsko) o zrnitosti materiálu [7], která se projevuje hlavně při velkém lineárním zvětšení negativu (filmová projekce, velké zvětšeniny).

#### Metody měření rozlišovací schopnosti

K měření rozlišovací schopnosti fotografických objektivů se zpravidla používá jemně rozčleněných umělých předmětů, t. zv. testů. V praxi se používá testů Landoltových, Foucaultových, Argentierových, Siemensových sektorové hvězdy a testů dvou a tříčarových.

#### Testy Landoltovy.

Jsou to prstence šířky  $d$ , přerušené stejně širokou mezerou (obr. 5). Rozliší-li objektiv o ohniskové vzdálenosti  $f'$  právě ještě tuto mezeru při vzdálenosti  $L$ , je rozlišovací schopnost v čárkách na mm dáná vztahem:

$$R = \frac{L - f'}{fd} \quad (6)$$

a rozlišovací mez ve vteřinách

$$\phi = \frac{d}{L} \cdot 206 000. \quad (6')$$

Odvození (6):

Máme-li před objektivem v vzdálenosti  $L > 2f'$ , bude obraz zmenšen  $n$ -krát. Mezi zmenšením  $n$ , vzdáleností  $L$  a ohniskovou vzdáleností  $f'$  platí vztah

$$L = (n + 1) \cdot f';$$

odtud

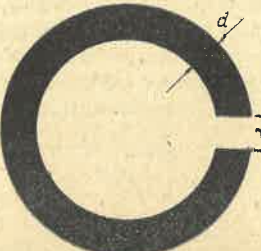
$$n = \frac{L}{f'} - 1.$$

Je-li mezera v testu šířky  $d$ , zobrazí se  $n$ -krát menší, čili rozlišovací mez  $\phi$  se rovná

$$\phi = \frac{d}{n} = \frac{d}{\frac{L}{f'} - 1} = \frac{f'd}{L - f'}. \quad (7)$$

Rozlišovací schopnost je převrácená hodnota rozlišovací meze, čili

$$R = \frac{1}{\phi} = \frac{L - f'}{f'd}.$$



Obr. 5

Odvození (9):

Ve čtvrtci se stranou  $d$  má se sobě rovnat černá plocha, vymezená rohovými čtvrtkruhy, a zbývající bílá plocha, t. j. jedna polovina čtverce se stranou  $d$  se rovná ploše kruhu s poloměrem  $r$ :

$$\frac{1}{2} d^2 = \pi r^2,$$

odtud

$$\frac{d}{r} = \sqrt{2\pi}.$$

Potom

$$r = \frac{d}{\sqrt{2\pi}} \doteq 0,39 d = \frac{2}{5} d; \delta \doteq \frac{1}{5} d.$$

Jestliže ze vzdálenosti  $L$  je právě rozlišena tečková struktura testu, je rozlišovací schopnost v čárkách/mm dáná vztahem

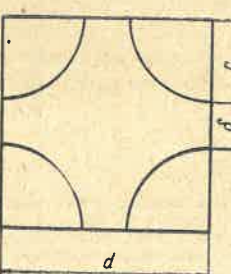
$$R = \frac{L - f'}{f'd}, \quad (10)$$

rozlišovací mez ve vteřinách:

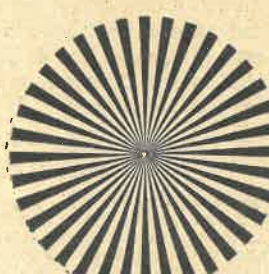
$$\phi = \frac{d}{L} \cdot 206 000. \quad (10')$$

Jewellův test neboli Siemensova sektorová hvězda.

Kruhová plocha testu je rozdělena na 72 stejných výsečí, které jsou střídavě černé a bílé (obr. 9). Předešlé testy se vyznačují tím, že i když se uspořádají do útvaru s odstupňovanými šírkami  $d$  podle aritmetické nebo geometrické řady, představují vždy přetřízitou řadu hodnot



Obr. 8



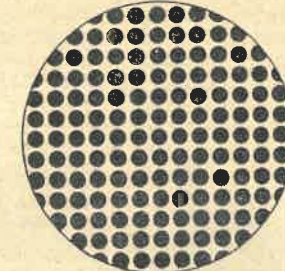
Obr. 9

Úprava bývá provedena tak, že na témže kartonu je umístěn větší počet testů s různými šírkami čar a každý z nich má číslo, které udává rozlišovací mez ve vteřinách při snímání nebo pozorování ze vzdálenosti 10 m. Jestliže ze vzdálenosti  $L$  metrů jsou právě rozlišeny směry testu opatřené číslem  $c$ , je rozlišovací mez ve vteřinách

$$\phi = \frac{10 c}{L}. \quad (8)$$



Obr. 6



Obr. 7

rozlišovací meze. Siemensova sektorová hvězda představuje čárový test s plynule proměnnou šírkou čar a mezer. Proto se tohoto testu stále více používá jak pro zkoušku vzorkových objektivů, tak pro plynulou kontrolu účinnosti seriových objektivů. Vzorkové objektivy se zkouší na rozlišovací mez fotografickou cestou. Obyčejně se zkouší pro předmět v nekonečnu. Pro laboratorní účely se vytvoří umělé nekonečno kolimátorem. Víme totiž, že spojná optická soustava zobrazí předmět v nekonečnu do obrazové ohniskové roviny. Obrátíme-li chod paprsků a předmět umístíme do ohniskové roviny soustavy, jeho obraz se vytvoří v nekonečnu. Vložíme-li za objektiv kolimátoru zkoušený objektiv, stane se obraz vytvořený kolimátorem v nekonečnu předmětem pro zkoušený objektiv a tento objektiv jej zobrazí ve své obrazové ohniskové rovině; je to tak, jako by předmět byl v nekonečnu.

Máli se u objektivů určit rozlišovací mez ve středu zorného pole, postupuje se takto: do ohniskové roviny kolimátoru se vloží test Siemensovy hvězdy na skle, a v obrazové ohniskové rovině objektivu se obraz testu sejmí na velmi jemnozrnou fotografickou desku (na př. Foma-Panchro-Repro, Isopan FF). Po vyvolání se obraz testu promění mikroskopem nebo komparátorem. Vlivem zbytkových geometrických vad objektivu, zrnitosti fotografického materiálu a rozptýleného světla nejsou jednotlivé segmenty obrazu hvězdy na fotografické desce rozlišeny až do středu. Uprostřed obrazu hvězdy vzniká nerozlišený

$$\frac{d}{r} = \sqrt{2\pi}. \quad (9)$$

#### Testy Argentierovy [9].

Kruhové pole tétoho testu je pokryto černými kroužky stejného průměru, jež jsou rozloženy pravidelně v přímých řadách, při čemž plocha bílého podkladu je stejná jako plocha pokrytá kroužky (obr. 7). Je-li  $r$  poloměr kroužku (obr. 8),  $\delta$  minimální vzdálenost mezi okrajem dvou sousedních kroužků a  $d$  vzdálenost jejich středů, platí

kruh, z jehož průměru se určuje rozlišovací mez objektivu. Na obvodu nerozlišeného kruhu je totiž 36 bílých a 36 černých bodů. Obvod kruhu je  $\pi \cdot d$ , vzdálenost dvou černých bodů je tedy  $y = \frac{\pi d}{36}$ , čímž je přímo určena rozlišovací mez ( $\frac{\pi}{36} = 0,08726 = \text{konst}$ ). U dobrých snímačích objektivů bývá  $d$  ve středu zorného pole 0,075 až 0,150 mm, čili rozlišovací mez 6,5 až 13  $\mu$ .

Obyčejně se požaduje zjistit rozlišovací mez i v jiných místech zorného pole. Tato místa se volí na úhlopříce formátu, který má daný objektiv vykreslit. Nejdříve se určí mezný úhel  $\tau$ , pod nímž je vidět úhlopříce z obrázkového hlavního bodu objektivu ( $\tan \tau = \frac{u}{f}$ ). Mezný úhel  $\tau$  rozdělíme na několik úseků. Zkoušený objektiv upěvníme za kolimátor na otáčivé rameno tak, aby svíslá osa otáčení ramena procházela předmětovým hlavním bodem objektivu. Rameno s objektivem natočíme o zvolený úhel proti kolimátoru a snímáme. Řada takových snímků je na obr. 10. Při mimoosových snímcích testu má na charakteru obrazu hvězdy livil astigmatismus\*) a koma.\*\*)



Obr. 10

To se projeví tím, že nerozlišený kruh nabude tvaru osmičky, položené buď ve směru úhlopříce nebo kolmo k ní. Měří se ve dvou navzájem kolmých směrech; za průměr nerozlišeného kruhu se volí vzdálenost nerozlišených míst na osmičce. Při výčíslování měření je respektován úhel stočení ramena tím, že hodnoty rozlišovací meze v sagitálním směru násobíme, v tangenciálním směru dělíme cosinem úhlu otocení  $\omega$ .

$$\begin{aligned}\psi_{\text{sag}} &= k \cdot d \cdot \cos \omega \\ \psi_{\text{tang}} &= k \cdot d / \cos \omega.\end{aligned}$$

\*) Vada úzkého šíkmeho paprskového svazku, který zobrazí bod jako dva krátké, navzájem kolmé, prostorově od sebe vzdálené úsečky, zvané fokály. Kolmou vzdálenost mezi fokálami měřenou výčísl. **Gaussově** rovině jmenujeme astigmatismem.

\*\*) Otvorová vada širokých šíkmech svazků, které po průchodu objektivem se neprotinají všechny v jednom bodě na středním paprsku, ale v místech různých. V jednom místě se na středním paprsku neprotinají ani paprsky, které vstupují do objektivu ve stejné vzdálenosti od paprsku středního.

Ондра И.: Разрешающая сила фотографических объективов.

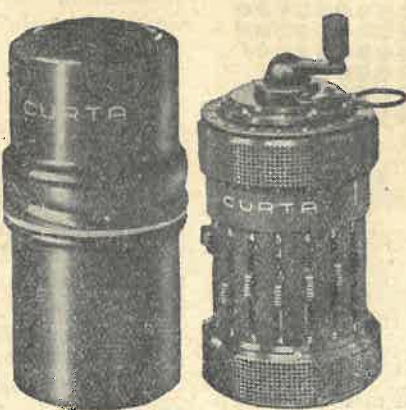
Статья является кратким разъяснением физических основ разрешающей силы. В статье включены таблицы применяемые для определения разрешающей силы объективов. Далее описывается метод оценки разрешающей границы для различных точек поля зрения на основании снимков звезды Сименса.

#### Novinky v konstrukci počítacích strojů

Na mezinárodních veletrzích vzbudil v poslední době pozornost některé nové konstrukce mechanických počítacích strojů, které jak se zdá nedobudou ještě dlouho nahrazeny elektronickými. Pro drobnou denní počítárnou práci zůstane mechanický počítací stroj ještě dlouho jedinečnou pomocí. Obrovské (a drahy) elektronické stroje s řízeným programem zůstanou zatím omezeny na rozsáhlá centra výzkumu.

Největší pozornost vzbudil stroj FRI-DEN SRW, první stroj toho druhu na světě, který automaticky odmocňuje. Jeho obsluha je velmi jednoduchá; po nastavení odmocnění se v místě jeho desetinné čárky stiskne klávesa (její číslo udává zároveň počet desetinných míst výsledku) a stroj sám vypočte s kontrolou odmocněním postupným dělením.

Dvojitý stroj Original Odhner 135 má nastavovací počítadla, do nichž lze ve formě dekadických doplňků nastavit i záporná čísla, s nimiž pak stroj bez chyby počítá. Stroj Hamann 300 má zařízení, z výsledkového i obrátkového počítadla do nastavovacího,



Obr. 11

V nejnovější době se dává zejména na západě přednost různým modifikacím čárového testu. V Anglii používají pro klasifikaci leteckých objektivů dvoučárového testu Cobbova, v Americe tříčárového testu Gardnerova nebo čárového testu, u něž ubývá tloušťky čar v sinové závislosti [10], [11].

#### Literatura

- [1] B. Havelka: Geometrická optika, ČSAV, Praha 1955.
- [2] JOSA 38, str. 604, 1948.
- [3] Blumová V.-Hrdlička J.: Rozlišovací schopnost soustavy „objektiv — emulze“. Casopis pro fysiku 4, č. 1, str. 95, 1954.
- [4] Menzel E.—Klein W.: Le pouvoir séparateur photographique de l'ensemble „émulsion — objectif“. Rev. Opt. 33, č. 6, str. 303—304, 1954; Optik 9, č. 11, str. 481—485, 1952.
- [5] Toraldo di Francia-Losco D.: Considération sur le pouvoir résolvant de l'ensemble „objectif-couche photographique“. Sci. et inds. phot. 19, č. 7, str. 242—250, 1948.
- [6] Selwyn E. W.: The photographic and visual resolving power of lenses. Part II — Photographic resolving power. Phot. Jl., 88B, č. 3, str. 46—57, 1948.
- [7] Witold Romer: Zrnitost fotografického obrazu I. Přehled fotografické a filmové techniky 4, č. 9—10, str. 117—123, 1951.
- [8] JOSA 43, č. 8, str. 685—689, 1953.
- [9] D. Argentieri: Ottica industriale, Milano 1942, n. Hoepli.
- [10] Selwyn E. W. H.—Tearle I. L.: The performance of aircraft camera lenses. Proc. Phys. Soc. 58, str. 493—525, 1946.
- [11] Washer F. E.—Rosberry F. W.: New Resolving Power Test Chart. JOSA 41, č. 9, str. 597—600, 1951.

Dr J. Ondra: Messung des Auflösungsvermögens der photographischen Objektive.

Kurzer Abriss der physikalischen Grundlagen des Auflösungsvermögens. Beschreibung und Abbildung von Testfiguren, die bei der Auswertung des Auflösungsvermögens verwendet werden, beispielhaftige Bestimmung der Auflösungsgrenze in verschiedenen Punkten des Sehfeldes auf Grund photographischer Aufnahmen des Sektorensternes (Siemenssternes).

Velkou zajímavostí je miniaturní počítací stroj CURTA, který při velké kapacitě 8x6x11 míst je menší než sklenička na vodu a váží pouze 230 g.

Velmi zajímavé jsou elektrické sčítací stroje zdokonalené tak, že je na nich možno násobit a dělit (Olivetti, Remington Rand, Original Odhner a j.). Protože tyto stroje zapisují nástavené hodnoty i výsledek, jsou pro praxi neobvykle výhodné.

• Konec napínáčků v rýsovacích prknech? — Každý technik ví, jak neprájemnou věcí dovedou někdy být rýsovací napínáčky. V Německu bylo sestrojeno rýsovací prkno, potažené tenkým vyrávaným plechem, na něž se rysy připevňují prostě přiložením malého permanentního magnetu na roh papíru. Papír drží pak při každé polozu prkna; také trojúhelníky, pravítka a pod. jsou zespodu opatřeny malými magnety, takže pevně drží na místě. Větší investice je vyvážena nejen úsporou na speciálních nýtovaných napínáčích vyráběných z kovů, kterých není nadbytek, ale i šetrném kreslicím podkladu i rychlejší a produktivnější prací.

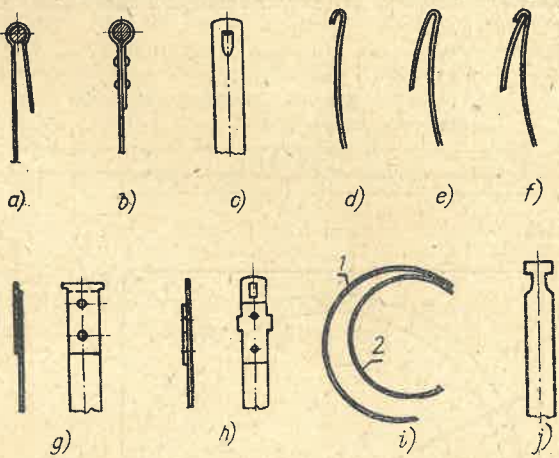
V. TERŠL, Chronotechna Šternberk

Lektor: Ing. K. Raclavský  
Prof. Dr Ing. M. Hajn.

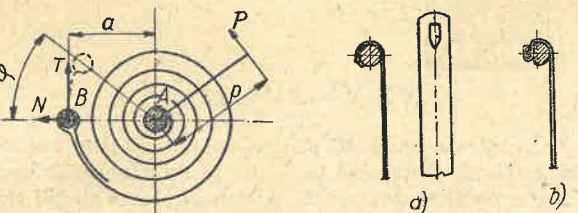
Vlivy, jež působí na práci pružiny. Obtíže teoretických výpočtů. Kontrola mechanických vlastností pružin. Popis speciálních přístrojů vyvinutých na zkoušení pružin. Metodika zkoušek. Zkoušení pružin na pevnost v únavě.

#### Uchycení pružin a určení jejich rozměrů

Na obr. 2 jsou způsoby uchycení vnitřního konce pružiny. Způsob a je běžný u hodinových mechanismů, způsob b se vyskytuje u mechanických hraček. Na obr. 3 jsou některé způsoby uchycení vnějšího konce pružiny. Se zretelem k vlivu uchycení na vlastnosti pružiny jsou hledány stále výhodnější způsoby uchycení. Způsoby a a b jsou běžné u hrubších mechanismů (budičků), způsoby c až i u jemnějších hodinových strojků. Způsob j se uplatňuje u mechanických hraček. Tyto způsoby uchycení nevyčer-



Obr. 3 — Vnější záchranný konec



Obr. 2 — Vnitřní záchranný konec

pavají všechny možnosti. Tak na př. způsob i (1 — ocelová vložka, 2 — vlastní pružina) bývá proveden různě. Ocelová vložka bývá delší či kratší nebo pokračuje ve směru pružiny a zachytává se o drážky ve stěně perovníku (systém Roskopf).

Při předběžném určení rozměrů tažné pružiny se postupuje tak, že se rozměry pružiny pro nový prototyp určují odhadem a porovnáním s existujícím mechanismem. K tomu však je třeba konstruktérské citu a dobré znalosti oboru. Pro určení pružiny je směrodatná požadovaná doba chodu mechanismu a síla (krouticí moment), kterou musí pružina vyvinout, aby mechanismus byl v živém chodu.

Délka a tloušťka pružiny se volí podle rozměrů perovníku. Nejvhodnější průměr hřídele perovníku je asi jedna třetina vnitřního průměru bubínku perovníku. Plocha prstence pružiny se pak rovná asi polovině celkové volné plochy v perovníku (mezikruží mezi hřídelem a stěnou bubínku perovníku). Tloušťku pružiny lze stanovit podle zkušenosti

$$t = \frac{1}{20} d$$

kde  $d$  je průměr hřídele perovníku.

Odhad rozměrů pružiny lze prověřit podle rovnice pro krouticí moment

$$M_k = K \frac{b \cdot t^3}{L} \cdot n,$$

Kromě toho přistupují zde i vlastnosti materiálu, na př. modul pružnosti  $E$ , jehož velikost lze snad pro výchozí materiál s určitou přesností stanovit, avšak tato hodnota platí jen pro rovný ocelový pásek, při čemž nelze zaručit, že materiál po svinutí do tvary Archimedovy spirály, t. j. po určité, trvalé deformaci, tuto hodnotu modulu pružnosti podrží. Konečně i nepatrné odchylky při tepelném zpracování pružin, v složení materiálu, počet a velikost vyměšků mohou mít značný vliv na mechanické vlastnosti pružin. Lze proto říci, že teoretický výpočet rozměrů pružin je skutečně problematický. Je snahou vypracovat empirickou metodu pro určování rozměrů pružin v závislosti na různých činitelích, jako na př. na průměru perovníku, hřídele, na požadované dobu chodu a pod., tyto výpočty jsou však jen informativní a rozměry pružin se musí pro každý mechanismus zpřesnit.

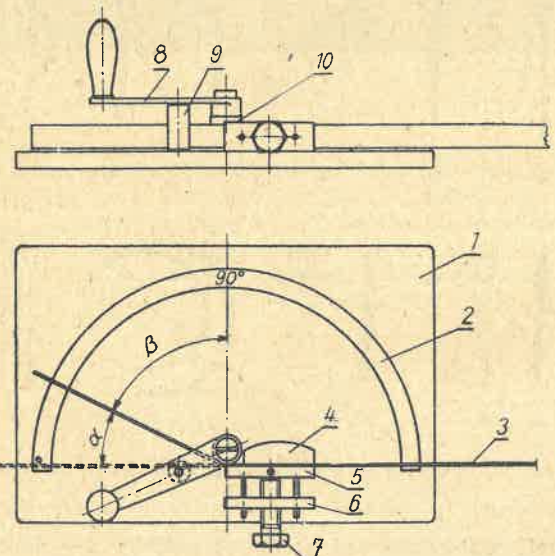
\*) Technický průvodce, sv. 3, Nauka o pružnosti a pevnosti, str. 343, B. Dobrovolský: Průžnost a pevnost, díl II., str. 759 a jiné.

kde  $K$  bývá (10 až 14) .  $10^6$ ,  
 $b$  — šířka pružiny,  
 $t$  — tloušťka pružiny,  
 $L$  — délka pružiny,  
 $n$  — otáčky pružiny (při napínání).  
 Výsledný rozměr se udává v gcm.

Tato rovnice, uvedená v knize prof. Ing. M. Hajna „Základy jemné mechaniky a hodinářství“, je vcelku jednoduchá a přitom se dosti přibližuje praktickým hodnotám průběhu  $M_k$ . Konstantu  $K$  je však nutno volit v určité odpovídající hodnotě, neboť rozsah 10 až 14 představuje i značný rozsah  $M_k$ . U hrubších mechanismů se  $K$  blíží 14, u jemnějších 10.

#### Kontrola mechanických vlastností pružin

Vhodnost či nevhodnost pružiny se zkouší přesněji experimentálně. K tomu účelu bylo sestrojeno vhodné zařízení. Vycházel se přitom z požadavku, aby výsledky zkoušek získané v nejkratší době ukázaly mechanické vlastnosti pružin, které jsou při jejich provozu v mechanismu nejdůležitější. Aby byly získány potřebné podklady, byly nejprve shromažďovány údaje o chodu mechanismu v závislosti na pružině, při různém způsobu namáhání. Tak



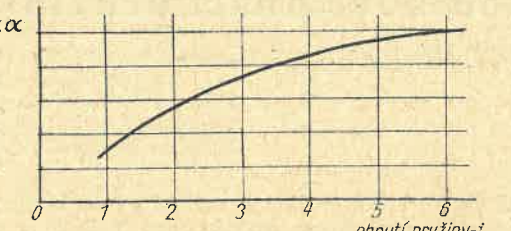
Obr. 4 — Přístroj na kontrolu pružnosti

bylo hned na počátku zkoušek prokázáno, že jednou ze základních podmínek dobrého chodu mechanismu je dostatečná pružnost pružiny, která záleží na správné volbě výchozího materiálu, na jeho tepelném zpracování a na přesném dodržování správné technologie.

Při kontrolování vlastností pružin je výhodné zjišťovat nejdříve tvrdost tvrdoměrem Poldi-Vickers a pružnost přístrojem firmy Tarnogrodski (obr. 4). Rovná pružina 3 se upne do čelistí 4 a 5. Páčkou 8 a unášecím kolíkem 9 se otočí kolem trnu 10 o 90°. Po odlehčení zůstane pružina o určitou část vyhnuta. Odečítá se buď velikost trvalé deformace  $\alpha$  nebo pružnost  $\beta$ . Rozměr trnu 10 a vzdálenost unášecího kolíku 9 od trnu se volí úměrně k rozměru pružiny tak, aby při vyhnutí o 90° nevznikala u dobré pružiny veliká trvalá deformace, protože čím je tato trvalá deformace menší, tím více se měření pohybuje kolem meze pružnosti materiálu. Výhodné rozmezí je od 0° až do 25°.

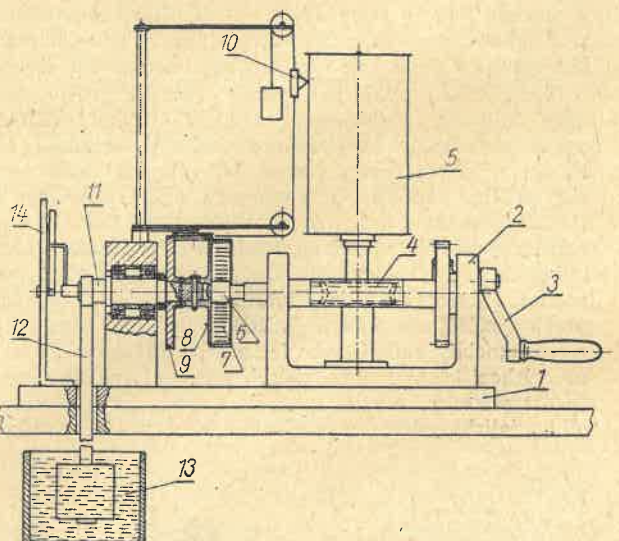
Přístrojem se měří tak, že se nejprve vypracuje diagram průběhu trvalé deformace (obr. 5) vzorové pružiny, kterou již máme bezpečně ovřenou prázni a jejíž vlastnosti plně vyhovují. Na osu Y nanášíme zjištěný úhel trvalé deformace  $\alpha$  (nebo pružnost  $\beta$ ), kdežto na osu X se vyznačí počet vyhnutí pružiny. Při prvním vyhnutí je hodnota  $\alpha$  menší, při dalším vyhnutí o 90° se poněkud zvětší. Podle průběhu trvalé deformace vzorové pružiny se pak posuzuje průběh deformace nově vyrobených pružin. V praxi stačí

porovnat deformace vzniklé při prvním, druhém nebo třetím vyhnutí pružiny.



Obr. 5 — Průběh trvalé deformace pružiny  $\alpha = f(i)$

Tento zkouškovou lze pružiny velmi rychle překontrolovat a roztržit je podle tepelného zpracování, lze-li počítat s tím, že výchozí materiál byl správný. Není-li jakost výchozího materiálu zaručena, může se stát, že nevhodný materiál při určitém způsobu tepelného zpracování vyzkoušel při zkouškách stejně výsledky jako dobrý materiál. Tvrdost pružin bývá zpravidla 50 až 56 H<sub>Rc</sub>, při čemž je nutná rovnoměrnost asi  $\pm 1$  H<sub>Rc</sub> po celé délce pružiny. Jemnější pružiny jsou zpravidla tvrdší (53 až 56).



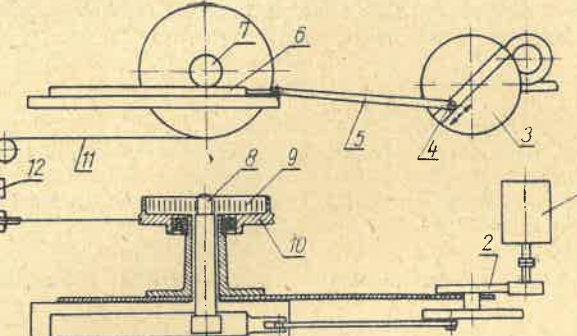
Obr. 6 — Dynamograf

Ani kontrola pružnosti přístrojem, ani zkouška tvrdosti však nedávají dostatečné podklady pro správné posouzení jakosti a použitelnosti pružin. Abychom přesně zjistili sílu, kterou pružina přenáší, ztráty, dobu chodu v mechanismu, odolnost proti únavě a praskání a pod., bylo nutno sestrojit další přístroj: dynamograf na kontrolu krouticího momentu v závislosti na svinutí pružiny (na otáčkách hřídele perovníku), přístroj na unavování pružin s automatickým odečítáním cyklů (1 cykl je úplné svinutí a rozvinutí pružiny. O — max — O).

Dynamograf je na obr. 6. Pružina 7 je vnějším koncem uchycena na perovníku 8 a vnitřním na hřídeli 6, který je pevně spojen s šnekovým hřídelem 4. Perovník 8 je pevně uchycen na hřídeli 11. Ruční kličkou 3 otáčíme šnekovým hřídelem 4, a tím navijíme nebo odvijíme pružinu na hřídeli 6. Přitom pomocí šnekového převodu natáčíme zázmavým válcem 5. Utahováním pružiny na hřídeli 6 je uášen i perovník 8 a páskem 10 se lankem pohybuje ve svílelem směru a zaznamenává na válcí výchylky perovníku. Otáčením válce v závislosti na otáčkách hřídele perovníku je zakreslován diagram průběhu  $M_k$ , jehož rozdíl záleží na seřízení vyvažovacího systému 12.

Princip přístroje na unavování pružin (obr. 7) je v tom, že pružina se poměrně rychle a nepřetržitě mechanicky svíjí a odvijí. Elektromotorem a vhodně voleným převodem do pomalu uvádíme do pohybu kulisu a tím i hřeben 6,

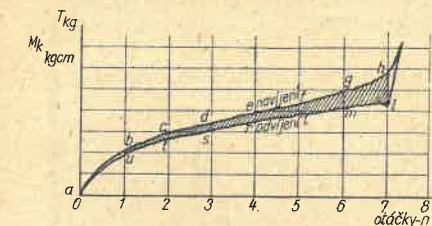
doherého zabírá pastorek 7. S pastorkem 7 je pevně spojen hřídel 8, na který se navíjí pružina 9. Podobně jako u dynamografu je druhý konec pružiny upevněn na volně otocném perovníku 10. Krouticí moment je využíván závažím 12. Přestavováním ramena 5 ke středu nebo od středu talíře 3 se reguluje zdvih hřebenu 6 a tím i počet otáček pastorku 7 a hřidele 8.



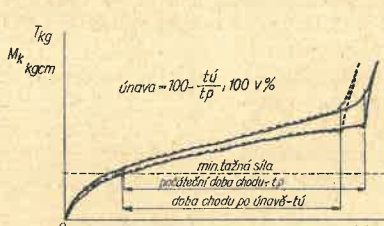
Obr. 7 — Přístroj na unavování pružin

Oběma přístroji lze zkoušet různé druhy pružin. Unavování pružin na přístroji podle obr. 7 neodpovídá ovšem přesně skutečnému průběhu unavování pružiny v hodinovém mechanismu. To není ostatně ani možné a proto jsme nuceni, chceme-li pružiny urychleně vyzkoušet, nalézt určitý vztah mezi touto zrychlenou unávou a skutečnou unávou pružiny v hodinovém strojku.

Přístrojem na unavování pružin lze kontrolovat také praskání pružin. Pružinu zatěžujeme až do prasknutí a odečteme počet cyklů, které vyzkoušela. Máme-li těchto údajů více, můžeme usuzovat na stejnomořnost pružin, na čistotu materiálu, na jakost tepelného zpracování a pod.



Obr. 8 — Pracovní diagram pružiny  $M_k = f(n)$



Obr. 9 — Vliv únavy na pracovní schopnost pružiny

Hranice prasknutí záleží na rychlosti svíjení a rozvíjení pružin. Vztah mezi praskáním pružin v přístroji a v hodinovém mechanismu je nutno nejprve experimentálně vyšetřit. Nelze říci, že vydrží-li pružina v přístroji na př. 500 cyklů, vydrží stejný počet cyklů i v hodinovém strojku, protože oba způsoby namáhání nejsou stejné. Při našich zkouškách jsme vyšetřovali vliv únavy v přístroji na dobu chodu pružiny. Pružinu jsme pak kontrolovali v hodinových strojích tak, že jsme ji desetkrát natáhli a nechali normálně vystát. Tím se stanovila průměrná doba chodu za deset natažení. Pak se v přístroji na unavování urychleně zatížila 90 cykly, znova se zamontovala do strojku a znova desetkrát natáhla. Po určitém počtu cyklů, které pružina vykonala (vždy 10 v strojku a 90 v přístroji na unavování), praskla. U všech pružin to bylo vždy při rozvíjení v hodinovém strojku, nikdy při navíjení nebo rozvíjení v přístroji. Z toho lze usuzovat, že pomalé rozvíjení pružiny v hodinovém strojku je pro praskání pružin nezávrativější, než pomalé rychlé svíjení a rozvíjení v přístroji.

#### Charakteristiky pružin

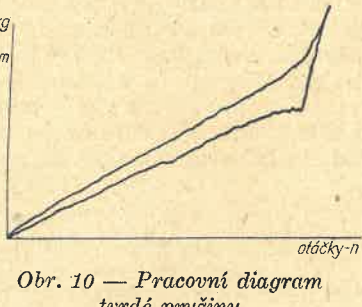
Popsanými přístroji můžeme plně kontrolovat tyto požadované mechanické vlastnosti pružin:

1. Přenášený krouticí moment a jeho průběh v závislosti na svinutí pružiny,

2. velikost ztrát třením mezi závity pružiny nebo mezi pružinou a stěnou perovníku,
3. teoretická doba chodu mechanismu,
4. vliv únavy na dobu chodu,
5. životnost pružin.

Průběh krouticího momentu zjistíme dynamografem (obr. 8). Hořejší křivka  $a, b, c, \dots$  a vzniká při svíjení pružiny, spodní křivka  $k, l, m, \dots$  a vzniká při odvýjení. Plocha mezi křivkami znamená převážně ztrátu třením závitů o sebe a o stěny perovníku. Velikost ztrát třením závitů o sebe záleží hlavně na jakosti povrchu pružin a na použití mazadla. Podle plynulosti křivky (bez velkých výkyvů) a podle velikosti plochy mezi křivkami můžeme usuzovat na jakost povrchu. Při zrakové kontrole si pak tento názor zpřesníme, při čemž klademe zvláštní důraz na bezvadné zaoblení hran. Při odvýjení pružin z maximálního svinutí (bod  $k$ ) nastává v bodě  $l$  t. zv. odlepění závitů (perovník se otočí asi o  $1/4$  otáčky aniž by se závity uvolnily). V bodě  $l$  se však nejvíce projevuje tření mezi jednotlivými závity a pravidelně zde nastávají v diagramu největší výkyvy. Tento bod je pro posuzování jakosti pružin velmi důležitý. Spodní křivka udává totiž pracovní schopnosti pružin, kterých využíváme pro pohon mechanismu. Při odvýjení klesá pracovní schopnost pružiny ( $M_k$ ) až na určitou hranici (bod  $u$ ), kdy se mechanismus zastaví. Říkáme, že je to minimální krouticí moment nebo minimální tažná síla pružiny, již musí vyuvinout, aby mechanismus ještě šel. Známe-li převod mezi perovníkem a hodinovým kolem, můžeme z diagramu stanovit teoretickou dobu chodu strojku  $t_p$  (obr. 9). Uvažujeme při tom rozsah  $l$  až  $u$ , neboť u jemnějších strojků bývá obvykle v místě  $l$ ,  $h$  omezeno natahování pružiny, jelikož špička  $h$  —  $k$  —  $l$  vyvolává velmi nepříznivé namáhání pružiny a pružina často právě v tomto rozmezí praskne.

Při stejnomořnosti chodu je výhodnejší vodorovný sklon odvýjeci křivky. Toho sice prakticky nelze dosáhnout, ale



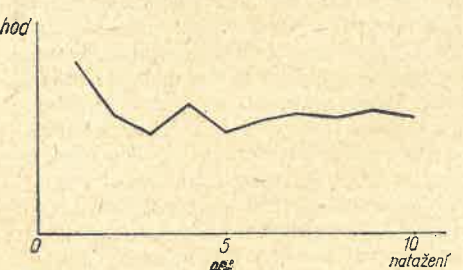
Obr. 10 — Pracovní diagram tvrdé pružiny

poněkud doleva. Říkáme, že se pružina stáhla. Velikost tohoto posunutí a průběh navýjecích i odvýjecích křivek pak charakterisují náhylnost pružiny k únavě. Vyhodnocením doby chodu po únavě stanovíme v procentech velikost únavy pružiny podle vzorce:

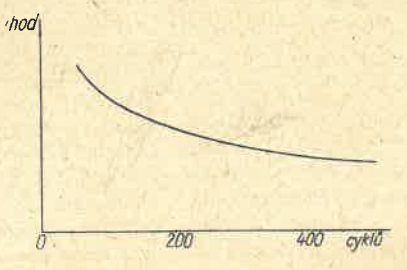
$$U = 100 - \frac{t_u}{t_p} \cdot 100,$$

kde  $t_u$  je doba chodu po únavě,  
 $t_p$  — doba chodu na počátku zkoušek.

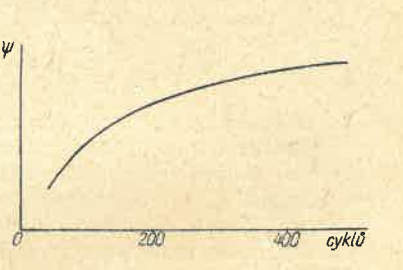
Po této zkoušce již můžeme celkem spolehlivě posoudit použitelnost pružiny. Údaje se ještě zpřesní zkouškou praskáním. Průžiny namáháme v přístroji na unavování dokud neprasknou. Odečteme počet cyklů, které průžiny vydržely a podle předem stanoveného vztahu mezi cykly v přístroji a skutečnými cykly při chodu mechanismu můžeme stanovit jejich životnost. Podle rozptylu praskavosti lze usuzovat na stejnoměrnost pružin. Tyto zkoušky lze ještě



Obr. 11 — Průběh doby chodu v počátečním stadiu natahování



Obr. 12 — Vliv únavy na dobu chodu



Obr. 13 — Vliv únavy na úhel svinutí pružiny

dále doplnit kontrolou pružin v mechanismu a sledovat na př. průběh doby chodu v počátečním stadiu natahování (1 až 10 natažení) (obr. 11), nebo vyhodnotit průběh vlivu unavování pružiny na dobu chodu (obr. 12), po případě vliv únavy na svinutí pružiny (obr. 13). Z této zkoušek lze zjistit, že průžina v počátečním stadiu namáhání nevykazuje stejnou tažnou sílu — není „usazená“. Teprve po pátém až sedmém natažení (obr. 11) se tažná síla poněkud ustálí nebo klesá rovnoměrně podle únavy pružiny (obr.

Teršl B.: Приводные пружины часов.

Факторы влияющие на работу пружины. Затруднения при теоретических расчётах. Контроль механических свойств пружин. Описание специальных аппаратов сконструированных для испытания пружин. Методика испытаний. Испытания на усталостное разрушение.

jsou pružiny zamontovány trvale do mechanismu, jež jsou pak skladovány, je nutno průžiny před uvedením do provozu znova kontrolovat.

#### Literatura

- [1] Ing. M. Hajn: Základy jemné mechaniky a hodinářství.
- [2] B. Dobrovský: Průžnost a pevnost, díl II.
- [3] Technický průvodce, sv. 3. — Průžnost a pevnost.
- [4] Journal Suisse d'Horlogerie č. 3—6, roč. 1952.
- [5] Journal Suisse d'Horlogerie č. 7—8, roč. 1950.
- [6] Schweizerische Uhrmacher-Zeitung, roč. 1950—54.
- [7] Feingeräte-Technik č. 3, roč. III (1954).

V. Teršl: Die Uhrentreibfedern.

Der Verfasser beschreibt verschiedene Einflüsse, welche die Arbeit der Federn beeinflussen, und behandelt die Schwierigkeiten der theoretischen Berechnungen. Es werden weiter spezielle Geräte zum Prüfen der Federn beschrieben.

F. JANÁK — M. VETEŠNÍK, Astronomický ústav MU, Brno

522

## Pomůcka pro rychlé určování hodinového úhlu

Lektor: Dr. J. Němec

Popis mechanické pomůcky vyvinuté v Astronomickém ústavě v Brně, která slouží k rychlému převodu rektascense na hodinový úhel s přesností vyhovující amatérským a lidovým hvězdárnám.

Na hvězdárně se velmi často setkáváme s problémem namířit dalekohled na nějaký slabý objekt, na př. mlhovinu, hvězdokupu a pod. Známe souřadnice objektu (ekvatoriální), takže jde vlastně o nastavení dalekohledu do určitého směru dělenými kruhy, kterými je vybavena většina našich dalekohledů. Proto si musíme určit hodinový úhel objektu, který chceme nalézt. V podstatě jde o výpočet hodinového úhlu  $\theta$  pro určitý čas  $TZ$  a rektascensi  $\alpha$  při jisté zeměpisné délce  $L$  podle rovnice

$$t = \theta - \alpha, \quad (1)$$

Z „Hvězdářské ročenky“ určíme  $\theta_0^G = 16^h 43^m 39,5^s$ . Dále vypočítáme člen.  $LZ$  ( $k + 1$ ) — LBrna  $\frac{17,1}{17,1}$   
 $= 1^h 0m 9,9s + 1^h 6m 28s = + 6m 19,9s$ ,

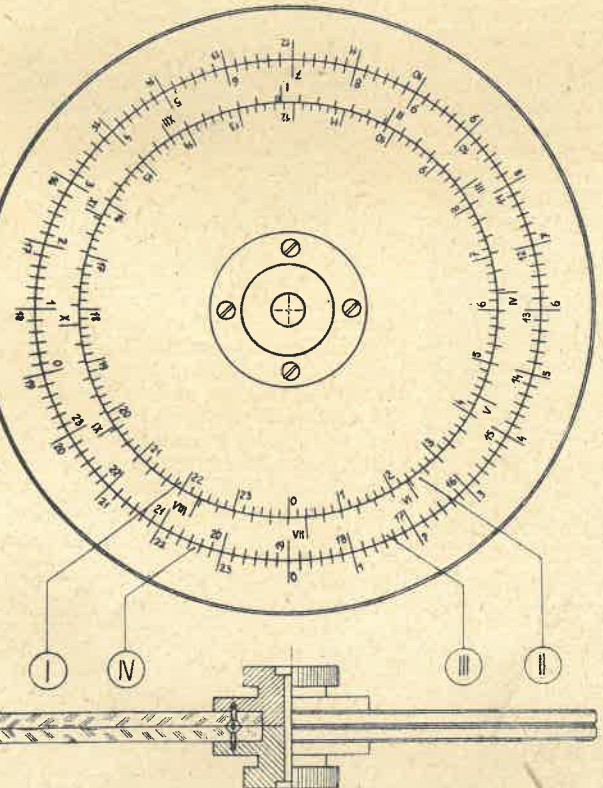
který je pro dané místo (Brno) konstantní. Zbývá zjistit hodnotu  $TZ$  ( $k + 1$ ) z tabulky, uvedené na př. ve „Sférické astronomii“ prof. J. Procházky, nebo ve Valouchových pětimístných logaritmických tabulkách.

TZ	TZ ( $k + 1$ )
2h	2h 0m 19,7s
35m	35m 5,7s
30s	30,1s
	2h 35m 55,5s

Výsledný místní hvězdný čas, který dosadíme do rovnice (1), je

$$\begin{aligned} & 16^h 43^m 39,5^s \\ & 6m 19,9s \\ & 2h 35m 55,5s \\ & \hline 19^h 25m 54,9s \end{aligned}$$

Toto počítání je při časté potřebě ovšem dlouhé a nevhodné, protože musíme pracovat s dvěma různými pomůckami. Proto byla v Astronomickém ústavě v Brně navržena mechanická pomůcka pro rychlé a snadné řešení tohoto úkolu, která má význam zvláště pro hvězdárny, které nemají hodiny na hvězdný čas, na př. pro všechny lidové hvězdárny.



Hlavní část pomůcky (obr.) jsou čtyři kruhové stupnice, které jsou vyryty do dvou kotoučů z průhledné hmoty (Umaplex). Kotouče jsou nasazeny na společné osu a mohou se jeden proti druhému otáčet. Na stupnici I, vyryté na spodním kotouči, je vynesen středoevropský čas  $TZ$  (udávaný časovými signály československých rozhlasů

Янак Ф.—Ветешник М.: Приспособление для быстрого определения часового угла.

Описание приспособления сконструированного рабочниками Астрономического института в Брне. Основные принципы конструкции. Примеры определения угла. Область применения прибора. Его точность.

sových stanic). Na vrchním kotouči jsou stupnice II a III, pro dny a pro rektascensi  $\alpha$ . Stupnice IV na spodním kotouči slouží k odečtení hledaného hodinového úhlu  $t$ .

Při práci s pomůckou postupujeme od vnitřní stupnice k vnějším: proti uvažovanému datu stupnice II nastavíme otočením kotouče čas SEČ (stupnice I) a proti libovolné rektascensi (stupnice III) odečteme hodinový úhel (stupnice IV). Pomůcky lze použít i pro rychlé stanovení místního hvězdného času, který určíme jako hodinový úhel, odpovídající rektascensi 0 h (jarnímu bodu).

Stupnice I, III a IV jsou děleny po dvou časových minutách, stupnice II je rozdělena na 365 a čtvrt délku po dnech. Aby bylo odstraněno nastavování času proti zlomkům dne, byly z časové stupnice I vypuštěny čtyři minuty, takže celý kruh je rozdělen místem na 720 pouze na 718 délky. Z praktických důvodů byly tyto dva délky vypuštěny před 12. hodinou, takže 12 hodin se kryje s 11 h 56 m. Potom nastavujeme časový údaj v libovolnou dobu přímo proti čárci pro určitý den. Přitom pracujeme po celou noc s večerním datem, protože datum se nám mění v poledne.

Vzájemná poloha všech stupnic je určena takto: stupnice I a IV jsou vyryty tak, aby 0h SEČ leželo na jedné přímce s 0h t. Stupnice II a III nastavíme tak, že z rovnice (1) vypočítáme hodinový úhel pro 1. leden 0h SEČ. Potom stupnici II nařídíme tak, aby dílek značící 1. leden se kryl s dílkem pro 0h stupnice I. Vypočítaný hodinový úhel t si najdeme na stupnici IV. S ním se musí kryt 0h stupnice III. Je výhodnější nepočítat hodinový úhel pro 1. leden, nýbrž vyhledat v ročence některý jiný den, jehož hodinový úhel vychází jako celé číslo. Je to nutné proto, že mechanik, který tuto pomůcku zhotovuje, musí znát dílek stupnice III, který se kryje s dílkem stupnice II, aby měl pevný začátek.

#### Příklad (obr.):

V našem případě jsme určili jako vhodný den 6. 7. 1954. Pro  $TZ = 0h$  je

$$\begin{aligned} \theta_0^G &= 18^h 53^m 49,9^s \\ LZ (k+1) - L &= 6m 19,9s \\ & \hline 19^h 0m 5,8s \end{aligned}$$

Protože však měníme datum až v poledne, kryje se s 0h SEČ čárka pro 5. 7. Poloha stupnic je určena, protože již víme, že pro rektascensi 0h musí vycházet hodinový úhel  $t = 19h$ , když proti 0h SEČ nastavíme čárku pro 5. 7. Na obr. 1 je stupnice II rozdělena po pěti dnech a stupnice I, III a IV po deseti minutách. Na originálu je II dělena po jednom dni a I, III a IV po dvou minutách, takže chybá, které se dopouští při zanedbání vteřin, je se zřetelem k přesnosti odečítání nepatrná.

Tato vzájemná poloha by se měla každý rok měnit, to však je z konstrukčních důvodů obtížné. Proto byla vzata za základ poloha pro rok 1954 a pro každý další rok bude třeba připočítat k nalezenému hodinovému úhlu určitou korekci, která bude pro celý rok stálá a bude v rozmezí  $\pm 2$  minuty. Tak pro rok 1954 bude korekce 0 min, pro rok 1955 + 1 min, pro rok 1956 + 2 min (do 28. února), — 2 min (od 29. 2.), pro rok 1957 — 1 min, pro rok 1958 0 min, atd. Tyto hodnoty korekci jsou ovšem zakrouhlené, ale chybě vznikající tímto zaokrouhlením jsou zanedbatelné.

Pomůcka je určena především pro nastavení dalekohledu do potřebného hodinového úhlu a její přesnost zcela postačí, neboť při přesném rytí a velkém průměru stupnic (asi 300 mm), lze dosáhnout přesnosti odečítání pod jednu časovou minutu. I když je zhotoveni pomůcky poněkud nákladné, je stanovení hodnot velice jednoduché a rychlé.

Янак Ф.—Ветешник М.: Hilfsmittel für eine schnelle Bestimmung des Stundenwinkels.

Das in Astronomischer Anstalt in Brno entwickelte mechanische Gerät dient zur schnellen Umrechnung von Rektascens zum Stundenwinkel mit der Genauigkeit, die für Amateur- und Volkssternwarten genügt.

## Nové výrobky

### První československý theodolit se skleněnými kruhy

N. p. Meopta Košice se podařilo vyrobít první československý theodolit se skleněnými kruhy (obr.). Je to setinový minutový stroj, označený T 1c, který má několik velmi dobrých konstrukčních prvků: indexovou libelu a trubickový usměrňovač zcela vestavěné do celou dobu měření se musí držet rukou.

Přesnost stroje nebyla dosud vyzkoušena a také chybí podrobnější technické údaje. N. p. Meopta připravuje další, přesnější typ optického theodolitu (označení T 10cc) se skleněnými kruhy, u nějž bude možno odečítat na 10 setinových vteřin.

K úspěšnému vývoji prvního optického theodolitu se skleněnými kruhy můžeme n. p. Meopta blahopřát; bude ještě třeba zajistit všechny potřebné předpoklady k hromadné a levné výrobě a distribuci téhoto strojů, které budou jistě vrele přijaty nejen u nás, ale i za hranicemi, zejména v zemích tábora míru.

### Vteřinový theodolit FENNEL

#### „FT 2“

Nová konstrukce vteřinového theodolitu znacky FENNEL (Kassel) typ „FT 2“, má několik pozoruhodných zlepšení. — Po mechanické stránce (obr.) se konstruktéři v podstatě přidrželi osvědčené konstrukce Zeissova theodolitu Th II a Th 40, který u nás dobře známe; ovšem hliníková kapotáz Zeissovy strojů, používaná za války, byla opuštěna, protože je naprostě nevhodná (hliník „rosté“).

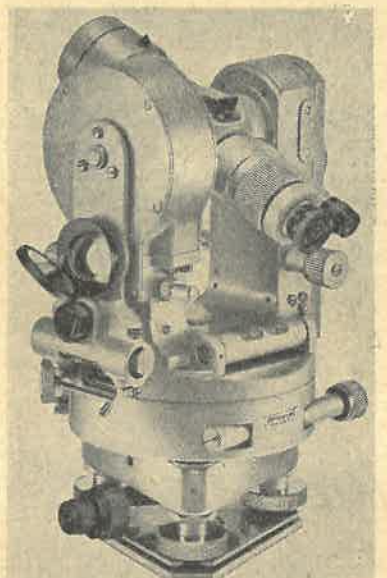
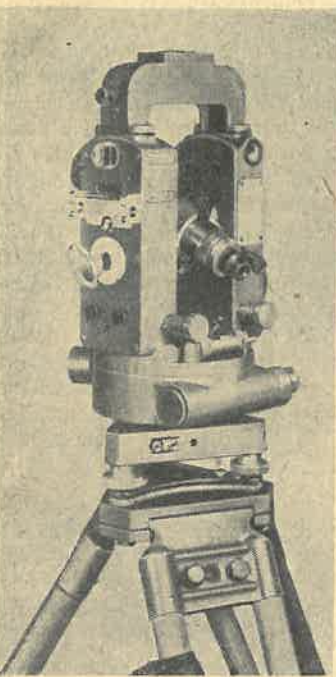
Dalekohled nového Fennelova stroje má optické členy opatřené protiodrazou vrstvou, je 175 mm dlouhý, oboustranně prokladný, objektiv má průměr 40 mm; zvětšení je třicetinásobné, nejkratší možná vzdálenost zaostření je 1,25 m. Zlepšení je nejvíce patrné na odečítacím zařízení; skleněné kruhy mají průměr 90 mm (vodorovný kruh) a 70 mm (svíslý) a dají se číst přímo na 1" nebo 2"; odhadují se desetiny šedesátinné vteřiny nebo 0,2c.

obou vidlic, souosou ustanovku a jemný horizontální pohyb. Při konstrukci bylo využito osvědčených prvků z Zeissova vteřinového theodolitu Th 40, optický odečítací systém je stejněho druhu jako na př. u Wildova stroje T 1.

Přístroje nulté série mají zatím několik závad: na minutový stroj je ten-

Zajímavé a proti jiným optickým theodolitům pro praxi je příznivé, že obrácený obraz protilehlé strany kruhu je zakryt a je z něho ponechán rukou (současné ovládání pohybů oběma rukama není tedy umožněno, což je pro praktické měření nevhodné), daleko hled s poměrně slabou optikou je prokladný jen přes okulár, aretaci trubickového usměrňovače nelze zajistit a po celou dobu měření se musí držet rukou.

Přístroj je obvykle vybaven libalami: krabiciou pro hrubé urovnání s citlivostí 8', alhidáhou a indexovou po 20". Stroj má optický dostředovač a zařízení pro použití výměnné troj-



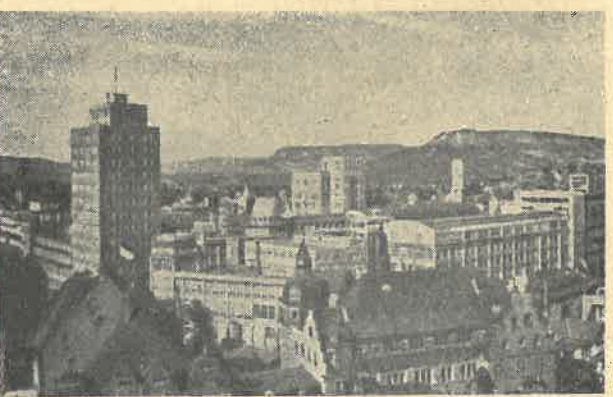
### Za čest názvu a tovární značky

#### národního podniku

#### CARL ZEISS JENA

Roku 1846 založil v Jeně Carl Zeiss dílny na výrobu přístrojů optiky a jemné mechaniky. První vědecký spolupracovník Zeisse, profesor Dr Ernst Abbe zřídil roku 1889 nadaci „Carl-Zeiss-Stiftung“ jako právnickou osobu s osobním vlastnickým titulem. Převedl na ni svůj celý majetek a oba jenské závody. Ve stanovách určil za sídlo nadace provzdy místo svého působení v Jeně. Právní existence a skutečná účinnost nadace Carl Zeisse byly po roce 1945 výslovně potvrzeny usnesením Německé hospodářské komise z 16. června 1948. Vláda Německé demokratické republiky potvrdila později toto usnesení jako závazné.

Přes tento jasný a jednoznačný právní a věcný stav pokoušeji se jednotliví vedoucí, kteří po roce 1945 odstoupili ze svých funkcí a byli s jiným vědeckým pracovníkům a inženýry po roce 1945 dopraveni Američany do Heidenheim-Oberkochen, od r. 1949 uloupili národnímu podniku Carl Zeiss Jena název a tovární značku. Aby jím byla dána pracovní možnost, byl v říjnu roku 1946 založen prostředků nadace Carl Zeisse v Heidenheim-Oberkochen



v západním Německu závod Opton GmbH, který se později se souhlasem jenského závodního vedení jmenoval Zeiss-Opton a byl jako všechny účastenské podniky závodu Zeiss řízen pokyny jenského obchodního vedení. Když byly jenské závody znárodněny, úskokem vymohli v roce 1954 bývalí vedoucí od württemberského ministerstva kultury ve Stuttgartu ustanovení, že Jena přestává být sídlem nadace Carla Zeisse a jediným sídlem je Hei-

### Zajímavý optický theodolit

Nový optický theodolit (obr. 1 a 2) rakouské továrny Miller (Innsbruck) je repetiční theodolit se skleněnými

kruhy  $\varnothing$  80 mm, které jsou děleny novým patentovaným způsobem a dávají přesnost 2 mm/km; se zretelem k vysoké přesnosti kruhů, větší tmavosti rysek a kontrastu lze použít optického mikroskopu s větším zvětšením než obvykle. Stroj je minutový, desetiny minut lze odhadovat a v zorném poli mikroskopu jsou vidět oba kruhy současně.

Dalekohled má objektiv  $\varnothing$  32 mm s antireflexním povlakem, je 140 mm dlouhý (prokladný přes objektiv); zvětšení dalekohledu je 22násobné. Vede dalekohledu je jednak odečítací mikroskop zvětšující 40krát, jednak reversní libela s citlivostí 30". Optický dostředovač zvětšuje 5krát. Celý přístroj má překvapivě malou váhu — pouze 2,4 kg.

Pozoruhodností stroje je, že nemá ustanovky. Jemné pohyby i ustanovky jsou sloučeny vždy do jednoho šroubu, ustanovky se zapojují frikčním pohybem. Pro praktické použití je to velmi výhodné. Veelku lze repetiční theodolit Miller T II označit za moderní výkonného stroje, jehož obsluha je velmi jednoduchá; stroj přináší nové kon-

### Miniaturní servomotor

Na obrázku je elektrický servomotor typy Protona (Hannover), který se svými rozměry (je kratší než cigareta) řadí mezi nejmenší. Lze jej použít ve sdělovací technice, v radiosondách, v průmyslu, v pohonu registračních kontrolních přístrojů ve výrobě, v měřicí technice i jako pohonného motorku pro kapesní diktafony. Výroba těchto miniaturních motorků je téměř až na hranici nynějších technických možností.

Volba materiálu a dimenování musí být tak pečlivé, aby motorek snesl teploty od + 60 °C do — 60 °C (pro použití na př. v letadlech a tropech). Hřídelek motoru se vyrábí z vysokolegované oceli s povrchovou tvrdostí 60 až 65 HRC, drsnost povrchu nesmí být větší než 0,1  $\mu$ ; rozdílová tolerance je stanovena na 1  $\mu$ . Nejvhodnější jsou samomazná, kapilární ložiska a kyvadlová kluzná ložiska s tichým chodem, zabírající zadní hřídele samočin-

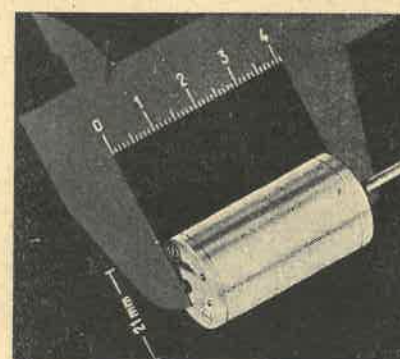
ěným justováním. Důležitý je olej, který při teplotních změnách smí mít viskozitu jen asi 500 až 600 Englerových stupňů. Aby byla zajištěna provozní doba 3000 až 5000 hodin bez generálního promazání, jsou ložiska opatřena malými olejovými zásobníky.

Průměr kolektoru je menší než 8 mm; aby tření kartáčků bylo co ne-

menší, musí mít kolektorové lamely tvrdost nejméně 95 HBr. Podobná péče musí být věnována kartáčkům, aby motor měl tichý a stejnoměrný chod a malou spotřebu energie. Důležitá je i volba permanentního magnetu. Při správném dimenování je možno i u těchto miniaturních motorků dosáhnout indukce 6 000 až 7 000 gaußů.

Technické údaje servomotoru PROTON typ 53 a 55:  
průměr: 21 mm  
délka rotoru: 41 a 51 mm  
délka hřídele: 10,5 a 15 mm  
průměr hřídele: 2,5 mm  
váha: 80 a 85 g  
provozní napětí: 6 a 8 V  
počet otáček za min. (bez zatížení):  
3 500 a 4 200  
spotřeba při zatížení: 0,6 W  
spotřeba při chodu bez zatížení: 0,3 W  
intensita proudu: 40 a 50 mA  
rotacioní moment: 6 cmg a 11 cmg při  
3 000 ot/min.

Tyto miniaturní servomotory v měřicích i výrobních přístrojích mohou přinést mimo jiné výhody i podstatné zmenšení celkových rozměrů a spotřeby energie.  
OEK

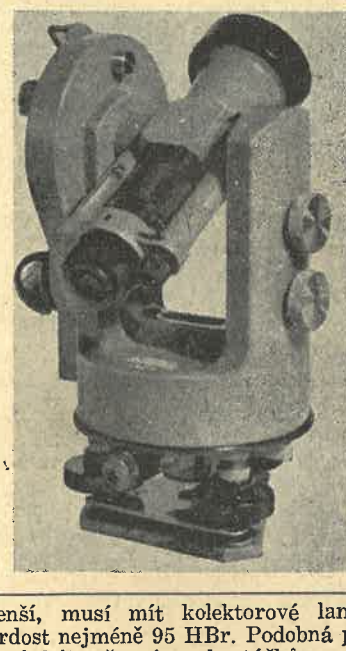


Protože bylo národnímu podniku Carl Zeiss Jena protivápně zakázáno užívat v západním Německu a v některých jiných kapitalistických zemích starou tovární značku, rozhodl se závod v Jeně používat výpomocně značky s „Ernst Abbe Jena“, aby umožnil svým odběratelům v zemích postižených sporem o tovární značku nákup přístrojů z Jeny.

Bývalým vedoucím z Heidenheimu záleží na tom, aby všemi prostředky vyřadili nepohodlnou a silnější konkurenční přístrojů Carl Zeiss Jena. To je zřejmé z toho, že se pokouší vystupovat i proti propagaci a prodeji jenských výrobků pod názvem „Ernst Abbe“. U zemského soudu v Düsseldorfu byla proto podána žaloba, která má zakázat národnímu podniku Carl Zeiss užívání jména „Ernst Abbe“. Tato žaloba je dosud v odvolacím řízení.

Závod Carl Zeiss-Optron v Oberkochen, který neoprávněně užívá firemní označení Carl Zeiss, zahájil i v jiných kapitalistických zemích procesy, aby znemožnil národnímu podniku Carl Zeiss Jena prodej jeho výrobků pod názvem, který přísluší jedině jemu a nadaci Carl Zeiss. Název a tovární značka národního podniku Carl Zeiss Jena budou právními prostředky před soudy všeomoužně obhajovány proti intrikám bývalých členů obchodního vedení v Oberkochenu. Název a tovární značka patří jednou provždy do Jeny.

„Informační zprávy“ vydávají NDR v Praze, č. 12/55.





Jak je s obchodního hlediska důležitý vnější vzhled přístroje ukazuje také expozice dalekohledů a kukátek, jejichž pečlivá a elegantní vnější úprava vhodně doplňuje bezvadnou funkci.

V promítací síni výstavy měli návštěvníci poprvé přiležitost vidět ukázku širokouhlé projekce, dále diaprojektor pro barevnou plastickou projekci, úplnou dokumentační soupravu, projektor pro roentgenový film a řadu projektorů obvyklých typů.

V průběhu výstavy byl uspořádán cyklus odborných přednášek předních vědeckých pracovníků Zeissových závodů.

Uspořádání výstavy bylo po všech stránkách úspěšné a bylo cenným přínosem pro vědecké i technické pracovníky. Výstava, přednášky i rozhovory s Zeissovými pracovníky přinesly mnoho cenných poznatků, které jistě nezůstanou nevyužity.

Dr J. Němec

### Výstava kancelářských strojů NDR v Praze

V první polovině listopadu 1955 byla v Praze uspořádána výstava nejmodernějších psacích, sčítacích, počítacích a účtovacích strojů z NDR. Mezi exponáty vynikaly zejména elektrický psací stroj Rheinmetall GSE, saldovač sčítací stroj Mercedes A 56, sčítací stroj Rheinmetall AES s pohyblivým válcem a zvláště elektrické plnoautomatický Mercedes Euklid R 44 (kapacita  $10 \times 10 \times 20$  míst) a Rheinmetall SAR II C, připomínající stroj Friden. Velikou pozornost vzbudil plnoautomatický účtovací stroj ASTRA 170, který v současné době se svými 55 počítadly znamená vrchol střední mechaniky.

Úspěšná výstava byla přehlídkou vysoké úrovně výhodnémeckého průmyslu a všem návštěvníkům přinesla mnoho nového.

OEK



Prof. Dr Ing. M. Hajn: Přehled přesné mechaniky (Základy přesné mechaniky v celém rozsahu); 444 stran, přes 1600 obr., ROH-Práce, Praha 1956; brož. 40,—, váz, 44,— Kčs.

Kniha podává ucelený přehled jemné mechaniky v celém rozsahu (materiály, základní součásti, ze kterých se skládají přístroje, obecné zásady pro konstrukci, rektifikaci, kompenzaci, seřizování atd.). Dále jsou připojeny popisy a vzorové ukázky některých přístrojů. Názorný výklad, zabíhající i do teorie tam, kde je toho třeba, je doplněn mnoha schématy, obrázky a konstrukčními výkresy. Kniha vznikla přepracováním a rozšířením spisu „Základy jemné mechaniky a hodinářství“ z r. 1953, stat o hodinářství v ní však není obsažena.

V. Steklý: Příručka ke čtení na skleněných kruzích optických theodolitů, 43 str., 43 obr., SNTL, Praha, 1955; brož. Kčs 1,53.

Brožura kapesního formátu vhodným způsobem nahrazuje někdy již těžko přístupné návody k optickým theodolitům Wild, Kern a Zeiss a je zejména středním technickým kádrum pomůckou při poněkud složitějším čtení dělených kruhů optických mikrometrem. Ze strojů jsou popsány typy Wild T 0, T 1, T 2 a T 3; Kern DK 1, DK 2, DMK 1 a DMK 2; Zeiss IV, III, II, F, Th 40 a Redta; ze sovětských jen OT 10. Postrádáme tedy uvedení sovětského theodolitu OTC nebo výborného Th 2 freibergského národního podniku nebo strojů Miller s novodobě dělenými kruhy s vysokou přesností či strojů Fennel s novým způsobem odcítání. Z Wildových strojů chybí redukční tachymetry RDS a RDH. Všechny tyto stroje se mohou u nás v praxi vyskytnout.

Místo výrazu „dílek“ při výkladu čtení na optických koincidenčních mikrometrech (na př. na str. 9, 4 ř. zdola) by snad bylo lépe vysvětlit způsob čtení desítek minut pojmem „interval“. Brožura je velmi přehledně sestavena, používá však většinou reprodukci z originálních návodů výrobce, a proto autotypie nejsou zdařilé. Stane se jistě — i pro velmi nízkou cenu — majetkem každého, kdo pracuje s modernními theodolity ať už v praxi nebo ve vývoji či konstrukcí.

B. S. Grižin: Vysokotočnyje optičeskieje těodolity, 135 str., 70 obr., Izdat. geodez. lit., Moskva 1955.

V této malé a praktické příručce jsou popsány theodolity OT-2 (= Wild T 3) a TRB (= Zeiss Th 40). Nažneme tu nejen podrobný popis jejich funkcí, obsluhy a čtení dělených skleněných kruhů, ale i návod na rozebrání strojů k čištění a opravám s popisem jednotlivých součástek. Závěr knížky tvoří kapitola o rektifikaci a způsobu měření s těmito stroji. Předností příručky jsou názorné fotografie. Je nezbytná nejen pro uživatele těchto strojů, ale hlavně pro mechaniky, kteří se zabývají jejich opravou a rektifikací.

O. E. Kadner

## Národní podnik



vyrábí:

### MIKROSKOPY

monokulární a binokulární mikroskopy se sklopným stativem řady A • monokulární a binokulární mikroskopy s nesklopným stativem, výškově výsuvným ramenem stativu, řady B • binokulární mikroskopy s vestavěným osvětlovacím zařízením řady C • cestovní mikroskop • polarizační mikroskop • stereoskopické mikroskopy • tvrdoměr MEOPTA • zařízení pro pozorování metodou fázového kontrastu • mikrotomy • nože k mikrotomům • zmrazovací zařízení k mikrotomům • mikrolampy • mikrofotografické zařízení na kinofilm • vertikální osvětlovač pro pozorování v dopadajícím světle • mikrokreslicí zařízení • Bürkerovy komůrky • křížové vodiče preparátu • mikrookuláry • mikroobjektivy • mikrokondensory a jiné doplňkové zařízení pro mikroskopickou techniku • jednoúčelové speciální optické přístroje, mikroskopy a zařízení podle zvláštních požadavků

Dodavatel: Laboratorní potřeby, n. p., Praha-Libeň, Sokolovská 212.

### VÁHY

analytické váhy, typ A2 pro školní a provozní laboratoře s váživostí 200 g a citlivostí 0,1 mg • analytické váhy pro přesné a velmi přesné vážení, které mají mechanické navažování zlomků, optickou projekci a vzduchové tlumení; váživost 100 a 200 g, citlivost 0,01 až 0,1 mg • poloautomatické analytické váhy typ A3 s mechanickým navažováním všech závaží, optickým odečítáním a vzduchovým tlumením • torsní váhy s rozsahem stupnice 10 mg a citlivostí 0,02 mg • technické váhy pro váživost 100 až 10 000 g s citlivostí 2 až 200 mg • lékárnické váhy 1000 g, citlivost 20 mg • ruční vážky s váživostí 2 až 100 g • obilní měří 1 litr pro zkoušení jakosti obilí • analytická technická a speciální závaží, na př. cukrovarnická a pod. • váhy analytické a technické podle požadavků různých odvětví, na př. textilní váhy pro kondicionovační přístroje • analytické váhy s karátovým čtením • technické váhy na odvažování zkumavek • váhy na zjišťování obsahu vody v másle • titrační soupravy pro kontrolu kyselosti kvasu těsta, chleba a pečiva • balanční technické váhy

Dodavatel: Laboratorní potřeby, n. p., Praha-Libeň, Sokolovská 212.

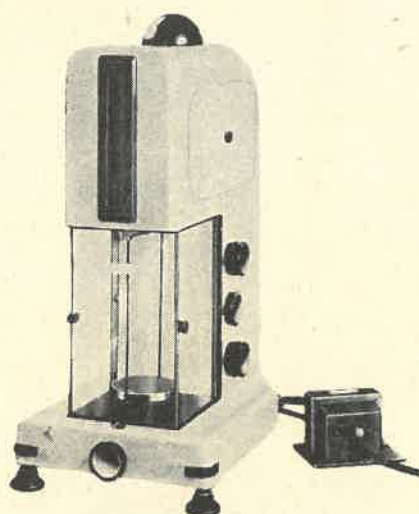
### GEODETICKÉ PŘÍSTROJE A PŘÍSLUŠENSTVÍ

theodolity se skleněnými kruhy T1c s příslušenstvím • theodolity se stříbrnými kruhy TH 30× s příslušenstvím • theodolity s nočním osvětlením THO 30× s příslušenstvím • balonový theodolit s příslušenstvím • nivelační přístroje pro měření ve II—III rádu bez kruhu N 30× • nivelační přístroje pro měření ve II—III rádu se skleněným kruhem NK 30× • topografická souprava s příslušenstvím • geologické kompasy • busoly: Bezard, orientační, stolová, deklinaci s přichytkou • universální vytyčovací hranoly • stojany pevné a zasunovací • výtyčky • hřeby • terče • olovnice • podložky pod lat

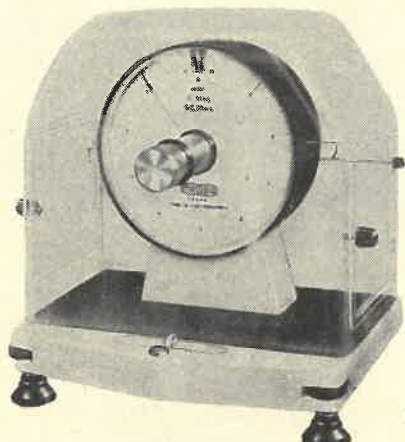
Dodavatel: Dřevona, n. p., Praha I, Perštýn 15.

### PROVÁDÍ

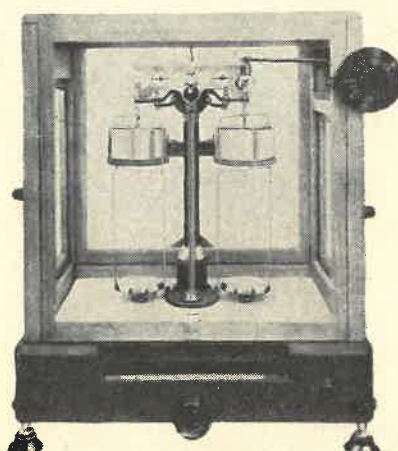
různé speciální úpravy analytických i technických vah podle požadavků • opravy a seřizování geodetických přístrojů všech značek • opravy a seřizování všech uvedených přístrojů.



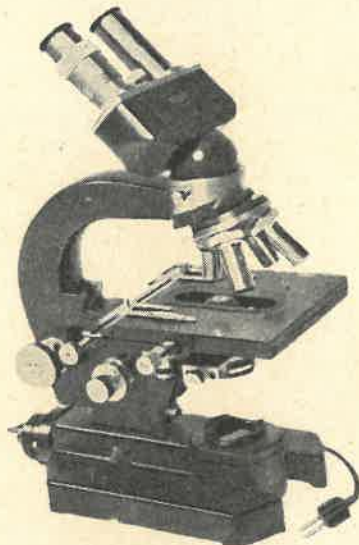
Analytické váhy A-3  
nosnost 200 g, citlivost 0.1 mg



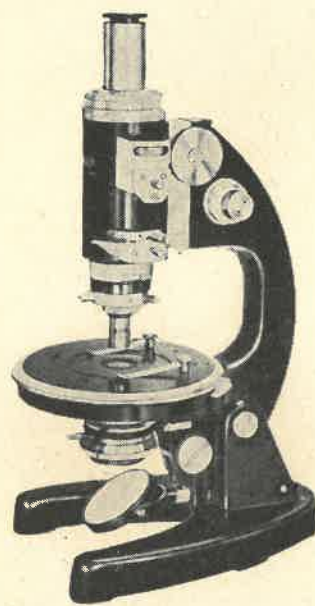
Torsní váhy K1  
nosnost 10 mg, citlivost 0.02 mg



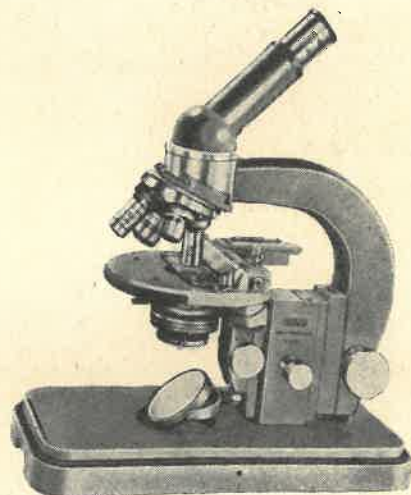
Analytické váhy SMA  
nosnost 100 g, citlivost 0.01 mg



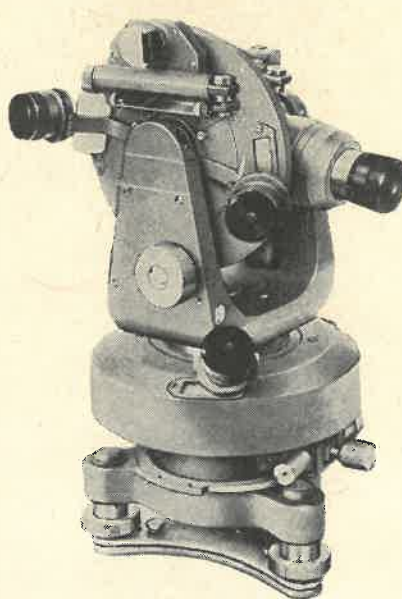
Binokulární mikroskop C 36 Bi  
maximální zvětšení 1800×



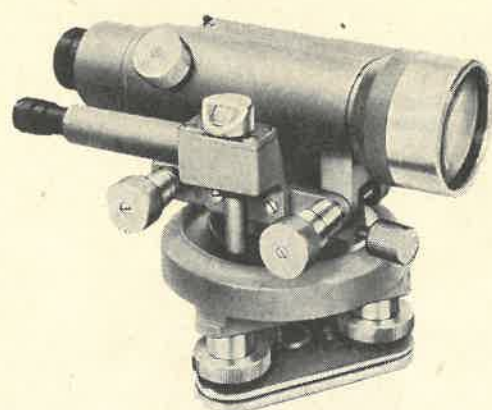
Polarizační mikroskop PA 565 03  
s Amici-Bertrandovou čočkou pro  
konoskopická pozorování,  
max. zvětšení 625×



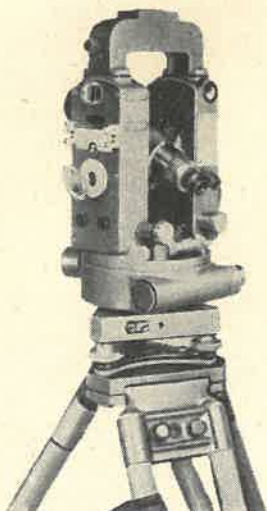
Cestovní mikroskop BC 28 Sv  
v kovovém transportním krytu,  
maximální zvětšení 2000×



Theodolit TH 30X  
pro triangulaci nižšího rádu, polygo-  
nální měření, inženýrskou tachometrii  
a pro veškeré měřické práce na stave-  
ništích



Nivelační přístroj NK 30X  
pro přesnou nivelačii III. rádu



Theodolit T1c  
se skleněnými limby, přesnost čtení 1°.  
dělení grádové, zvětšení dalekohledu  
28×

Národní podnik  
**me opta - Košice**